

Simulationsmodell : Inhaltsverzeichnis

- [Simulationsmodell : THORAX.ASM \(Vereinfachte Darstellung: SIM\)](#)
 - [Modelltyp](#)
 - [Materialzuweisungen](#)
 - [Netzsteuerungen](#)
 - [Lasten/Randbedingungen](#)
 - [Lastsätze/Randbedingungssätze](#)
 - [Analysen](#)
 - [Materialien](#)
- [Simulationsmodell : SKEL_THORAX.PRT](#)
- [Simulationsmodell : RIB1.ASM](#)
 - [Federn](#)
 - [Federeigenschaften](#)
 - [Schalen](#)
 - [Schaleneigenschaften](#)
 - [Materialorientierungen](#)
 - [Gewichtete Verbindungen](#)
 - [Lasten/Randbedingungen](#)
 - [Lastsätze/Randbedingungssätze](#)
 - [Materialien](#)
- [Simulationsmodell : RIB1_SHELL.PRT](#)
- [Simulationsmodell : RIB2.ASM](#)
 - [Federn](#)
 - [Federeigenschaften](#)
 - [Schalen](#)
 - [Schaleneigenschaften](#)
 - [Materialorientierungen](#)
 - [Gewichtete Verbindungen](#)
 - [Lasten/Randbedingungen](#)
 - [Lastsätze/Randbedingungssätze](#)
 - [Materialien](#)
- [Simulationsmodell : RIB2_SHELL.PRT](#)
- [Simulationsmodell : RIB3.ASM](#)
 - [Federn](#)
 - [Federeigenschaften](#)
 - [Schalen](#)
 - [Schaleneigenschaften](#)
 - [Materialorientierungen](#)
 - [Gewichtete Verbindungen](#)
 - [Lasten/Randbedingungen](#)
 - [Lastsätze/Randbedingungssätze](#)
 - [Materialien](#)
- [Simulationsmodell : RIB3_SHELL.PRT](#)
- [Simulationsmodell : RIB4.ASM](#)
 - [Federn](#)
 - [Federeigenschaften](#)
 - [Schalen](#)
 - [Schaleneigenschaften](#)
 - [Materialorientierungen](#)
 - [Gewichtete Verbindungen](#)
 - [Lasten/Randbedingungen](#)
 - [Lastsätze/Randbedingungssätze](#)
 - [Materialien](#)
- [Simulationsmodell : RIB4_SHELL.PRT](#)
- [Simulationsmodell : RIB5.ASM](#)
 - [Federn](#)
 - [Federeigenschaften](#)
 - [Schalen](#)
 - [Schaleneigenschaften](#)
 - [Materialorientierungen](#)
 - [Gewichtete Verbindungen](#)
 - [Lasten/Randbedingungen](#)
 - [Lastsätze/Randbedingungssätze](#)
 - [Materialien](#)
- [Simulationsmodell : RIB5_SHELL.PRT](#)
- [Simulationsmodell : RIB6.ASM](#)
 - [Federn](#)
 - [Federeigenschaften](#)
 - [Schalen](#)
 - [Schaleneigenschaften](#)
 - [Materialorientierungen](#)
 - [Gewichtete Verbindungen](#)
 - [Lasten/Randbedingungen](#)
 - [Lastsätze/Randbedingungssätze](#)
 - [Materialien](#)
- [Simulationsmodell : RIB6_SHELL.PRT](#)
- [Simulationsmodell : RIB7.ASM](#)
 - [Federn](#)
 - [Federeigenschaften](#)
 - [Schalen](#)
 - [Schaleneigenschaften](#)
 - [Materialorientierungen](#)
 - [Gewichtete Verbindungen](#)
 - [Lasten/Randbedingungen](#)
 - [Lastsätze/Randbedingungssätze](#)
 - [Materialien](#)

- [Simulationsmodell : RIB7_SHELL.PRT](#)
- [Simulationsmodell : RIB8.ASM](#)
 - [Federn](#)
 - [Federeigenschaften](#)
 - [Schalen](#)
 - [Schaleneigenschaften](#)
 - [Materialorientierungen](#)
 - [Gewichtete Verbindungen](#)
 - [Lasten/Randbedingungen](#)
 - [Lastsätze/Randbedingungssätze](#)
 - [Materialien](#)
- [Simulationsmodell : RIB8_SHELL.PRT](#)
- [Simulationsmodell : RIB9.ASM](#)
 - [Federn](#)
 - [Federeigenschaften](#)
 - [Schalen](#)
 - [Schaleneigenschaften](#)
 - [Materialorientierungen](#)
 - [Gewichtete Verbindungen](#)
 - [Lasten/Randbedingungen](#)
 - [Lastsätze/Randbedingungssätze](#)
 - [Materialien](#)
- [Simulationsmodell : RIB9_SHELL.PRT](#)
- [Simulationsmodell : RIB10.ASM](#)
 - [Federn](#)
 - [Federeigenschaften](#)
 - [Schalen](#)
 - [Schaleneigenschaften](#)
 - [Materialorientierungen](#)
 - [Gewichtete Verbindungen](#)
 - [Lasten/Randbedingungen](#)
 - [Lastsätze/Randbedingungssätze](#)
 - [Materialien](#)
- [Simulationsmodell : RIB10_SHELL.PRT](#)
- [Simulationsmodell : RIB1_SPG.ASM](#)
 - [Federn](#)
 - [Federeigenschaften](#)
 - [Schalen](#)
 - [Schaleneigenschaften](#)
 - [Materialorientierungen](#)
 - [Gewichtete Verbindungen](#)
 - [Lasten/Randbedingungen](#)
 - [Lastsätze/Randbedingungssätze](#)
 - [Materialien](#)
- [Simulationsmodell : RIB1_SHELL_SPG.PRT](#)
- [Simulationsmodell : RIB2_SPG.ASM](#)
 - [Federn](#)
 - [Federeigenschaften](#)
 - [Schalen](#)
 - [Schaleneigenschaften](#)
 - [Materialorientierungen](#)
 - [Gewichtete Verbindungen](#)
 - [Lasten/Randbedingungen](#)
 - [Lastsätze/Randbedingungssätze](#)
 - [Materialien](#)
- [Simulationsmodell : RIB2_SHELL_SPG.PRT](#)
- [Simulationsmodell : RIB3_SPG.ASM](#)
 - [Federn](#)
 - [Federeigenschaften](#)
 - [Schalen](#)
 - [Schaleneigenschaften](#)
 - [Materialorientierungen](#)
 - [Gewichtete Verbindungen](#)
 - [Lasten/Randbedingungen](#)
 - [Lastsätze/Randbedingungssätze](#)
 - [Materialien](#)
- [Simulationsmodell : RIB3_SHELL_SPG.PRT](#)
- [Simulationsmodell : RIB4_SPG.ASM](#)
 - [Federn](#)
 - [Federeigenschaften](#)
 - [Schalen](#)
 - [Schaleneigenschaften](#)
 - [Materialorientierungen](#)
 - [Gewichtete Verbindungen](#)
 - [Lasten/Randbedingungen](#)
 - [Lastsätze/Randbedingungssätze](#)
 - [Materialien](#)
- [Simulationsmodell : RIB4_SHELL_SPG1.PRT](#)
- [Simulationsmodell : RIB5_SPG.ASM](#)
 - [Federn](#)
 - [Federeigenschaften](#)
 - [Schalen](#)
 - [Schaleneigenschaften](#)
 - [Materialorientierungen](#)
 - [Gewichtete Verbindungen](#)
 - [Lasten/Randbedingungen](#)
 - [Lastsätze/Randbedingungssätze](#)
 - [Materialien](#)

- [Simulationsmodell : RIB5 SHELL SPG.PRT](#)
- [Simulationsmodell : RIB6 SPG.ASM](#)
 - [Federn](#)
 - [Federeigenschaften](#)
 - [Schalen](#)
 - [Schaleneigenschaften](#)
 - [Materialorientierungen](#)
 - [Gewichtete Verbindungen](#)
 - [Lasten/Randbedingungen](#)
 - [Lastsätze/Randbedingungssätze](#)
 - [Materialien](#)
- [Simulationsmodell : RIB6 SHELL SPG.PRT](#)
- [Simulationsmodell : RIB7 SPG.ASM](#)
 - [Federn](#)
 - [Federeigenschaften](#)
 - [Schalen](#)
 - [Schaleneigenschaften](#)
 - [Materialorientierungen](#)
 - [Gewichtete Verbindungen](#)
 - [Lasten/Randbedingungen](#)
 - [Lastsätze/Randbedingungssätze](#)
 - [Materialien](#)
- [Simulationsmodell : RIB7 SHELL SPG.PRT](#)
- [Simulationsmodell : RIB8 SPG.ASM](#)
 - [Federn](#)
 - [Federeigenschaften](#)
 - [Schalen](#)
 - [Schaleneigenschaften](#)
 - [Materialorientierungen](#)
 - [Gewichtete Verbindungen](#)
 - [Lasten/Randbedingungen](#)
 - [Lastsätze/Randbedingungssätze](#)
 - [Materialien](#)
- [Simulationsmodell : RIB8 SHELL SPG.PRT](#)
- [Simulationsmodell : RIB9 SPG.ASM](#)
 - [Federn](#)
 - [Federeigenschaften](#)
 - [Schalen](#)
 - [Schaleneigenschaften](#)
 - [Materialorientierungen](#)
 - [Gewichtete Verbindungen](#)
 - [Lasten/Randbedingungen](#)
 - [Lastsätze/Randbedingungssätze](#)
 - [Materialien](#)
- [Simulationsmodell : RIB9 SHELL SPG.PRT](#)
- [Simulationsmodell : RIB10 SPG.ASM](#)
 - [Federn](#)
 - [Federeigenschaften](#)
 - [Schalen](#)
 - [Schaleneigenschaften](#)
 - [Materialorientierungen](#)
 - [Gewichtete Verbindungen](#)
 - [Lasten/Randbedingungen](#)
 - [Lastsätze/Randbedingungssätze](#)
 - [Materialien](#)
- [Simulationsmodell : RIB10 SHELL SPG.PRT](#)
- [Simulationsmodell : RIB1 CART.PRT](#)
- [Simulationsmodell : RIB2 CART.PRT](#)
 - [Materialien](#)
- [Simulationsmodell : RIB3 CART 1.PRT](#)
- [Simulationsmodell : RIB4 CART.PRT](#)
- [Simulationsmodell : RIB5 CART.PRT](#)
- [Simulationsmodell : RIB6 CART.PRT](#)
- [Simulationsmodell : RIB7 CART.PRT](#)
- [Simulationsmodell : RIB8 CART.PRT](#)
 - [Materialzuweisungen](#)
 - [Materialien](#)
- [Simulationsmodell : RIB9 CART.PRT](#)
- [Simulationsmodell : RIB10 CART.PRT](#)
- [Simulationsmodell : STERNUM.ASM](#)
 - [Federn](#)
 - [Federeigenschaften](#)
 - [Schnittstellen](#)
 - [Messgrößen](#)
 - [Netzsteuerungen](#)
- [Simulationsmodell : STERNUM.PRT](#)
 - [Gewichtete Verbindungen](#)
- [Simulationsmodell : STERNUM_MIR.PRT](#)
 - [Gewichtete Verbindungen](#)
- [Simulationsmodell : RIB1 CART SPG.PRT](#)
- [Simulationsmodell : RIB2 CART SPG.PRT](#)
- [Simulationsmodell : RIB3 CART SPG.PRT](#)
- [Simulationsmodell : RIB4 CART SPG.PRT](#)
- [Simulationsmodell : RIB5 CART SPG.PRT](#)
- [Simulationsmodell : RIB6 CART SPG.PRT](#)
- [Simulationsmodell : RIB7 CART SPG.PRT](#)
- [Simulationsmodell : RIB8 CART SPG.PRT](#)
- [Simulationsmodell : RIB9 CART SPG.PRT](#)

- [Simulationsmodell : RIB10_CART_SPG.PRT](#)

Simulationsmodell : THORAX.ASM (Vereinfachte Darstellung: SIM)

Modelltyp ↑

Modelleigenschaften

| | |
|----------------------------|------------|
| Eigenschaft | Wert |
| Modelltyp | Structure |
| Modus | Nativ - 3D |
| Standard-Schnittstellentyp | Haftend |

Materialzuweisungen ↑

Materialzuweisung "MaterialAssign1"

| | |
|-------------|--|
| Eigenschaft | Wert |
| Referenzen | Modell (RIB1_CART.PRT) Modell (RIB2_CART.PRT) Modell (RIB4_CART.PRT) Modell (RIB3_CART_1.PRT) Modell (RIB5_CART.PRT) Modell (RIB6_CART.PRT) Modell (RIB7_CART.PRT) Modell (RIB8_CART.PRT) Modell (RIB9_CART.PRT) Modell (RIB10_CART.PRT) Modell (RIB1_CART_SPG.PRT) Modell (RIB2_CART_SPG.PRT) Modell (RIB3_CART_SPG.PRT) Modell (RIB4_CART_SPG.PRT) Modell (RIB5_CART_SPG.PRT) Modell (RIB6_CART_SPG.PRT) Modell (RIB7_CART_SPG.PRT) Modell (RIB8_CART_SPG.PRT) Modell (RIB9_CART_SPG.PRT) Modell (RIB10_CART_SPG.PRT) |
| Material | CARTILAGE_ELAST_OYEN |

Materialzuweisung "MaterialAssign2"

| | |
|-------------|--|
| Eigenschaft | Wert |
| Referenzen | Modell (STERNUM.PRT) Modell (STERNUM_MIR.PRT) |
| Material | BONE_CORT_ISO_LI_ET_AL_09 |

Netzsteuerungen ↑

Netzsteuerung "AutoGEMControl1"

| | |
|------------------------|---|
| Eigenschaft | Wert |
| Platziert auf Folie(n) | SIM_AGEM_CONTR : OPERATION - Verdeckt |
| Typ | Maximale Elementgröße |
| Referenzen | Modell (RIB1_SHELL_SPG.PRT) Modell (RIB2_SHELL_SPG.PRT) Modell (RIB3_SHELL_SPG.PRT) Modell (RIB4_SHELL_SPG1.PRT) Modell (RIB10_SHELL_SPG.PRT) Modell (RIB5_SHELL_SPG.PRT) Modell (RIB6_SHELL_SPG.PRT) Modell (RIB7_SHELL_SPG.PRT) Modell (RIB8_SHELL_SPG.PRT) Modell (RIB9_SHELL_SPG.PRT) Modell (RIB1_SHELL.PRT) Modell (RIB2_SHELL.PRT) Modell (RIB3_SHELL.PRT) Modell (RIB4_SHELL.PRT) Modell (RIB5_SHELL.PRT) Modell (RIB6_SHELL.PRT) Modell (RIB7_SHELL.PRT) Modell (RIB8_SHELL.PRT) Modell (RIB9_SHELL.PRT) Modell (RIB10_SHELL.PRT) |
| Wert | 8 [mm] |

Lasten/Randbedingungen ↑

Strukturlast "Load3"

| | |
|-------------|---|
| Eigenschaft | Wert |
| Typ | Druck |
| Referenzen | Fläche (RIB4_SHELL.PRT) Fläche (RIB4_CART.PRT) Fläche (RIB2_SHELL.PRT) Fläche (RIB2_CART.PRT) Fläche (RIB3_SHELL.PRT) |

[Fläche \(RIB3_CART_1.PRT\)](#)
[Fläche \(RIB5_SHELL.PRT\)](#)
[Fläche \(RIB5_CART.PRT\)](#)
[Fläche \(RIB6_CART.PRT\)](#)
[Fläche \(RIB6_CART.PRT\)](#)
[Fläche \(RIB1_CART.PRT\)](#)
[Fläche \(RIB2_SHELL_SPG.PRT\)](#)
[Fläche \(RIB3_SHELL_SPG.PRT\)](#)
[Fläche \(RIB4_SHELL_SPG1.PRT\)](#)
[Fläche \(RIB5_SHELL_SPG.PRT\)](#)
[Fläche \(RIB1_CART_SPG.PRT\)](#)
[Fläche \(RIB2_CART_SPG.PRT\)](#)
[Fläche \(RIB3_CART_SPG.PRT\)](#)
[Fläche \(RIB4_CART_SPG.PRT\)](#)
[Fläche \(RIB5_CART_SPG.PRT\)](#)
[Fläche \(RIB6_CART_SPG.PRT\)](#)
[Fläche \(RIB6_CART_SPG.PRT\)](#)

Wert 0.025 [MPa] = 25000 [Pa]

Strukturlast "Load4"

| | |
|-------------|---|
| Eigenschaft | Wert |
| Typ | Druck |
| Referenzen | Fläche (RIB4_SHELL.PRT) Fläche (RIB5_SHELL.PRT) Fläche (RIB6_SHELL.PRT) Fläche (RIB7_SHELL.PRT) Fläche (RIB8_SHELL.PRT) Fläche (RIB9_SHELL.PRT) Fläche (RIB10_SHELL.PRT) Fläche (RIB4_SHELL_SPG1.PRT) Fläche (RIB5_SHELL_SPG.PRT) Fläche (RIB6_SHELL_SPG.PRT) Fläche (RIB7_SHELL_SPG.PRT) Fläche (RIB8_SHELL_SPG.PRT) Fläche (RIB9_SHELL_SPG.PRT) Fläche (RIB10_SHELL_SPG.PRT) |
| Wert | 0.015 [MPa] = 15000 [Pa] |

Lastsätze/Randbedingungssätze



Strukturlastsatz "WESTE"

| | |
|-------------|--|
| Eigenschaft | Wert |
| Lasten | Load3 ⓘ Load4 ⓘ |

Analysen



Statische Analyse "Analysis1"

| | |
|-------------|------|
| Eigenschaft | Wert |
|-------------|------|

Kontaktanalyse "Analysis3"

| | |
|--------------|--|
| Eigenschaft | Wert |
| Beschreibung | mit Kontakt Sternum, Netzverfeinerung Kontaktbereich |

Kontaktanalyse "Test_1"

| | |
|-------------|------|
| Eigenschaft | Wert |
|-------------|------|

Kontaktanalyse "Test_2"

| | |
|-------------|------|
| Eigenschaft | Wert |
|-------------|------|

Materialien



Material "BONE_CORT_ISO_LI_ET_AL_09"

| | |
|-------------------------|---|
| Eigenschaft | Wert |
| Beschreibung | Transv. isotr. Mat.modell kort. Knochen |
| Struktureller Typ | Isotropes elasto-plastisches Material |
| Dichte | 2 [g / mm^3] |
| Materialmodell | Lineare Verfestigung |
| Tangentialem Modul | 1.15e+09 [Pa] |
| Thermische Entfestigung | 0 [C] |
| Streckgrenze | 8.8e+07 [Pa] |
| Versagenskriterien | Kein(e) |
| Wärmeausdehnung | 0 [C] |
| Thermischer Typ | Isotrop |
| Leitfähigkeit | 0 [mm g / (sec^3 C)] |

Spezifische Wärme 0 [mm^2/(sec^2 C)]

Material "BONE_CORT_TRANSV_ISO"

| Eigenschaft | Wert |
|----------------------|--|
| Beschreibung | Transv. isotr. Mat.modell kort. Knochen |
| Struktureller Typ | Transversal isotrop |
| Dichte | 2 [g / mm^3] |
| Elastizitätsmodul | [E1] : 1.17e+10 [Pa] [E2] : 7.9e+09 [Pa] [E3] : 7.9e+09 [Pa] |
| Querkontraktionszahl | [Nu21] : 0.2 [Nu31] : 0.2 [Nu32] : 0.2 |
| Schubsteifigkeit | [G12] : 4.8e+09 [Pa] [G13] : 4.8e+09 [Pa] [G23] : 3.29167e+09 [Pa] |
| Versagenskriterien | Kein(e) |
| Wärmeausdehnung | [a1] : 0 [1/C] [a2] : 0 [1/C] [a3] : 0 [1/C] |
| Thermischer Typ | Isotrop |
| Leitfähigkeit | 0 [mm g / (sec^3 C)] |
| Spezifische Wärme | 0 [mm^2/(sec^2 C)] |

Material "CARTILAGE_ELAST_OYEN"

| Eigenschaft | Wert |
|----------------------|--|
| Beschreibung | Isotrop. Materialmodell f. Rippenknorpel nach Oyen |
| Struktureller Typ | Isotrop |
| Dichte | 1.5 [g / mm^3] |
| Elastizitätsmodul | 1e+07 [Pa] |
| Querkontraktionszahl | 0.4 |
| Schubsteifigkeit | 3.57143e+06 [Pa] |
| Versagenskriterien | Kein(e) |
| Wärmeausdehnung | 0 [1/C] |
| Thermischer Typ | Isotrop |
| Leitfähigkeit | 0 [mm g / (sec^3 C)] |
| Spezifische Wärme | 0 [mm^2/(sec^2 C)] |

Material "CARTILAGE_STIFF_OYEN"

| Eigenschaft | Wert |
|----------------------|--|
| Beschreibung | Isotrop. Materialmodell f. Rippenknorpel nach Oyen |
| Struktureller Typ | Isotrop |
| Dichte | 1.5 [g / mm^3] |
| Elastizitätsmodul | 1e+09 [Pa] |
| Querkontraktionszahl | 0.4 |
| Schubsteifigkeit | 3.57143e+08 [Pa] |
| Versagenskriterien | Kein(e) |
| Wärmeausdehnung | 0 [1/C] |
| Thermischer Typ | Isotrop |
| Leitfähigkeit | 0 [mm g / (sec^3 C)] |
| Spezifische Wärme | 0 [mm^2/(sec^2 C)] |

Simulationsmodell : SKEL_THORAX.PRT

In diesem Modell gibt es keine Simulationsobjekte.



Simulationsmodell : RIB1.ASM

Federn



Feder "RIB1_F_ROT"

| Eigenschaft | Wert |
|------------------|---|
| Typ | Erweitert |
| Referenzen | Punkt "PNT3" (RIB1_SHELL.PRT) Punkt "APNT0" (RIB1.ASM) |
| Federeigenschaft | Rib_Rot_var ⓘ |
| Orientierung | XYZ-Richtungen definiert vom Koordinatensystem : Koordinatensystem "CS1" (RIB1_SHELL.PRT) |

Federeigenschaften



Federeigenschaft "Rib_rot"

| | |
|-------------------------|--|
| Eigenschaft | Wert |
| Beschreibung | Rib rotation stiffness of CVJ according to Little et al. |
| Auto-Kopplung | Ja |
| Dehnsteifigkeit (K) | $1e+09 \cdot 245000 \text{ [N / m]} = 1e+12 \cdot 2.45e+08 \text{ [g / sec^2]}$ |
| Torsionssteifigkeit (T) | $4.167 \cdot 6.706 \text{ [m N / rad]} = 4.167e+09 \cdot 6.706e+09 \text{ [mm^2 g / (sec^2 rad)]}$ |

Federeigenschaft "Rib_Rot_stiff"

| | |
|-------------------------|---|
| Eigenschaft | Wert |
| Auto-Kopplung | Ja |
| Dehnsteifigkeit (K) | $1 \cdot 10^9 \cdot 1 \cdot 10^9 \text{ [N / m]} = 1e+12 \cdot 1e+12 \text{ [g / sec^2]}$ |
| Torsionssteifigkeit (T) | $4167 \cdot 6706 \text{ [mm N / deg]} = 2.38752e+11 \cdot 2.38752e+11 \text{ [mm^2 g / (sec^2 rad)]}$ |

Federeigenschaft "Rib_Rot_var"

| | |
|-------------------------|--|
| Eigenschaft | Wert |
| Auto-Kopplung | Ja |
| Dehnsteifigkeit (K) | $PRT_RIB_CV_TRANS_X \cdot 10^9 \text{ [N / mm]} = 1e+15 \cdot 1e+15 \text{ [g / sec^2]}$ |
| Torsionssteifigkeit (T) | $PRT_RIB_CV_ROT_X \cdot PRT_RIB_CV_ROT_Y \cdot PRT_RIB_CV_ROT_Z \text{ [mm N / deg]} = 5.72958e+16 \cdot 5.72958e+16 \text{ [mm^2 g / (sec^2 rad)]}$ |

Schalen



Schale "Shell1"

| | |
|----------------------|--|
| Eigenschaft | Wert |
| Typ | Erweitert |
| Referenzen | Fläche (RIB1_SHELL.PRT) Fläche (RIB1_SHELL.PRT) Fläche (RIB1_SHELL.PRT) Fläche (RIB1_SHELL.PRT) Fläche (RIB1_SHELL.PRT) Fläche (RIB1_SHELL.PRT) |
| Schaleneigenschaft | Bone_cort ⓘ |
| Material | BONE_CORT_TRANSV_ISO |
| Materialorientierung | Cort_bone ⓘ |

Schaleneigenschaften



Schaleneigenschaft "Bone_cort"

| | |
|-------------|----------|
| Eigenschaft | Wert |
| Typ | Homogen |
| Dicke | 0.7 [mm] |

Materialorientierungen



Materialorientierung "Cort_bone"

| | |
|--------------|-------------------------------|
| Eigenschaft | Wert |
| Beschreibung | 1.. Längsrichtung |
| Typ | Fläche |
| Relativ zu | Zweite parametrische Richtung |

Gewichtete Verbindungen



Gewichtete Verbindung "RIB1_WL_ROT"

| | |
|-----------------------------------|------|
| Eigenschaft | Wert |
| Referenzen der unabhängigen Seite | |

| | |
|--|--|
| | Fläche (RIB1_SHELL.PRT) |
| | Fläche (RIB1_SHELL.PRT) |
| | Fläche (RIB1_SHELL.PRT) |
| Koordinatensystem der unabhängigen Seite | Koordinatensystem "CS1" (RIB1_SHELL.PRT) |
| Translatorische Freiheitsgrade | x y z |
| Referenzen der abhängigen Seite | Punkt "PNT3" (RIB1_SHELL.PRT) |
| Koordinatensystem der abhängigen Seite | WCS (RIB1.ASM) |

Lasten/Randbedingungen



[Strukturmechanische Randbedingung "RIB1_P_RB_ROT"](#)

| Eigenschaft | Wert |
|-------------------|--|
| Typ | Verschiebung |
| Referenzen | Punkt "APNT0" (RIB1.ASM) |
| Koordinatensystem | Koordinatensystem "CS1" (RIB1_SHELL.PRT) |
| Verschiebung | X : Konstant Y : Konstant Z : Konstant |
| Rotation | X : Konstant Y : Konstant Z : Konstant |

Lastsätze/Randbedingungssätze



[Strukturmechanischer Randbedingungssatz "RIB_RB_ROT"](#)

| Eigenschaft | Wert |
|-----------------|---------------------------------|
| Randbedingungen | RIB1_P_RB_ROT ⓘ |

Materialien



Material "BONE_CORT_ISO_LI_ET_AL_09"

| Eigenschaft | Wert |
|-------------------------|---|
| Beschreibung | Transv. isotr. Mat.modell kort. Knochen |
| Struktureller Typ | Isotropes elasto-plastisches Material |
| Dichte | 2 [g / mm ³] |
| Materialmodell | Lineare Verfestigung |
| Tangentialem Modul | 1.15e+09 [Pa] |
| Thermische Entfestigung | 0 [C] |
| Streckgrenze | 8.8e+07 [Pa] |
| Versagenskriterien | Kein(e) |
| Wärmeausdehnung | 0 [C] |
| Thermischer Typ | Isotrop |
| Leitfähigkeit | 0 [mm g / (sec ³ C)] |
| Spezifische Wärme | 0 [mm ² /(sec ² C)] |

Material "BONE_CORT_TRANSV_ISO"

| Eigenschaft | Wert |
|----------------------|--|
| Beschreibung | Transv. isotr. Mat.modell kort. Knochen |
| Struktureller Typ | Transversal isotrop |
| Dichte | 2 [g / mm ³] |
| Elastizitätsmodul | [E1] : 1.17e+10 [Pa] [E2] : 7.9e+09 [Pa] [E3] : 7.9e+09 [Pa] |
| Querkontraktionszahl | [Nu21] : 0.2 [Nu31] : 0.2 [Nu32] : 0.2 |
| Schubsteifigkeit | [G12] : 4.8e+09 [Pa] [G13] : 4.8e+09 [Pa] [G23] : 3.29167e+09 [Pa] |
| Versagenskriterien | Kein(e) |
| Wärmeausdehnung | [a1] : 0 [C] [a2] : 0 [C] [a3] : 0 [C] |
| Thermischer Typ | Isotrop |
| Leitfähigkeit | 0 [mm g / (sec ³ C)] |
| Spezifische Wärme | 0 [mm ² /(sec ² C)] |

Simulationsmodell : RIB1_SHELL.PRT

In diesem Modell gibt es keine Simulationsobjekte.



Simulationsmodell : RIB2.ASM

Federn



Feder "RIB2_F_ROT"

| | |
|------------------|---|
| Eigenschaft | Wert |
| Typ | Erweitert |
| Referenzen | Punkt "APNT0" (RIB2.ASM) Punkt "PNT3" (RIB2_SHELL.PRT) |
| Federeigenschaft | Rib_Rot_var ⓘ |
| Orientierung | XYZ-Richtungen definiert vom Koordinatensystem : Koordinatensystem "CS1" (RIB2_SHELL.PRT) |

Federeigenschaften



Federeigenschaft "Rib_rot"

| | |
|-------------------------|--|
| Eigenschaft | Wert |
| Beschreibung | Rib rotation stiffness of CVJ according to Little et al. |
| Auto-Kopplung | Ja |
| Dehnsteifigkeit (K) | $1e+09 \quad 1e+09 \quad 245000 \quad [N / m] = 1e+12 \quad 1e+12 \quad 2.45e+08 \quad [g / sec^2]$ |
| Torsionssteifigkeit (T) | $4.167 \quad 4.167 \quad 6.706 \quad [m N / rad] = 4.167e+09 \quad 4.167e+09 \quad 6.706e+09 \quad [mm^2 g / (sec^2 rad)]$ |

Federeigenschaft "Rib_Rot_stiff"

| | |
|-------------------------|--|
| Eigenschaft | Wert |
| Auto-Kopplung | Ja |
| Dehnsteifigkeit (K) | $1e+09 \quad 1e+09 \quad 1e+09 \quad [N / m] = 1e+12 \quad 1e+12 \quad 1e+12 \quad [g / sec^2]$ |
| Torsionssteifigkeit (T) | $238.751 \quad 238.751 \quad 384.226 \quad [m N / rad] = 2.38751e+11 \quad 2.38751e+11 \quad 3.84226e+11 \quad [mm^2 g / (sec^2 rad)]$ |

Federeigenschaft "Rib_Rot_var"

| | |
|-------------------------|--|
| Eigenschaft | Wert |
| Auto-Kopplung | Ja |
| Dehnsteifigkeit (K) | $PRT_RIB_CV_TRANS_X \quad 1e+12 \quad 1e+12 \quad [N / mm] = 1e+15 \quad 1e+18 \quad 1e+18 \quad [g / sec^2]$ |
| Torsionssteifigkeit (T) | $PRT_RIB_CV_ROT_X \quad PRT_RIB_CV_ROT_Y \quad PRT_RIB_CV_ROT_Z \quad [mm N / deg] = 5.72958e+16 \quad 5.72958e+16 \quad 5.72958e+16 \quad [mm^2 g / (sec^2 rad)]$ |

Schalen



Schale "Shell1"

| | |
|----------------------|---|
| Eigenschaft | Wert |
| Typ | Erweitert |
| Referenzen | Fläche (RIB2_SHELL.PRT) Fläche (RIB2_SHELL.PRT) Fläche (RIB2_SHELL.PRT) Fläche (RIB2_SHELL.PRT) Fläche (RIB2_SHELL.PRT) Fläche (RIB2_SHELL.PRT) Fläche (RIB2_SHELL.PRT) |
| Schaleneigenschaft | Bone_cort ⓘ |
| Material | BONE_CORT_TRANSV_ISO |
| Materialorientierung | Bone_cort ⓘ |

Schaleneigenschaften



Schaleneigenschaft "Bone_cort"

| | |
|-------------|----------|
| Eigenschaft | Wert |
| Typ | Homogen |
| Dicke | 0.7 [mm] |

Materialorientierungen



[Materialorientierung "Bone_cort"](#)

| Eigenschaft | Wert |
|-------------|-------------------------------|
| Typ | Fläche |
| Relativ zu | Zweite parametrische Richtung |

Gewichtete Verbindungen



[Gewichtete Verbindung "RIB2_WL_ROT"](#)

| Eigenschaft | Wert |
|--|---|
| Referenzen der unabhängigen Seite | Fläche (RIB2_SHELL.PRT) Fläche (RIB2_SHELL.PRT) Fläche (RIB2_SHELL.PRT) |
| Koordinatensystem der unabhängigen Seite | Koordinatensystem "CS1" (RIB2_SHELL.PRT) |
| Translatorische Freiheitsgrade | x y z |
| Referenzen der abhängigen Seite | Punkt "PNT3" (RIB2_SHELL.PRT) |
| Koordinatensystem der abhängigen Seite | WCS (RIB2.ASM) |

Lasten/Randbedingungen



[Strukturmechanische Randbedingung "RIB2_P_RB_ROT"](#)

| Eigenschaft | Wert |
|-------------------|--|
| Typ | Verschiebung |
| Referenzen | Punkt "APNT0" (RIB2.ASM) |
| Koordinatensystem | WCS (RIB2.ASM) |
| Verschiebung | X : Konstant Y : Konstant Z : Konstant |
| Rotation | X : Konstant Y : Konstant Z : Konstant |

Lastsätze/Randbedingungssätze



[Strukturmechanischer Randbedingungssatz "RIB_RB_ROT"](#)

| Eigenschaft | Wert |
|-----------------|---------------------------------|
| Randbedingungen | RIB2_P_RB_ROT ⓘ |

Materialien



Material "BONE_CORT_ISO_LI_ET_AL_09"

| Eigenschaft | Wert |
|-------------------------|---|
| Beschreibung | Transv. isotr. Mat.modell kort. Knochen |
| Struktureller Typ | Isotropes elasto-plastisches Material |
| Dichte | 2 [g / mm ³] |
| Materialmodell | Lineare Verfestigung |
| Tangentialer Modul | 1.15e+09 [Pa] |
| Thermische Entfestigung | 0 [C] |
| Streckgrenze | 8.8e+07 [Pa] |
| Versagenskriterien | Kein(e) |
| Wärmeausdehnung | 0 [C] |
| Thermischer Typ | Isotrop |
| Leitfähigkeit | 0 [mm g / (sec ³ C)] |
| Spezifische Wärme | 0 [mm ² /(sec ² C)] |

Material "BONE_CORT_TRANSV_ISO"

| Eigenschaft | Wert |
|----------------------|--|
| Beschreibung | Transv. isotr. Mat.modell kort. Knochen |
| Struktureller Typ | Transversal isotrop |
| Dichte | 2 [g / mm ³] |
| Elastizitätsmodul | [E1] : 1.17e+10 [Pa] [E2] : 7.9e+09 [Pa] [E3] : 7.9e+09 [Pa] |
| Querkontraktionszahl | |

| | |
|--------------------|--|
| | [Nu21] : 0.2 [Nu31] : 0.2 [Nu32] : 0.2 |
| Schubsteifigkeit | [G12] : 4.8e+09 [Pa] [G13] : 4.8e+09 [Pa] [G23] : 3.29167e+09 [Pa] |
| Versagenskriterien | Kein(e) |
| Wärmeausdehnung | [a1] : 0 [1/C] [a2] : 0 [1/C] [a3] : 0 [1/C] |
| Thermischer Typ | Isotrop |
| Leitfähigkeit | 0 [mm g / (sec^3 C)] |
| Spezifische Wärme | 0 [mm^2/(sec^2 C)] |

Simulationsmodell : RIB2_SHELL.PRT

In diesem Modell gibt es keine Simulationsobjekte.



Simulationsmodell : RIB3.ASM

Federn



Feder "RIB3_F_ROT"

| | |
|------------------|---|
| Eigenschaft | Wert |
| Typ | Erweitert |
| Referenzen | Punkt "PNT3" (RIB3_SHELL.PRT) Punkt "APNT0" (RIB3.ASM) |
| Federeigenschaft | Rib_Rot_var ⓘ |
| Orientierung | XYZ-Richtungen definiert vom Koordinatensystem : Koordinatensystem "CS1" (RIB3_SHELL.PRT) |

Federeigenschaften



Federeigenschaft "Rib_rot"

| | |
|-------------------------|--|
| Eigenschaft | Wert |
| Beschreibung | Rib rotation stiffness of CVJ according to Little et al. |
| Auto-Kopplung | Ja |
| Dehnsteifigkeit (K) | 1e+09 1e+09 245000 [N / m] = 1e+12 1e+12 2.45e+08 [g / sec^2] |
| Torsionssteifigkeit (T) | 4.167 4.167 6.706 [m N / rad] = 4.167e+09 4.167e+09 6.706e+09 [mm^2 g / (sec^2 rad)] |

Federeigenschaft "Rib_Rot_stiff"

| | |
|-------------------------|--|
| Eigenschaft | Wert |
| Auto-Kopplung | Ja |
| Dehnsteifigkeit (K) | 1e+09 1e+09 1e+09 [N / m] = 1e+12 1e+12 1e+12 [g / sec^2] |
| Torsionssteifigkeit (T) | 1e+09 1e+09 1e+09 [m N / rad] = 1e+18 1e+18 1e+18 [mm^2 g / (sec^2 rad)] |

Federeigenschaft "Rib_Rot_var"

| | |
|-------------------------|---|
| Eigenschaft | Wert |
| Auto-Kopplung | Ja |
| Dehnsteifigkeit (K) | PRT_RIB_CV_TRANS_X 1e+12 1e+12 [N / mm] = 1e+15 1e+18 1e+18 [g / sec^2] |
| Torsionssteifigkeit (T) | PRT_RIB_CV_ROT_X PRT_RIB_CV_ROT_Y PRT_RIB_CV_ROT_Z 5.72958e+16 5.72958e+16 [mm N / deg] = 5.72958e+16 5.72958e+16 [mm^2 g / (sec^2 rad)] |

Schalen



Schale "Shell1"

| | |
|-------------|---|
| Eigenschaft | Wert |
| Typ | Erweitert |
| Referenzen | Fläche (RIB3_SHELL.PRT) Fläche (RIB3_SHELL.PRT) Fläche (RIB3_SHELL.PRT) |

| | | |
|--|--|---|
| | Fläche (RIB3 SHELL.PRT) Fläche (RIB3 SHELL.PRT) Fläche (RIB3 SHELL.PRT) Fläche (RIB3 SHELL.PRT) | |
| Schaleneigenschaft | Bone cort ⓘ | |
| Material | BONE_CORT_TRANSV_ISO | |
| Materialorientierung | Bone Cort ⓘ | |
| | | |
| Schaleneigenschaften | | ↑ |
| Schaleneigenschaft "Bone cort" | | |
| Eigenschaft | | Wert |
| Typ | | Homogen |
| Dicke | | 0.7 [mm] |
| | | |
| Materialorientierungen | | ↑ |
| Materialorientierung "Bone Cort" | | |
| Eigenschaft | | Wert |
| Typ | | Fläche |
| Relativ zu | | Zweite parametrische Richtung |
| | | |
| Gewichtete Verbindungen | | ↑ |
| Gewichtete Verbindung "RIB3_WL_ROT" | | |
| Eigenschaft | | Wert |
| Referenzen der unabhängigen Seite | | Fläche (RIB3 SHELL.PRT) Fläche (RIB3 SHELL.PRT) Fläche (RIB3 SHELL.PRT) |
| Koordinatensystem der unabhängigen Seite | | Koordinatensystem "CS1" (RIB3 SHELL.PRT) |
| Translatorische Freiheitsgrade | | x y z |
| Referenzen der abhängigen Seite | | Punkt "PNT3" (RIB3 SHELL.PRT) |
| Koordinatensystem der abhängigen Seite | | WCS (RIB3.ASM) |
| | | |
| Lasten/Randbedingungen | | ↑ |
| Strukturmechanische Randbedingung "RIB3_P_RB_ROT" | | |
| Eigenschaft | | Wert |
| Typ | | Verschiebung |
| Referenzen | | Punkt "APNT0" (RIB3.ASM) |
| Koordinatensystem | | Koordinatensystem "CS1" (RIB3 SHELL.PRT) |
| Verschiebung | | X : Konstant Y : Konstant Z : Konstant |
| Rotation | | X : Konstant Y : Konstant Z : Konstant |
| | | |
| Lastsätze/Randbedingungssätze | | ↑ |
| Strukturmechanischer Randbedingungssatz "RIB_RB_ROT" | | |
| Eigenschaft | | Wert |
| Randbedingungen | | RIB3_P_RB_ROT ⓘ |
| | | |
| Materialien | | ↑ |
| Material "BONE_CORT_ISO_LI_ET_AL_09" | | |
| Eigenschaft | | Wert |
| Beschreibung | | Transv. isotr. Mat.modell kort. Knochen |
| Struktureller Typ | | Isotropes elasto-plastisches Material |
| Dichte | | 2 [g / mm^3] |
| Materialmodell | | Lineare Verfestigung |
| Tangentialer Modul | | 1.15e+09 [Pa] |
| Thermische Entfestigung | | 0 [C] |
| Streckgrenze | | 8.8e+07 [Pa] |
| Versagenskriterien | | Kein(e) |

| | |
|-------------------|----------------------|
| Wärmeausdehnung | 0 [1/C] |
| Thermischer Typ | Isotrop |
| Leitfähigkeit | 0 [mm g / (sec^3 C)] |
| Spezifische Wärme | 0 [mm^2/(sec^2 C)] |

Material "BONE_CORT_TRANSV_ISO"

| Eigenschaft | Wert |
|----------------------|--|
| Beschreibung | Transv. isotr. Mat.modell kort. Knochen |
| Struktureller Typ | Transversal isotrop |
| Dichte | 2 [g / mm^3] |
| Elastizitätsmodul | [E1] : 1.17e+10 [Pa] [E2] : 7.9e+09 [Pa] [E3] : 7.9e+09 [Pa] |
| Querkontraktionszahl | [Nu21] : 0.2 [Nu31] : 0.2 [Nu32] : 0.2 |
| Schubsteifigkeit | [G12] : 4.8e+09 [Pa] [G13] : 4.8e+09 [Pa] [G23] : 3.29167e+09 [Pa] |
| Versagenskriterien | Kein(e) |
| Wärmeausdehnung | [a1] : 0 [1/C] [a2] : 0 [1/C] [a3] : 0 [1/C] |
| Thermischer Typ | Isotrop |
| Leitfähigkeit | 0 [mm g / (sec^3 C)] |
| Spezifische Wärme | 0 [mm^2/(sec^2 C)] |

Simulationsmodell : RIB3_SHELL.PRT

In diesem Modell gibt es keine Simulationsobjekte.



Simulationsmodell : RIB4.ASM

Federn



Feder "RIB4_F_ROT"

| | |
|------------------|---|
| Eigenschaft | Wert |
| Typ | Erweitert |
| Referenzen | Punkt "PNT5" (RIB4_SHELL.PRT) Punkt "APNT0" (RIB4.ASM) |
| Federeigenschaft | Rib_Rot_var ⓘ |
| Orientierung | XYZ-Richtungen definiert vom Koordinatensystem : Koordinatensystem "CS3" (RIB4_SHELL.PRT) |

Federeigenschaften



Federeigenschaft "Rib_rot"

| | |
|-------------------------|---|
| Eigenschaft | Wert |
| Beschreibung | Rib rotation stiffness of CVJ according to Little et al. |
| Auto-Kopplung | Ja |
| Dehnsteifigkeit (K) | 1e+09 1e+12 1e+09 245000 [N / m] = 1e+12 2.45e+08 [g / sec^2] |
| Torsionssteifigkeit (T) | 4.167 4.167e+09 4.167 6.706 [m N / rad] = 4.167e+09 4.167e+09 6.706e+09 [mm^2 g / (sec^2 rad)] |

Federeigenschaft "Rib_Rot_stiff"

| | |
|-------------------------|--|
| Eigenschaft | Wert |
| Auto-Kopplung | Ja |
| Dehnsteifigkeit (K) | 1e+09 1e+12 1e+09 1e+09 [N / m] = 1e+12 1e+12 [g / sec^2] |
| Torsionssteifigkeit (T) | 1e+09 1e+18 1e+09 1e+09 [m N / rad] = 1e+18 1e+18 [mm^2 g / (sec^2 rad)] |

Federeigenschaft "Rib_Rot_var"

| | |
|---------------------|--------------------------------------|
| Eigenschaft | Wert |
| Auto-Kopplung | Ja |
| Dehnsteifigkeit (K) | PRT_RIB_CV_TRANS_X = 1e+15 |

$$\begin{matrix}
 & 1e+12 & & 1e+18 & & \\
 & & 1e+12 \text{ [N / mm]} & & 1e+18 \text{ [g / sec^2]} & \\
 \text{Torsionssteifigkeit (T)} & \text{PRT_RIB_CV_ROT_X} & & \text{PRT_RIB_CV_ROT_Y} & = & 5.72958e+16 \\
 & & & \text{PRT_RIB_CV_ROT_Z} & & 5.72958e+16 \\
 & & & & & 5.72958e+16 \text{ [mm^2 g / (sec^2 rad)]}
 \end{matrix}$$

Schalen



[Schale "Shell1"](#)

| | |
|----------------------|--|
| Eigenschaft | Wert |
| Typ | Erweitert |
| Referenzen | Fläche (RIB4_SHELL.PRT) Fläche (RIB4_SHELL.PRT) Fläche (RIB4_SHELL.PRT) Fläche (RIB4_SHELL.PRT) Fläche (RIB4_SHELL.PRT) Fläche (RIB4_SHELL.PRT) Fläche (RIB4_SHELL.PRT) Fläche (RIB4_SHELL.PRT) |
| Schaleneigenschaft | Bone_cort ⓘ |
| Material | BONE_CORT_TRANSV_ISO |
| Materialorientierung | BONE_CORT ⓘ |

Schaleneigenschaften



[Schaleneigenschaft "Bone_cort"](#)

| | |
|-------------|----------|
| Eigenschaft | Wert |
| Typ | Homogen |
| Dicke | 0.7 [mm] |

Materialorientierungen



[Materialorientierung "BONE_CORT"](#)

| | |
|-------------|-------------------------------|
| Eigenschaft | Wert |
| Typ | Fläche |
| Relativ zu | Zweite parametrische Richtung |

Gewichtete Verbindungen



[Gewichtete Verbindung "RIB4_WL_ROT"](#)

| | |
|--|---|
| Eigenschaft | Wert |
| Referenzen der unabhängigen Seite | Fläche (RIB4_SHELL.PRT) Fläche (RIB4_SHELL.PRT) Fläche (RIB4_SHELL.PRT) |
| Koordinatensystem der unabhängigen Seite | Koordinatensystem "CS3" (RIB4_SHELL.PRT) |
| Translatorische Freiheitsgrade | x y z |
| Referenzen der abhängigen Seite | Punkt "PNT5" (RIB4_SHELL.PRT) |
| Koordinatensystem der abhängigen Seite | WCS (RIB4.ASM) |

Lasten/Randbedingungen



[Strukturmechanische Randbedingung "RIB4_P_RB-ROT"](#)

| | |
|-------------------|--|
| Eigenschaft | Wert |
| Typ | Verschiebung |
| Referenzen | Punkt "APNT0" (RIB4.ASM) |
| Koordinatensystem | Koordinatensystem "CS3" (RIB4_SHELL.PRT) |
| Verschiebung | X : Konstant Y : Konstant Z : Konstant |
| Rotation | X : Konstant Y : Konstant Z : Konstant |

Lastsätze/Randbedingungssätze



[Strukturmechanischer Randbedingungssatz "RIB_RB_ROT"](#)

| | |
|-----------------|---------------------------------|
| Eigenschaft | Wert |
| Randbedingungen | RIB4_P_RB-ROT ⓘ |

Materialien



Material "BONE_CORT_ISO_LI_ET_AL_09"

| Eigenschaft | Wert |
|-------------------------|---|
| Beschreibung | Transv. isotr. Mat.modell kort. Knochen |
| Struktureller Typ | Isotropes elasto-plastisches Material |
| Dichte | 2 [g / mm^3] |
| Materialmodell | Lineare Verfestigung |
| Tangentialem Modul | 1.15e+09 [Pa] |
| Thermische Entfestigung | 0 [C] |
| Streckgrenze | 8.8e+07 [Pa] |
| Versagenskriterien | Kein(e) |
| Wärmeausdehnung | 0 [C] |
| Thermischer Typ | Isotrop |
| Leitfähigkeit | 0 [mm g / (sec^3 C)] |
| Spezifische Wärme | 0 [mm^2/(sec^2 C)] |

Material "BONE_CORT_TRANSV_ISO"

| Eigenschaft | Wert |
|----------------------|--|
| Beschreibung | Transv. isotr. Mat.modell kort. Knochen |
| Struktureller Typ | Transversal isotrop |
| Dichte | 2 [g / mm^3] |
| Elastizitätsmodul | [E1] : 1.17e+10 [Pa] [E2] : 7.9e+09 [Pa] [E3] : 7.9e+09 [Pa] |
| Querkontraktionszahl | [Nu21] : 0.2 [Nu31] : 0.2 [Nu32] : 0.2 |
| Schubsteifigkeit | [G12] : 4.8e+09 [Pa] [G13] : 4.8e+09 [Pa] [G23] : 3.29167e+09 [Pa] |
| Versagenskriterien | Kein(e) |
| Wärmeausdehnung | [a1] : 0 [C] [a2] : 0 [C] [a3] : 0 [C] |
| Thermischer Typ | Isotrop |
| Leitfähigkeit | 0 [mm g / (sec^3 C)] |
| Spezifische Wärme | 0 [mm^2/(sec^2 C)] |

Simulationsmodell : RIB4_SHELL.PRT

In diesem Modell gibt es keine Simulationsobjekte.



Simulationsmodell : RIB5.ASM

Federn



[Feder "RIB5_F_ROT"](#)

| Eigenschaft | Wert |
|------------------|---|
| Typ | Erweitert |
| Referenzen | Punkt "PNT3" (RIB5_SHELL.PRT) Punkt "APNT0" (RIB5.ASM) |
| Federeigenschaft | Rib_Rot_var ⓘ |
| Orientierung | XYZ-Richtungen definiert vom Koordinatensystem : Koordinatensystem "CS1" (RIB5_SHELL.PRT) |

Federeigenschaften



[Federeigenschaft "Rib_rot"](#)

| Eigenschaft | Wert |
|-------------------------|--|
| Beschreibung | Rib rotation stiffness of CVJ according to Little et al. |
| Auto-Kopplung | Ja |
| Dehnsteifigkeit (K) | $1e+09 \quad 1e+09 \quad 245000 \quad [N / m] = \quad 1e+12 \quad 1e+12 \quad 2.45e+08 \quad [g / sec^2]$ |
| Torsionssteifigkeit (T) | $4.167 \quad 4.167 \quad 6.706 \quad [m N / rad] = \quad 4.167e+09 \quad 4.167e+09 \quad 6.706e+09 \quad [mm^2 g / (sec^2 rad)]$ |

Federeigenschaft "Rib Rot stiff"

| Eigenschaft | Wert |
|-------------------------|--|
| Auto-Kopplung | Ja |
| Dehnsteifigkeit (K) | $1e+09 \cdot 1e+09 \cdot 1e+09 \text{ [N / m]} = 1e+12 \cdot 1e+12 \cdot 1e+12 \text{ [g / sec}^2\text{]}$ |
| Torsionssteifigkeit (T) | $1e+09 \cdot 1e+09 \cdot 1e+09 \text{ [m N / rad]} = 1e+18 \cdot 1e+18 \cdot 1e+18 \text{ [mm}^2\text{ g / (sec}^2\text{ rad)]}$ |

Federeigenschaft "Rib Rot var"

| Eigenschaft | Wert |
|-------------------------|---|
| Auto-Kopplung | Ja |
| Dehnsteifigkeit (K) | $1e+12 \cdot 1e+12 \text{ [N / mm]} = 1e+15 \cdot 1e+18 \text{ [g / sec}^2\text{]}$ |
| Torsionssteifigkeit (T) | $\begin{matrix} \text{PRT_RIB_CV_ROT_X} & \text{PRT_RIB_CV_ROT_Y} & \text{PRT_RIB_CV_ROT_Z} \\ \text{[mm N / deg]} & & \end{matrix} = \begin{matrix} 5.72958e+16 \\ 5.72958e+16 \\ 5.72958e+16 \end{matrix} \text{ [mm}^2\text{ g / (sec}^2\text{ rad)]}$ |

Schalen



Schale "Shell1"

| Eigenschaft | Wert |
|----------------------|---|
| Typ | Erweitert |
| Referenzen | Fläche (RIB5_SHELL.PRT) Fläche (RIB5_SHELL.PRT) Fläche (RIB5_SHELL.PRT) Fläche (RIB5_SHELL.PRT) Fläche (RIB5_SHELL.PRT) Fläche (RIB5_SHELL.PRT) Fläche (RIB5_SHELL.PRT) |
| Schaleneigenschaft | Bone cort ⓘ |
| Material | BONE_CORT_TRANSV_ISO |
| Materialorientierung | BONE_CORT ⓘ |

Schaleneigenschaften



Schaleneigenschaft "Bone cort"

| Eigenschaft | Wert |
|-------------|----------|
| Typ | Homogen |
| Dicke | 0.7 [mm] |

Materialorientierungen



Materialorientierung "BONE_CORT"

| Eigenschaft | Wert |
|-------------|-------------------------------|
| Typ | Fläche |
| Relativ zu | Zweite parametrische Richtung |

Gewichtete Verbindungen



Gewichtete Verbindung "RIB5_WL_ROT"

| Eigenschaft | Wert |
|--|---|
| Referenzen der unabhängigen Seite | Fläche (RIB5_SHELL.PRT) Fläche (RIB5_SHELL.PRT) Fläche (RIB5_SHELL.PRT) |
| Koordinatensystem der unabhängigen Seite | Koordinatensystem "CS1" (RIB5_SHELL.PRT) |
| Translatorische Freiheitsgrade | x y z |
| Referenzen der abhängigen Seite | Punkt "PNT3" (RIB5_SHELL.PRT) |
| Koordinatensystem der abhängigen Seite | WCS (RIB5.ASM) |

Lasten/Randbedingungen



Strukturmechanische Randbedingung "RIB5_P_RB_ROT"

| Eigenschaft | Wert |
|-------------|--------------|
| Typ | Verschiebung |

| | |
|-------------------|--|
| Referenzen | Punkt "APNT0" (RIB5.ASM) |
| Koordinatensystem | Koordinatensystem "CS1" (RIB5_SHELL.PRT) |
| Verschiebung | X : Konstant Y : Konstant Z : Konstant |
| Rotation | X : Konstant Y : Konstant Z : Konstant |

Lastsätze/Randbedingungssätze



[Strukturmechanischer Randbedingungssatz "RIB_RB_ROT"](#)

| | |
|-----------------|---------------------------------|
| Eigenschaft | Wert |
| Randbedingungen | RIB5_P_RB_ROT ⓘ |

Materialien



Material "BONE_CORT_ISO_LI_ET_AL_09"

| | |
|-------------------------|---|
| Eigenschaft | Wert |
| Beschreibung | Transv. isotr. Mat.modell kort. Knochen |
| Struktureller Typ | Isotropes elasto-plastisches Material |
| Dichte | 2 [g / mm ³] |
| Materialmodell | Lineare Verfestigung |
| Tangentialem Modul | 1.15e+09 [Pa] |
| Thermische Entfestigung | 0 [°C] |
| Streckgrenze | 8.8e+07 [Pa] |
| Versagenskriterien | Kein(e) |
| Wärmeausdehnung | 0 [°C] |
| Thermischer Typ | Isotrop |
| Leitfähigkeit | 0 [mm g / (sec ³ C)] |
| Spezifische Wärme | 0 [mm ² /(sec ² C)] |

Material "BONE_CORT_TRANSV_ISO"

| | |
|----------------------|--|
| Eigenschaft | Wert |
| Beschreibung | Transv. isotr. Mat.modell kort. Knochen |
| Struktureller Typ | Transversal isotrop |
| Dichte | 2 [g / mm ³] |
| Elastizitätsmodul | [E1] : 1.17e+10 [Pa] [E2] : 7.9e+09 [Pa] [E3] : 7.9e+09 [Pa] |
| Querkontraktionszahl | [Nu21] : 0.2 [Nu31] : 0.2 [Nu32] : 0.2 |
| Schubsteifigkeit | [G12] : 4.8e+09 [Pa] [G13] : 4.8e+09 [Pa] [G23] : 3.29167e+09 [Pa] |
| Versagenskriterien | Kein(e) |
| Wärmeausdehnung | [a1] : 0 [°C] [a2] : 0 [°C] [a3] : 0 [°C] |
| Thermischer Typ | Isotrop |
| Leitfähigkeit | 0 [mm g / (sec ³ C)] |
| Spezifische Wärme | 0 [mm ² /(sec ² C)] |

Simulationsmodell : RIB5_SHELL.PRT

In diesem Modell gibt es keine Simulationsobjekte.



Simulationsmodell : RIB6.ASM

Federn



[Feder "RIB6_F_ROT"](#)

| | |
|------------------|---|
| Eigenschaft | Wert |
| Typ | Erweitert |
| Referenzen | Punkt "PNT3" (RIB6_SHELL.PRT) Punkt "APNT0" (RIB6.ASM) |
| Federeigenschaft | Rib_Rot_var ⓘ |

Orientierung XYZ-Richtungen definiert vom Koordinatensystem : [Koordinatensystem "CS1" \(RIB6_SHELL.PRT\)](#)

Federeigenschaften



[Federeigenschaft "Rib_rot"](#)

| Eigenschaft | Wert |
|-------------------------|--|
| Beschreibung | Rib rotation stiffness of CVJ according to Little et al. |
| Auto-Kopplung | Ja |
| Dehnsteifigkeit (K) | $1e+09 \cdot 245000 \text{ [N / m]} = 1e+12 \cdot 2.45e+08 \text{ [g / sec^2]}$ |
| Torsionssteifigkeit (T) | $4.167 \cdot 6.706 \text{ [m N / rad]} = 4.167e+09 \cdot 6.706e+09 \text{ [mm^2 g / (sec^2 rad)]}$ |

[Federeigenschaft "Rib_Rot_stiff"](#)

| Eigenschaft | Wert |
|-------------------------|--|
| Auto-Kopplung | Ja |
| Dehnsteifigkeit (K) | $1e+09 \cdot 1e+09 \text{ [N / m]} = 1e+12 \cdot 1e+12 \text{ [g / sec^2]}$ |
| Torsionssteifigkeit (T) | $1e+09 \cdot 1e+09 \text{ [m N / rad]} = 1e+18 \cdot 1e+18 \text{ [mm^2 g / (sec^2 rad)]}$ |

[Federeigenschaft "Rib_Rot_var"](#)

| Eigenschaft | Wert |
|-------------------------|--|
| Auto-Kopplung | Ja |
| Dehnsteifigkeit (K) | $\text{PRT_RIB_CV_TRANS_X} \cdot 1e+12 \text{ [N / mm]} = 1e+15 \cdot 1e+18 \text{ [g / sec^2]}$ |
| Torsionssteifigkeit (T) | $\text{PRT_RIB_CV_ROT_X} \cdot \text{PRT_RIB_CV_ROT_Y} \cdot \text{PRT_RIB_CV_ROT_Z} = 5.72958e+16 \cdot 5.72958e+16 \text{ [mm^2 g / (sec^2 rad)]}$ |

Schalen



[Schale "Shell1"](#)

| Eigenschaft | Wert |
|----------------------|---|
| Typ | Erweitert |
| Referenzen | Fläche (RIB6_SHELL.PRT) Fläche (RIB6_SHELL.PRT) Fläche (RIB6_SHELL.PRT) Fläche (RIB6_SHELL.PRT) Fläche (RIB6_SHELL.PRT) Fläche (RIB6_SHELL.PRT) Fläche (RIB6_SHELL.PRT) |
| Schaleneigenschaft | Bone_cort ⓘ |
| Material | BONE_CORT_TRANS_ISO |
| Materialorientierung | BONE_CORT ⓘ |

Schaleneigenschaften



[Schaleneigenschaft "Bone_cort"](#)

| Eigenschaft | Wert |
|-------------|----------|
| Typ | Homogen |
| Dicke | 0.7 [mm] |

Materialorientierungen



[Materialorientierung "BONE_CORT"](#)

| Eigenschaft | Wert |
|-------------|-------------------------------|
| Typ | Fläche |
| Relativ zu | Zweite parametrische Richtung |

Gewichtete Verbindungen



[Gewichtete Verbindung "RIB6_WL_ROT"](#)

| Eigenschaft | Wert |
|-------------|------|
|-------------|------|

Referenzen der unabhängigen Seite

[Fläche \(RIB6_SHELL.PRT\)](#)
[Fläche \(RIB6_SHELL.PRT\)](#)
[Fläche \(RIB6_SHELL.PRT\)](#)

Koordinatensystem der unabhängigen Seite

[Koordinatensystem "CS1" \(RIB6_SHELL.PRT\)](#)

Translatorische Freiheitsgrade

x y z

Referenzen der abhängigen Seite

[Punkt "PNT3" \(RIB6_SHELL.PRT\)](#)

Koordinatensystem der abhängigen Seite

WCS (RIB6.ASM)

Lasten/Randbedingungen



[Strukturmechanische Randbedingung "RIB6_P_RB_ROT"](#)

| Eigenschaft | Wert |
|-------------------|--|
| Typ | Verschiebung |
| Referenzen | Punkt "APNT0" (RIB6.ASM) |
| Koordinatensystem | Koordinatensystem "CS1" (RIB6_SHELL.PRT) |
| Verschiebung | X : Konstant Y : Konstant Z : Konstant |
| Rotation | X : Konstant Y : Konstant Z : Konstant |

Lastsätze/Randbedingungssätze



[Strukturmechanischer Randbedingungssatz "RIB_RB_ROT"](#)

| Eigenschaft | Wert |
|-----------------|---------------------------------|
| Randbedingungen | RIB6_P_RB_ROT ⓘ |

Materialien



Material "BONE_CORT_ISO_LI_ET_AL_09"

| Eigenschaft | Wert |
|-------------------------|---|
| Beschreibung | Transv. isotr. Mat.modell kort. Knochen |
| Struktureller Typ | Isotropes elasto-plastisches Material |
| Dichte | 2 [g / mm ³] |
| Materialmodell | Lineare Verfestigung |
| Tangentialem Modul | 1.15e+09 [Pa] |
| Thermische Entfestigung | 0 [°C] |
| Streckgrenze | 8.8e+07 [Pa] |
| Versagenskriterien | Kein(e) |
| Wärmeausdehnung | 0 [°C] |
| Thermischer Typ | Isotrop |
| Leitfähigkeit | 0 [mm g / (sec ³ C)] |
| Spezifische Wärme | 0 [mm ² /(sec ² C)] |

Material "BONE_CORT_TRANSV_ISO"

| Eigenschaft | Wert |
|----------------------|--|
| Beschreibung | Transv. isotr. Mat.modell kort. Knochen |
| Struktureller Typ | Transversal isotrop |
| Dichte | 2 [g / mm ³] |
| Elastizitätsmodul | [E1] : 1.17e+10 [Pa] [E2] : 7.9e+09 [Pa] [E3] : 7.9e+09 [Pa] |
| Querkontraktionszahl | [Nu21] : 0.2 [Nu31] : 0.2 [Nu32] : 0.2 |
| Schubsteifigkeit | [G12] : 4.8e+09 [Pa] [G13] : 4.8e+09 [Pa] [G23] : 3.29167e+09 [Pa] |
| Versagenskriterien | Kein(e) |
| Wärmeausdehnung | [a1] : 0 [°C] [a2] : 0 [°C] [a3] : 0 [°C] |
| Thermischer Typ | Isotrop |
| Leitfähigkeit | 0 [mm g / (sec ³ C)] |
| Spezifische Wärme | 0 [mm ² /(sec ² C)] |

Simulationsmodell : RIB6_SHELL.PRT

In diesem Modell gibt es keine Simulationsobjekte.



Simulationsmodell : RIB7.ASM

Federn



Feder "RIB7_F_ROT"

| | |
|------------------|---|
| Eigenschaft | Wert |
| Typ | Erweitert |
| Referenzen | Punkt "PNT3" (RIB7_SHELL.PRT) Punkt "APNT0" (RIB7.ASM) |
| Federeigenschaft | Rib_Rot_var ⓘ |
| Orientierung | XYZ-Richtungen definiert vom Koordinatensystem : Koordinatensystem "CS1" (RIB7_SHELL.PRT) |

Federeigenschaften



Federeigenschaft "Rib_rot"

| | |
|-------------------------|--|
| Eigenschaft | Wert |
| Beschreibung | Rib rotation stiffness of CVJ according to Little et al. |
| Auto-Kopplung | Ja |
| Dehnsteifigkeit (K) | $1e+09 \quad 1e+09 \quad 245000 \quad [N / m] = 1e+12 \quad 1e+12 \quad 2.45e+08 \quad [g / sec^2]$ |
| Torsionssteifigkeit (T) | $4.167 \quad 4.167 \quad 6.706 \quad [m N / rad] = 4.167e+09 \quad 4.167e+09 \quad 6.706e+09 \quad [mm^2 g / (sec^2 rad)]$ |

Federeigenschaft "Rib_Rot_stiff"

| | |
|-------------------------|--|
| Eigenschaft | Wert |
| Auto-Kopplung | Ja |
| Dehnsteifigkeit (K) | $1e+09 \quad 1e+09 \quad 1e+09 \quad [N / m] = 1e+12 \quad 1e+12 \quad 1e+12 \quad [g / sec^2]$ |
| Torsionssteifigkeit (T) | $1e+09 \quad 1e+09 \quad 1e+09 \quad [m N / rad] = 1e+18 \quad 1e+18 \quad 1e+18 \quad [mm^2 g / (sec^2 rad)]$ |

Federeigenschaft "Rib_Rot_var"

| | |
|-------------------------|--|
| Eigenschaft | Wert |
| Auto-Kopplung | Ja |
| Dehnsteifigkeit (K) | $PRT_RIB_CV_TRANS_X \quad 1e+12 \quad 1e+12 \quad [N / mm] = 1e+15 \quad 1e+18 \quad 1e+18 \quad [g / sec^2]$ |
| Torsionssteifigkeit (T) | $PRT_RIB_CV_ROT_X \quad PRT_RIB_CV_ROT_Y \quad PRT_RIB_CV_ROT_Z \quad [mm N / deg] = 5.72958e+16 \quad 5.72958e+16 \quad 5.72958e+16 \quad [mm^2 g / (sec^2 rad)]$ |

Schalen



Schale "Shell1"

| | |
|----------------------|---|
| Eigenschaft | Wert |
| Typ | Erweitert |
| Referenzen | Fläche (RIB7_SHELL.PRT) Fläche (RIB7_SHELL.PRT) Fläche (RIB7_SHELL.PRT) Fläche (RIB7_SHELL.PRT) Fläche (RIB7_SHELL.PRT) Fläche (RIB7_SHELL.PRT) Fläche (RIB7_SHELL.PRT) |
| Schaleneigenschaft | Bone_cort ⓘ |
| Material | BONE_CORT_TRANSV_ISO |
| Materialorientierung | BONE_CORT ⓘ |

Schaleneigenschaften



Schaleneigenschaft "Bone_cort"

| | |
|-------------|----------|
| Eigenschaft | Wert |
| Typ | Homogen |
| Dicke | 0.7 [mm] |

Materialorientierungen



[Materialorientierung "BONE_CORT"](#)

| Eigenschaft | Wert |
|-------------|-------------------------------|
| Typ | Fläche |
| Relativ zu | Zweite parametrische Richtung |

Gewichtete Verbindungen



[Gewichtete Verbindung "RIB7_WL_ROT"](#)

| Eigenschaft | Wert |
|--|---|
| Referenzen der unabhängigen Seite | Fläche (RIB7_SHELL.PRT) Fläche (RIB7_SHELL.PRT) Fläche (RIB7_SHELL.PRT) |
| Koordinatensystem der unabhängigen Seite | Koordinatensystem "CS1" (RIB7_SHELL.PRT) |
| Translatorische Freiheitsgrade | x y z |
| Referenzen der abhängigen Seite | Punkt "PNT3" (RIB7_SHELL.PRT) |
| Koordinatensystem der abhängigen Seite | WCS (RIB7.ASM) |

Lasten/Randbedingungen



[Strukturmechanische Randbedingung "RIB7_P_RB_ROT"](#)

| Eigenschaft | Wert |
|-------------------|--|
| Typ | Verschiebung |
| Referenzen | Punkt "APNT0" (RIB7.ASM) |
| Koordinatensystem | Koordinatensystem "CS1" (RIB7_SHELL.PRT) |
| Verschiebung | X : Konstant Y : Konstant Z : Konstant |
| Rotation | X : Konstant Y : Konstant Z : Konstant |

Lastsätze/Randbedingungssätze



[Strukturmechanischer Randbedingungssatz "RIB_RB_ROT"](#)

| Eigenschaft | Wert |
|-----------------|---------------------------------|
| Randbedingungen | RIB7_P_RB_ROT ⓘ |

Materialien



Material "BONE_CORT_ISO_LI_ET_AL_09"

| Eigenschaft | Wert |
|-------------------------|---|
| Beschreibung | Transv. isotr. Mat.modell kort. Knochen |
| Struktureller Typ | Isotropes elasto-plastisches Material |
| Dichte | 2 [g / mm ³] |
| Materialmodell | Lineare Verfestigung |
| Tangentialem Modul | 1.15e+09 [Pa] |
| Thermische Entfestigung | 0 [C] |
| Streckgrenze | 8.8e+07 [Pa] |
| Versagenskriterien | Kein(e) |
| Wärmeausdehnung | 0 [C] |
| Thermischer Typ | Isotrop |
| Leitfähigkeit | 0 [mm g / (sec ³ C)] |
| Spezifische Wärme | 0 [mm ² /(sec ² C)] |

Material "BONE_CORT_TRANSV_ISO"

| Eigenschaft | Wert |
|----------------------|--|
| Beschreibung | Transv. isotr. Mat.modell kort. Knochen |
| Struktureller Typ | Transversal isotrop |
| Dichte | 2 [g / mm ³] |
| Elastizitätsmodul | [E1] : 1.17e+10 [Pa] [E2] : 7.9e+09 [Pa] [E3] : 7.9e+09 [Pa] |
| Querkontraktionszahl | |

| | |
|--------------------|--|
| | [Nu21] : 0.2 [Nu31] : 0.2 [Nu32] : 0.2 |
| Schubsteifigkeit | [G12] : 4.8e+09 [Pa] [G13] : 4.8e+09 [Pa] [G23] : 3.29167e+09 [Pa] |
| Versagenskriterien | Kein(e) |
| Wärmeausdehnung | [a1] : 0 [1/C] [a2] : 0 [1/C] [a3] : 0 [1/C] |
| Thermischer Typ | Isotrop |
| Leitfähigkeit | 0 [mm g / (sec^3 C)] |
| Spezifische Wärme | 0 [mm^2/(sec^2 C)] |

Simulationsmodell : RIB7_SHELL.PRT

In diesem Modell gibt es keine Simulationsobjekte.



Simulationsmodell : RIB8.ASM

Federn



Feder "RIB8_F_ROT"

| | |
|------------------|---|
| Eigenschaft | Wert |
| Typ | Erweitert |
| Referenzen | Punkt "PNT3" (RIB8_SHELL.PRT) Punkt "APNT0" (RIB8.ASM) |
| Federeigenschaft | Rib_Rot_var ⓘ |
| Orientierung | XYZ-Richtungen definiert vom Koordinatensystem : Koordinatensystem "CS1" (RIB8_SHELL.PRT) |

Federeigenschaften



Federeigenschaft "Rib_rot"

| | |
|-------------------------|--|
| Eigenschaft | Wert |
| Beschreibung | Rib rotation stiffness of CVJ according to Little et al. |
| Auto-Kopplung | Ja |
| Dehnsteifigkeit (K) | 1e+09 1e+09 245000 [N / m] = 1e+12 1e+12 2.45e+08 [g / sec^2] |
| Torsionssteifigkeit (T) | 4.167 4.167 6.706 [m N / rad] = 4.167e+09 4.167e+09 6.706e+09 [mm^2 g / (sec^2 rad)] |

Federeigenschaft "Rib_Rot_stiff"

| | |
|-------------------------|--|
| Eigenschaft | Wert |
| Auto-Kopplung | Ja |
| Dehnsteifigkeit (K) | 1e+09 1e+09 1e+09 [N / m] = 1e+12 1e+12 1e+12 [g / sec^2] |
| Torsionssteifigkeit (T) | 1e+09 1e+09 1e+09 [m N / rad] = 1e+18 1e+18 1e+18 [mm^2 g / (sec^2 rad)] |

Federeigenschaft "Rib_Rot_var"

| | |
|-------------------------|---|
| Eigenschaft | Wert |
| Auto-Kopplung | Ja |
| Dehnsteifigkeit (K) | PRT_RIB_CV_TRANS_X 1e+12 1e+12 [N / mm] = 1e+15 1e+18 1e+18 [g / sec^2] |
| Torsionssteifigkeit (T) | PRT_RIB_CV_ROT_X PRT_RIB_CV_ROT_Y PRT_RIB_CV_ROT_Z 5.72958e+16 5.72958e+16 [mm N / deg] = 5.72958e+16 5.72958e+16 [mm^2 g / (sec^2 rad)] |

Schalen



Schale "Shell1"

| | |
|-------------|---|
| Eigenschaft | Wert |
| Typ | Erweitert |
| Referenzen | Fläche (RIB8_SHELL.PRT) Fläche (RIB8_SHELL.PRT) Fläche (RIB8_SHELL.PRT) |

| | | |
|--|---|---|
| | Fläche (RIB8 SHELL.PRT) | |
| | Fläche (RIB8 SHELL.PRT) | |
| | Fläche (RIB8 SHELL.PRT) | |
| | Fläche (RIB8 SHELL.PRT) | |
| Schaleneigenschaft | Bone cort ⓘ | |
| Material | BONE_CORT_TRANSV_ISO | |
| Materialorientierung | BONE_CORT ⓘ | |
| | | |
| Schaleneigenschaften | | ↑ |
| Schaleneigenschaft "Bone cort" | | |
| Eigenschaft | | Wert |
| Typ | | Homogen |
| Dicke | | 0.7 [mm] |
| | | |
| Materialorientierungen | | ↑ |
| Materialorientierung "BONE_CORT" | | |
| Eigenschaft | | Wert |
| Typ | | Fläche |
| Relativ zu | | Zweite parametrische Richtung |
| | | |
| Gewichtete Verbindungen | | ↑ |
| Gewichtete Verbindung "RIB8_WL_ROT" | | |
| Eigenschaft | | Wert |
| Referenzen der unabhängigen Seite | | Fläche (RIB8 SHELL.PRT) Fläche (RIB8 SHELL.PRT) Fläche (RIB8 SHELL.PRT) |
| Koordinatensystem der unabhängigen Seite | | Koordinatensystem "CS1" (RIB8 SHELL.PRT) |
| Translatorische Freiheitsgrade | | x y z |
| Referenzen der abhängigen Seite | | Punkt "PNT3" (RIB8 SHELL.PRT) |
| Koordinatensystem der abhängigen Seite | | WCS (RIB8.ASM) |
| | | |
| Lasten/Randbedingungen | | ↑ |
| Strukturmechanische Randbedingung "RIB8_P_RB_ROT" | | |
| Eigenschaft | | Wert |
| Typ | | Verschiebung |
| Referenzen | | Punkt "APNT0" (RIB8.ASM) |
| Koordinatensystem | | Koordinatensystem "CS1" (RIB8 SHELL.PRT) |
| Verschiebung | | X : Konstant Y : Konstant Z : Konstant |
| Rotation | | X : Konstant Y : Konstant Z : Konstant |
| | | |
| Lastsätze/Randbedingungssätze | | ↑ |
| Strukturmechanischer Randbedingungssatz "RIB_RB_ROT" | | |
| Eigenschaft | | Wert |
| Randbedingungen | | RIB8_P_RB_ROT ⓘ |
| | | |
| Materialien | | ↑ |
| Material "BONE_CORT_ISO_LI_ET_AL_09" | | |
| Eigenschaft | | Wert |
| Beschreibung | | Transv. isotr. Mat.modell kort. Knochen |
| Struktureller Typ | | Isotropes elasto-plastisches Material |
| Dichte | | 2 [g / mm^3] |
| Materialmodell | | Lineare Verfestigung |
| Tangentialer Modul | | 1.15e+09 [Pa] |
| Thermische Entfestigung | | 0 [C] |
| Streckgrenze | | 8.8e+07 [Pa] |
| Versagenskriterien | | Kein(e) |

| | |
|-------------------|----------------------|
| Wärmeausdehnung | 0 [1/C] |
| Thermischer Typ | Isotrop |
| Leitfähigkeit | 0 [mm g / (sec^3 C)] |
| Spezifische Wärme | 0 [mm^2/(sec^2 C)] |

Material "BONE_CORT_TRANSV_ISO"

| Eigenschaft | Wert |
|----------------------|--|
| Beschreibung | Transv. isotr. Mat.modell kort. Knochen |
| Struktureller Typ | Transversal isotrop |
| Dichte | 2 [g / mm^3] |
| Elastizitätsmodul | [E1] : 1.17e+10 [Pa] [E2] : 7.9e+09 [Pa] [E3] : 7.9e+09 [Pa] |
| Querkontraktionszahl | [Nu21] : 0.2 [Nu31] : 0.2 [Nu32] : 0.2 |
| Schubsteifigkeit | [G12] : 4.8e+09 [Pa] [G13] : 4.8e+09 [Pa] [G23] : 3.29167e+09 [Pa] |
| Versagenskriterien | Kein(e) |
| Wärmeausdehnung | [a1] : 0 [1/C] [a2] : 0 [1/C] [a3] : 0 [1/C] |
| Thermischer Typ | Isotrop |
| Leitfähigkeit | 0 [mm g / (sec^3 C)] |
| Spezifische Wärme | 0 [mm^2/(sec^2 C)] |

Simulationsmodell : RIB8_SHELL.PRT

In diesem Modell gibt es keine Simulationsobjekte.



Simulationsmodell : RIB9.ASM

Federn



Feder "RIB9_F_ROT"

| | |
|------------------|---|
| Eigenschaft | Wert |
| Typ | Erweitert |
| Referenzen | Punkt "PNT3" (RIB9_SHELL.PRT) Punkt "APNT0" (RIB9.ASM) |
| Federeigenschaft | Rib_Rot_var ⓘ |
| Orientierung | XYZ-Richtungen definiert vom Koordinatensystem : Koordinatensystem "CS1" (RIB9_SHELL.PRT) |

Federeigenschaften



Federeigenschaft "Rib_rot"

| | |
|-------------------------|--|
| Eigenschaft | Wert |
| Beschreibung | Rib rotation stiffness of CVJ according to Little et al. |
| Auto-Kopplung | Ja |
| Dehnsteifigkeit (K) | 1e+09 1e+09 245000 [N / m] = 1e+12 1e+12 2.45e+08 [g / sec^2] |
| Torsionssteifigkeit (T) | 4.167 4.167 6.706 [m N / rad] = 4.167e+09 4.167e+09 6.706e+09 [mm^2 g / (sec^2 rad)] |

Federeigenschaft "Rib_Rot_stiff"

| | |
|-------------------------|--|
| Eigenschaft | Wert |
| Auto-Kopplung | Ja |
| Dehnsteifigkeit (K) | 1e+09 1e+09 1e+09 [N / m] = 1e+12 1e+12 1e+12 [g / sec^2] |
| Torsionssteifigkeit (T) | 1e+09 1e+09 1e+09 [m N / rad] = 1e+18 1e+18 1e+18 [mm^2 g / (sec^2 rad)] |

Federeigenschaft "Rib_Rot_var"

| | |
|---------------------|--------------------------------------|
| Eigenschaft | Wert |
| Auto-Kopplung | Ja |
| Dehnsteifigkeit (K) | PRT_RIB_CV_TRANS_X = 1e+15 |

$$\begin{matrix}
 & 1e+12 & & 1e+18 & & \\
 & 1e+12 & \text{[N / mm]} & 1e+18 & \text{[g / sec^2]} & \\
 \text{Torsionssteifigkeit (T)} & \text{PRT_RIB_CV_ROT_X} & & \text{PRT_RIB_CV_ROT_Y} & = & 5.72958e+16 \\
 & & & \text{PRT_RIB_CV_ROT_Z} & & 5.72958e+16 \\
 & & & \text{[mm N / deg]} & & 5.72958e+16 \text{ [mm^2 g / (sec^2 rad)]}
 \end{matrix}$$

Schalen



[Schale "Shell1"](#)

| | |
|----------------------|---|
| Eigenschaft | Wert |
| Typ | Erweitert |
| Referenzen | Fläche (RIB9_SHELL.PRT) Fläche (RIB9_SHELL.PRT) Fläche (RIB9_SHELL.PRT) Fläche (RIB9_SHELL.PRT) Fläche (RIB9_SHELL.PRT) Fläche (RIB9_SHELL.PRT) Fläche (RIB9_SHELL.PRT) |
| Schaleneigenschaft | Bone_cort ⓘ |
| Material | BONE_CORT_TRANSV_ISO |
| Materialorientierung | BONE_CORT ⓘ |

Schaleneigenschaften



[Schaleneigenschaft "Bone_cort"](#)

| | |
|-------------|----------|
| Eigenschaft | Wert |
| Typ | Homogen |
| Dicke | 0.7 [mm] |

Materialorientierungen



[Materialorientierung "BONE_CORT"](#)

| | |
|-------------|-------------------------------|
| Eigenschaft | Wert |
| Typ | Fläche |
| Relativ zu | Zweite parametrische Richtung |

Gewichtete Verbindungen



[Gewichtete Verbindung "RIB9_WL_ROT"](#)

| | |
|--|---|
| Eigenschaft | Wert |
| Referenzen der unabhängigen Seite | Fläche (RIB9_SHELL.PRT) Fläche (RIB9_SHELL.PRT) Fläche (RIB9_SHELL.PRT) |
| Koordinatensystem der unabhängigen Seite | Koordinatensystem "CS1" (RIB9_SHELL.PRT) |
| Translatorische Freiheitsgrade | x y z |
| Referenzen der abhängigen Seite | Punkt "PNT3" (RIB9_SHELL.PRT) |
| Koordinatensystem der abhängigen Seite | WCS (RIB9.ASM) |

Lasten/Randbedingungen



[Strukturmechanische Randbedingung "RIB9_P_RB_ROT"](#)

| | |
|-------------------|--|
| Eigenschaft | Wert |
| Typ | Verschiebung |
| Referenzen | Punkt "APNT0" (RIB9.ASM) |
| Koordinatensystem | Koordinatensystem "CS1" (RIB9_SHELL.PRT) |
| Verschiebung | X : Konstant Y : Konstant Z : Konstant |
| Rotation | X : Konstant Y : Konstant Z : Konstant |

Lastsätze/Randbedingungssätze



[Strukturmechanischer Randbedingungssatz "RIB_RB_ROT"](#)

| | |
|-----------------|---------------------------------|
| Eigenschaft | Wert |
| Randbedingungen | RIB9_P_RB_ROT ⓘ |

Materialien



Material "BONE_CORT_ISO_LI_ET_AL_09"

| Eigenschaft | Wert |
|-------------------------|---|
| Beschreibung | Transv. isotr. Mat.modell kort. Knochen |
| Struktureller Typ | Isotropes elasto-plastisches Material |
| Dichte | 2 [g / mm^3] |
| Materialmodell | Lineare Verfestigung |
| Tangentialem Modul | 1.15e+09 [Pa] |
| Thermische Entfestigung | 0 [C] |
| Streckgrenze | 8.8e+07 [Pa] |
| Versagenskriterien | Kein(e) |
| Wärmeausdehnung | 0 [C] |
| Thermischer Typ | Isotrop |
| Leitfähigkeit | 0 [mm g / (sec^3 C)] |
| Spezifische Wärme | 0 [mm^2/(sec^2 C)] |

Material "BONE_CORT_TRANSV_ISO"

| Eigenschaft | Wert |
|----------------------|--|
| Beschreibung | Transv. isotr. Mat.modell kort. Knochen |
| Struktureller Typ | Transversal isotrop |
| Dichte | 2 [g / mm^3] |
| Elastizitätsmodul | [E1] : 1.17e+10 [Pa] [E2] : 7.9e+09 [Pa] [E3] : 7.9e+09 [Pa] |
| Querkontraktionszahl | [Nu21] : 0.2 [Nu31] : 0.2 [Nu32] : 0.2 |
| Schubsteifigkeit | [G12] : 4.8e+09 [Pa] [G13] : 4.8e+09 [Pa] [G23] : 3.29167e+09 [Pa] |
| Versagenskriterien | Kein(e) |
| Wärmeausdehnung | [a1] : 0 [C] [a2] : 0 [C] [a3] : 0 [C] |
| Thermischer Typ | Isotrop |
| Leitfähigkeit | 0 [mm g / (sec^3 C)] |
| Spezifische Wärme | 0 [mm^2/(sec^2 C)] |

Simulationsmodell : RIB9_SHELL.PRT

In diesem Modell gibt es keine Simulationsobjekte.



Simulationsmodell : RIB10.ASM

Federn



[Feder "RIB10_F_ROT"](#)

| Eigenschaft | Wert |
|------------------|--|
| Typ | Erweitert |
| Referenzen | Punkt "PNT3" (RIB10_SHELL.PRT) Punkt "APNT0" (RIB10.ASM) |
| Federeigenschaft | Rib_Rot_var ⓘ |
| Orientierung | XYZ-Richtungen definiert vom Koordinatensystem : Koordinatensystem "CS1" (RIB10_SHELL.PRT) |

Federeigenschaften



[Federeigenschaft "Rib_rot"](#)

| Eigenschaft | Wert |
|-------------------------|--|
| Beschreibung | Rib rotation stiffness of CVJ according to Little et al. |
| Auto-Kopplung | Ja |
| Dehnsteifigkeit (K) | $1e+09 \quad 1e+09 \quad 245000 \quad [N / m] = \quad 1e+12 \quad 1e+12 \quad 2.45e+08 \quad [g / sec^2]$ |
| Torsionssteifigkeit (T) | $4.167 \quad 4.167 \quad 6.706 \quad [m N / rad] = \quad 4.167e+09 \quad 4.167e+09 \quad 6.706e+09 \quad [mm^2 g / (sec^2 rad)]$ |

Federeigenschaft "Rib Rot stiff"

| Eigenschaft | Wert |
|-------------------------|--|
| Auto-Kopplung | Ja |
| Dehnsteifigkeit (K) | $1e+09 \cdot 1e+09 \cdot 1e+09 \text{ [N / m]} = 1e+12 \cdot 1e+12 \cdot 1e+12 \text{ [g / sec}^2\text{]}$ |
| Torsionssteifigkeit (T) | $1e+09 \cdot 1e+09 \cdot 1e+09 \text{ [m N / rad]} = 1e+18 \cdot 1e+18 \cdot 1e+18 \text{ [mm}^2\text{ g / (sec}^2\text{ rad)]}$ |

Federeigenschaft "Rib Rot var"

| Eigenschaft | Wert |
|-------------------------|--|
| Auto-Kopplung | Ja |
| Dehnsteifigkeit (K) | $1e+12 \cdot 1e+12 \text{ [N / mm]} = 1e+15 \cdot 1e+18 \text{ [g / sec}^2\text{]}$ |
| Torsionssteifigkeit (T) | $5.72958e+16 \cdot 5.72958e+16 \cdot 5.72958e+16 \text{ [mm}^2\text{ g / (sec}^2\text{ rad)]}$ |

Schalen



Schale "Shell1"

| Eigenschaft | Wert |
|----------------------|--|
| Typ | Erweitert |
| Referenzen | Fläche (RIB10_SHELL.PRT) Fläche (RIB10_SHELL.PRT) Fläche (RIB10_SHELL.PRT) Fläche (RIB10_SHELL.PRT) Fläche (RIB10_SHELL.PRT) Fläche (RIB10_SHELL.PRT) Fläche (RIB10_SHELL.PRT) |
| Schaleneigenschaft | Bone cort |
| Material | BONE_CORT_TRANSV_ISO |
| Materialorientierung | BONE_CORT |

Schaleneigenschaften



Schaleneigenschaft "Bone cort"

| Eigenschaft | Wert |
|-------------|----------|
| Typ | Homogen |
| Dicke | 0.7 [mm] |

Materialorientierungen



Materialorientierung "BONE_CORT"

| Eigenschaft | Wert |
|-------------|-------------------------------|
| Typ | Fläche |
| Relativ zu | Zweite parametrische Richtung |

Gewichtete Verbindungen



Gewichtete Verbindung "RIB10_WL_ROT"

| Eigenschaft | Wert |
|--|--|
| Referenzen der unabhängigen Seite | Fläche (RIB10_SHELL.PRT) Fläche (RIB10_SHELL.PRT) Fläche (RIB10_SHELL.PRT) |
| Koordinatensystem der unabhängigen Seite | Koordinatensystem "CS1" (RIB10_SHELL.PRT) |
| Translatorische Freiheitsgrade | x y z |
| Referenzen der abhängigen Seite | Punkt "PNT3" (RIB10_SHELL.PRT) |
| Koordinatensystem der abhängigen Seite | WCS (RIB10.ASM) |

Lasten/Randbedingungen



Strukturmechanische Randbedingung "RIB10_P_RB_ROT"

| Eigenschaft | Wert |
|-------------|---|
| Typ | Verschiebung |
| Referenzen | Punkt "APNT0" (RIB10.ASM) |

| | |
|-------------------|---|
| Koordinatensystem | Koordinatensystem "CS1" (RIB10_SHELL.PRT) |
| Verschiebung | X : Konstant Y : Konstant Z : Konstant |
| Rotation | X : Konstant Y : Konstant Z : Konstant |

Lastsätze/Randbedingungssätze



[Strukturmechanischer Randbedingungssatz "RIB_RB_ROT"](#)

| | |
|-----------------|----------------------------------|
| Eigenschaft | Wert |
| Randbedingungen | RIB10_P_RB_ROT ⓘ |

Materialien



Material "BONE_CORT_ISO_LI_ET_AL_09"

| | |
|-------------------------|---|
| Eigenschaft | Wert |
| Beschreibung | Transv. isotr. Mat.modell kort. Knochen |
| Struktureller Typ | Isotropes elasto-plastisches Material |
| Dichte | 2 [g / mm ³] |
| Materialmodell | Lineare Verfestigung |
| Tangentialem Modul | 1.15e+09 [Pa] |
| Thermische Entfestigung | 0 [°C] |
| Streckgrenze | 8.8e+07 [Pa] |
| Versagenskriterien | Kein(e) |
| Wärmeausdehnung | 0 [°C] |
| Thermischer Typ | Isotrop |
| Leitfähigkeit | 0 [mm g / (sec ³ C)] |
| Spezifische Wärme | 0 [mm ² /(sec ² C)] |

Material "BONE_CORT_TRANSV_ISO"

| | |
|----------------------|--|
| Eigenschaft | Wert |
| Beschreibung | Transv. isotr. Mat.modell kort. Knochen |
| Struktureller Typ | Transversal isotrop |
| Dichte | 2 [g / mm ³] |
| Elastizitätsmodul | [E1] : 1.17e+10 [Pa] [E2] : 7.9e+09 [Pa] [E3] : 7.9e+09 [Pa] |
| Querkontraktionszahl | [Nu21] : 0.2 [Nu31] : 0.2 [Nu32] : 0.2 |
| Schubsteifigkeit | [G12] : 4.8e+09 [Pa] [G13] : 4.8e+09 [Pa] [G23] : 3.29167e+09 [Pa] |
| Versagenskriterien | Kein(e) |
| Wärmeausdehnung | [a1] : 0 [°C] [a2] : 0 [°C] [a3] : 0 [°C] |
| Thermischer Typ | Isotrop |
| Leitfähigkeit | 0 [mm g / (sec ³ C)] |
| Spezifische Wärme | 0 [mm ² /(sec ² C)] |

Simulationsmodell : RIB10_SHELL.PRT

In diesem Modell gibt es keine Simulationsobjekte.



Simulationsmodell : RIB1_SPG.ASM

Federn



[Feder "RIB1_SPG_F_ROT"](#)

| | |
|------------------|---|
| Eigenschaft | Wert |
| Typ | Erweitert |
| Referenzen | Punkt "PNT4" (RIB1_SHELL_SPG.PRT) Punkt "APNT0" (RIB1_SPG.ASM) |
| Federeigenschaft | Rib_Rot_var ⓘ |
| Orientierung | XYZ-Richtungen definiert vom Koordinatensystem : Koordinatensystem "CS1" (RIB1_SHELL_SPG.PRT) |

Federeigenschaften



Federeigenschaft "Rib_Rot_var"

| Eigenschaft | Wert |
|-------------------------|---|
| Auto-Kopplung | Ja |
| Dehnsteifigkeit (K) | $\frac{PRT_RIB_CV_TRANS_X}{1e+12} = \frac{1e+15}{1e+12} \cdot \frac{1e+18}{1e+12} \text{ [g / sec}^2\text{]}$ |
| Torsionssteifigkeit (T) | $\frac{PRT_RIB_CV_ROT_X}{1e+12} = \frac{1e+15}{1e+12} \cdot \frac{1e+15}{1e+12} \text{ [mm}^2\text{ g / (sec}^2\text{ rad)]}$ |

Federeigenschaft "Rib_rot"

| Eigenschaft | Wert |
|-------------------------|--|
| Beschreibung | Rib rotation stiffness of CVJ according to Little et al. |
| Auto-Kopplung | Ja |
| Dehnsteifigkeit (K) | $\frac{1e+09}{1e+09} = \frac{1e+12}{245000} \cdot \frac{1e+12}{2.45e+08} \text{ [g / sec}^2\text{]}$ |
| Torsionssteifigkeit (T) | $\frac{4.167}{4.167} = \frac{4.167e+09}{6.706} \cdot \frac{4.167e+09}{6.706e+09} \text{ [mm}^2\text{ g / (sec}^2\text{ rad)]}$ |

Federeigenschaft "Rib_Rot_stiff"

| Eigenschaft | Wert |
|-------------------------|--|
| Auto-Kopplung | Ja |
| Dehnsteifigkeit (K) | $\frac{1e+09}{1e+09} = \frac{1e+12}{1e+09} \cdot \frac{1e+12}{1e+12} \text{ [g / sec}^2\text{]}$ |
| Torsionssteifigkeit (T) | $\frac{238.751}{238.751} = \frac{2.38751e+11}{384.226} \cdot \frac{2.38751e+11}{3.84226e+11} \text{ [mm}^2\text{ g / (sec}^2\text{ rad)]}$ |

Schalen



Schale "Shell1"

| Eigenschaft | Wert |
|----------------------|--|
| Typ | Erweitert |
| Referenzen | Fläche (RIB1_SHELL_SPG.PRT) Fläche (RIB1_SHELL_SPG.PRT) Fläche (RIB1_SHELL_SPG.PRT) Fläche (RIB1_SHELL_SPG.PRT) Fläche (RIB1_SHELL_SPG.PRT) Fläche (RIB1_SHELL_SPG.PRT) |
| Schaleneigenschaft | Bone_cort |
| Material | BONE_CORT_TRANSV_ISO |
| Materialorientierung | BONE_CORT |

Schaleneigenschaften



Schaleneigenschaft "Bone_cort"

| Eigenschaft | Wert |
|-------------|----------|
| Typ | Homogen |
| Dicke | 0.7 [mm] |

Materialorientierungen



Materialorientierung "BONE_CORT"

| Eigenschaft | Wert |
|-------------|-------------------------------|
| Typ | Fläche |
| Relativ zu | Zweite parametrische Richtung |

Gewichtete Verbindungen



Gewichtete Verbindung "RIB1_SPG_WL_ROT"

| Eigenschaft | Wert |
|-----------------------------------|---|
| Referenzen der unabhängigen Seite | Fläche (RIB1_SHELL_SPG.PRT) Fläche (RIB1_SHELL_SPG.PRT) Fläche (RIB1_SHELL_SPG.PRT) |

| | |
|--|--|
| Koordinatensystem der unabhängigen Seite | Koordinatensystem "CS1" (RIB1_SHELL_SPG.PRT) |
| Translatorische Freiheitsgrade | x y z |
| Referenzen der abhängigen Seite | Punkt "PNT4" (RIB1_SHELL_SPG.PRT) |
| Koordinatensystem der abhängigen Seite | WCS (RIB1_SPG.ASM) |

Lasten/Randbedingungen 

[Strukturmechanische Randbedingung "RIB1_SPG_P_RB_ROT"](#)

| Eigenschaft | Wert |
|-------------------|--|
| Typ | Verschiebung |
| Referenzen | Punkt "APNT0" (RIB1_SPG.ASM) |
| Koordinatensystem | Koordinatensystem "CS1" (RIB1_SHELL_SPG.PRT) |
| Verschiebung | X : Konstant Y : Konstant Z : Konstant |
| Rotation | X : Konstant Y : Konstant Z : Konstant |

Lastsätze/Randbedingungssätze 

[Strukturmechanischer Randbedingungssatz "RIB_RB_ROT"](#)

| Eigenschaft | Wert |
|-----------------|-------------------------------------|
| Randbedingungen | RIB1_SPG_P_RB_ROT ⓘ |

Materialien 

Material "BONE_CORT_ISO_LI_ET_AL_09"

| Eigenschaft | Wert |
|-------------------------|---|
| Beschreibung | Transv. isotr. Mat.modell kort. Knochen |
| Struktureller Typ | Isotropes elasto-plastisches Material |
| Dichte | 2 [g / mm ³] |
| Materialmodell | Lineare Verfestigung |
| Tangentialem Modul | 1.15e+09 [Pa] |
| Thermische Entfestigung | 0 [°C] |
| Streckgrenze | 8.8e+07 [Pa] |
| Versagenskriterien | Kein(e) |
| Wärmeausdehnung | 0 [°C] |
| Thermischer Typ | Isotrop |
| Leitfähigkeit | 0 [mm g / (sec ³ C)] |
| Spezifische Wärme | 0 [mm ² /(sec ² C)] |

Material "BONE_CORT_TRANSV_ISO"

| Eigenschaft | Wert |
|----------------------|--|
| Beschreibung | Transv. isotr. Mat.modell kort. Knochen |
| Struktureller Typ | Transversal isotrop |
| Dichte | 2 [g / mm ³] |
| Elastizitätsmodul | [E1] : 1.17e+10 [Pa] [E2] : 7.9e+09 [Pa] [E3] : 7.9e+09 [Pa] |
| Querkontraktionszahl | [Nu21] : 0.2 [Nu31] : 0.2 [Nu32] : 0.2 |
| Schubsteifigkeit | [G12] : 4.8e+09 [Pa] [G13] : 4.8e+09 [Pa] [G23] : 3.29167e+09 [Pa] |
| Versagenskriterien | Kein(e) |
| Wärmeausdehnung | [a1] : 0 [°C] [a2] : 0 [°C] [a3] : 0 [°C] |
| Thermischer Typ | Isotrop |
| Leitfähigkeit | 0 [mm g / (sec ³ C)] |
| Spezifische Wärme | 0 [mm ² /(sec ² C)] |

Simulationsmodell : RIB1_SHELL_SPG.PRT

In diesem Modell gibt es keine Simulationsobjekte. 

Simulationsmodell : RIB2_SPG.ASM

Federn



Feder "RIB2_SPG_F_ROT"

| | |
|------------------|---|
| Eigenschaft | Wert |
| Typ | Erweitert |
| Referenzen | Punkt "PNT4" (RIB2_SHELL_SPG.PRT) Punkt "APNT0" (RIB2_SPG.ASM) |
| Federeigenschaft | Rib Rot var ⓘ |
| Orientierung | XYZ-Richtungen definiert vom Koordinatensystem : Koordinatensystem "CS1" (RIB2_SHELL_SPG.PRT) |

Federeigenschaften



Federeigenschaft "Rib rot"

| | |
|-------------------------|--|
| Eigenschaft | Wert |
| Beschreibung | Rib rotation stiffness of CVJ according to Little et al. |
| Auto-Kopplung | Ja |
| Dehnsteifigkeit (K) | $1e+09 \quad 1e+09 \quad 245000 \quad [N / m] = 1e+12 \quad 1e+12 \quad 2.45e+08 \quad [g / sec^2]$ |
| Torsionssteifigkeit (T) | $4.167 \quad 4.167 \quad 6.706 \quad [m N / rad] = 4.167e+09 \quad 4.167e+09 \quad 6.706e+09 \quad [mm^2 g / (sec^2 rad)]$ |

Federeigenschaft "Rib Rot stiff"

| | |
|-------------------------|--|
| Eigenschaft | Wert |
| Auto-Kopplung | Ja |
| Dehnsteifigkeit (K) | $1e+09 \quad 1e+09 \quad 1e+09 \quad [N / m] = 1e+12 \quad 1e+12 \quad 1e+12 \quad [g / sec^2]$ |
| Torsionssteifigkeit (T) | $238.751 \quad 238.751 \quad 384.226 \quad [m N / rad] = 2.38751e+11 \quad 2.38751e+11 \quad 3.84226e+11 \quad [mm^2 g / (sec^2 rad)]$ |

Federeigenschaft "Rib Rot var"

| | |
|-------------------------|--|
| Eigenschaft | Wert |
| Auto-Kopplung | Ja |
| Dehnsteifigkeit (K) | $PRT_RIB_CV_TRANS_X \quad 1e+12 \quad 1e+12 \quad [N / mm] = 1e+15 \quad 1e+18 \quad 1e+18 \quad [g / sec^2]$ |
| Torsionssteifigkeit (T) | $PRT_RIB_CV_ROT_X \quad PRT_RIB_CV_ROT_Y \quad PRT_RIB_CV_ROT_Z \quad [mm N / deg] = 5.72958e+16 \quad 5.72958e+16 \quad 5.72958e+16 \quad [mm^2 g / (sec^2 rad)]$ |

Schalen



Schale "Shell1"

| | |
|----------------------|--|
| Eigenschaft | Wert |
| Typ | Erweitert |
| Referenzen | Fläche (RIB2_SHELL_SPG.PRT) Fläche (RIB2_SHELL_SPG.PRT) Fläche (RIB2_SHELL_SPG.PRT) Fläche (RIB2_SHELL_SPG.PRT) Fläche (RIB2_SHELL_SPG.PRT) Fläche (RIB2_SHELL_SPG.PRT) |
| Schaleneigenschaft | Bone cort ⓘ |
| Material | BONE_CORT_TRANSV_ISO |
| Materialorientierung | BONE_CORT ⓘ |

Schaleneigenschaften



Schaleneigenschaft "Bone cort"

| | |
|-------------|----------|
| Eigenschaft | Wert |
| Typ | Homogen |
| Dicke | 0.7 [mm] |

Materialorientierungen



[Materialorientierung "BONE_CORT"](#)

| | |
|-------------|-------------------------------|
| Eigenschaft | Wert |
| Typ | Fläche |
| Relativ zu | Zweite parametrische Richtung |

Gewichtete Verbindungen



[Gewichtete Verbindung "RIB2_SPG_WL_ROT"](#)

| | |
|--|---|
| Eigenschaft | Wert |
| Referenzen der unabhängigen Seite | Fläche (RIB2_SHELL_SPG.PRT) Fläche (RIB2_SHELL_SPG.PRT) Fläche (RIB2_SHELL_SPG.PRT) |
| Koordinatensystem der unabhängigen Seite | Koordinatensystem "CS1" (RIB2_SHELL_SPG.PRT) |
| Translatorische Freiheitsgrade | x y z |
| Referenzen der abhängigen Seite | Punkt "PNT4" (RIB2_SHELL_SPG.PRT) |
| Koordinatensystem der abhängigen Seite | WCS (RIB2_SPG.ASM) |

Lasten/Randbedingungen



[Strukturmechanische Randbedingung "RIB2_SPG_P_RB_ROT"](#)

| | |
|-------------------|--|
| Eigenschaft | Wert |
| Typ | Verschiebung |
| Referenzen | Punkt "APNT0" (RIB2_SPG.ASM) |
| Koordinatensystem | Koordinatensystem "CS1" (RIB2_SHELL_SPG.PRT) |
| Verschiebung | X : Konstant Y : Konstant Z : Konstant |
| Rotation | X : Konstant Y : Konstant Z : Konstant |

Lastsätze/Randbedingungssätze



[Strukturmechanischer Randbedingungssatz "RIB_RB_ROT"](#)

| | |
|-----------------|-------------------------------------|
| Eigenschaft | Wert |
| Randbedingungen | RIB2_SPG_P_RB_ROT ⓘ |

Materialien



Material "BONE_CORT_ISO_LI_ET_AL_09"

| | |
|-------------------------|---|
| Eigenschaft | Wert |
| Beschreibung | Transv. isotr. Mat.modell kort. Knochen |
| Struktureller Typ | Isotropes elasto-plastisches Material |
| Dichte | 2 [g / mm ³] |
| Materialmodell | Lineare Verfestigung |
| Tangentialer Modul | 1.15e+09 [Pa] |
| Thermische Entfestigung | 0 [°C] |
| Streckgrenze | 8.8e+07 [Pa] |
| Versagenskriterien | Kein(e) |
| Wärmeausdehnung | 0 [°C] |
| Thermischer Typ | Isotrop |
| Leitfähigkeit | 0 [mm g / (sec ³ C)] |
| Spezifische Wärme | 0 [mm ² /(sec ² C)] |

Material "BONE_CORT_TRANSV_ISO"

| | |
|----------------------|--|
| Eigenschaft | Wert |
| Beschreibung | Transv. isotr. Mat.modell kort. Knochen |
| Struktureller Typ | Transversal isotrop |
| Dichte | 2 [g / mm ³] |
| Elastizitätsmodul | [E1] : 1.17e+10 [Pa] [E2] : 7.9e+09 [Pa] [E3] : 7.9e+09 [Pa] |
| Querkontraktionszahl | [Nu21] : 0.2 [Nu31] : 0.2 [Nu32] : 0.2 |
| Schubsteifigkeit | |

| | |
|--------------------|--|
| | [G12] : 4.8e+09 [Pa] [G13] : 4.8e+09 [Pa] [G23] : 3.29167e+09 [Pa] |
| Versagenskriterien | Kein(e) |
| Wärmeausdehnung | [a1] : 0 [1/C] [a2] : 0 [1/C] [a3] : 0 [1/C] |
| Thermischer Typ | Isotrop |
| Leitfähigkeit | 0 [mm g / (sec^3 C)] |
| Spezifische Wärme | 0 [mm^2/(sec^2 C)] |

Simulationsmodell : RIB2_SHELL_SPG.PRT

In diesem Modell gibt es keine Simulationsobjekte.



Simulationsmodell : RIB3_SPG.ASM

Federn



Feder "RIB3_SPG_F_ROT"

| | |
|------------------|---|
| Eigenschaft | Wert |
| Typ | Erweitert |
| Referenzen | Punkt "PNT4" (RIB3_SHELL_SPG.PRT) Punkt "APNT0" (RIB3_SPG.ASM) |
| Federeigenschaft | Rib_Rot_var ⓘ |
| Orientierung | XYZ-Richtungen definiert vom Koordinatensystem : Koordinatensystem "CS1" (RIB3_SHELL_SPG.PRT) |

Federeigenschaften



Federeigenschaft "Rib_rot"

| | |
|-------------------------|--|
| Eigenschaft | Wert |
| Beschreibung | Rib rotation stiffness of CVJ according to Little et al. |
| Auto-Kopplung | Ja |
| Dehnsteifigkeit (K) | 1e+09 1e+09 = 1e+12 1e+12 245000 [N / m] = 2.45e+08 [g / sec^2] |
| Torsionssteifigkeit (T) | 4.167 4.167 6.706 [m N / rad] = 4.167e+09 4.167e+09 6.706e+09 [mm^2 g / (sec^2 rad)] |

Federeigenschaft "Rib_Rot_stiff"

| | |
|-------------------------|--|
| Eigenschaft | Wert |
| Auto-Kopplung | Ja |
| Dehnsteifigkeit (K) | 1e+09 1e+09 1e+09 [N / m] = 1e+12 1e+12 1e+12 [g / sec^2] |
| Torsionssteifigkeit (T) | 238.751 238.751 384.226 [m N / rad] = 2.38751e+11 2.38751e+11 3.84226e+11 [mm^2 g / (sec^2 rad)] |

Federeigenschaft "Rib_Rot_var"

| | |
|-------------------------|--|
| Eigenschaft | Wert |
| Auto-Kopplung | Ja |
| Dehnsteifigkeit (K) | PRT_RIB_CV_TRANS_X 1e+12 1e+12 [N / mm] = 1e+15 1e+18 1e+18 [g / sec^2] |
| Torsionssteifigkeit (T) | PRT_RIB_CV_ROT_X PRT_RIB_CV_ROT_Y PRT_RIB_CV_ROT_Z [mm N / deg] = 5.72958e+16 5.72958e+16 5.72958e+16 [mm^2 g / (sec^2 rad)] |

Schalen



Schale "Shell1"

| | |
|-------------|---|
| Eigenschaft | Wert |
| Typ | Erweitert |
| Referenzen | Fläche (RIB3_SHELL_SPG.PRT) Fläche (RIB3_SHELL_SPG.PRT) Fläche (RIB3_SHELL_SPG.PRT) Fläche (RIB3_SHELL_SPG.PRT) Fläche (RIB3_SHELL_SPG.PRT) Fläche (RIB3_SHELL_SPG.PRT) Fläche (RIB3_SHELL_SPG.PRT) |

| | |
|----------------------|-----------------------------|
| Schaleneigenschaft | Bone_cort ⓘ |
| Material | BONE_CORT_TRANSV_ISO |
| Materialorientierung | BONE_CORT ⓘ |

Schaleneigenschaften ↑

[Schaleneigenschaft "Bone_cort"](#)

| | |
|-------------|----------|
| Eigenschaft | Wert |
| Typ | Homogen |
| Dicke | 0.7 [mm] |

Materialorientierungen ↑

[Materialorientierung "BONE_CORT"](#)

| | |
|-------------|-------------------------------|
| Eigenschaft | Wert |
| Typ | Fläche |
| Relativ zu | Zweite parametrische Richtung |

Gewichtete Verbindungen ↑

[Gewichtete Verbindung "RIB3_SPG_WL_ROT"](#)

| | |
|--|---|
| Eigenschaft | Wert |
| Referenzen der unabhängigen Seite | Fläche (RIB3_SHELL_SPG.PRT) Fläche (RIB3_SHELL_SPG.PRT) Fläche (RIB3_SHELL_SPG.PRT) |
| Koordinatensystem der unabhängigen Seite | Koordinatensystem "CS1" (RIB3_SHELL_SPG.PRT) |
| Translatorische Freiheitsgrade | x y z |
| Referenzen der abhängigen Seite | Punkt "PNT4" (RIB3_SHELL_SPG.PRT) |
| Koordinatensystem der abhängigen Seite | WCS (RIB3_SPG.ASM) |

Lasten/Randbedingungen ↑

[Strukturmechanische Randbedingung "RIB3_SPG_P_RB_ROT"](#)

| | |
|-------------------|--|
| Eigenschaft | Wert |
| Typ | Verschiebung |
| Referenzen | Punkt "APNT0" (RIB3_SPG.ASM) |
| Koordinatensystem | Koordinatensystem "CS1" (RIB3_SHELL_SPG.PRT) |
| Verschiebung | X : Konstant Y : Konstant Z : Konstant |
| Rotation | X : Konstant Y : Konstant Z : Konstant |

Lastsätze/Randbedingungssätze ↑

[Strukturmechanischer Randbedingungssatz "RIB_RB_ROT"](#)

| | |
|-----------------|-------------------------------------|
| Eigenschaft | Wert |
| Randbedingungen | RIB3_SPG_P_RB_ROT ⓘ |

Materialien ↑

Material "BONE_CORT_ISO_LI_ET_AL_09"

| | |
|-------------------------|---|
| Eigenschaft | Wert |
| Beschreibung | Transv. isotr. Mat.modell kort. Knochen |
| Struktureller Typ | Isotropes elasto-plastisches Material |
| Dichte | 2 [g / mm^3] |
| Materialmodell | Lineare Verfestigung |
| Tangentialem Modul | 1.15e+09 [Pa] |
| Thermische Entfestigung | 0 [C] |
| Streckgrenze | 8.8e+07 [Pa] |
| Versagenskriterien | Kein(e) |
| Wärmeausdehnung | 0 [C] |
| Thermischer Typ | Isotrop |
| Leitfähigkeit | 0 [mm g / (sec^3 C)] |

Spezifische Wärme 0 [mm^2/(sec^2 C)]

Material "BONE_CORT_TRANSV_ISO"

| Eigenschaft | Wert |
|----------------------|--|
| Beschreibung | Transv. isotr. Mat.modell kort. Knochen |
| Struktureller Typ | Transversal isotrop |
| Dichte | 2 [g / mm^3] |
| Elastizitätsmodul | [E1] : 1.17e+10 [Pa] [E2] : 7.9e+09 [Pa] [E3] : 7.9e+09 [Pa] |
| Querkontraktionszahl | [Nu21] : 0.2 [Nu31] : 0.2 [Nu32] : 0.2 |
| Schubsteifigkeit | [G12] : 4.8e+09 [Pa] [G13] : 4.8e+09 [Pa] [G23] : 3.29167e+09 [Pa] |
| Versagenskriterien | Kein(e) |
| Wärmeausdehnung | [a1] : 0 [1/C] [a2] : 0 [1/C] [a3] : 0 [1/C] |
| Thermischer Typ | Isotrop |
| Leitfähigkeit | 0 [mm g / (sec^3 C)] |
| Spezifische Wärme | 0 [mm^2/(sec^2 C)] |

Simulationsmodell : RIB3_SHELL_SPG.PRT

In diesem Modell gibt es keine Simulationsobjekte.



Simulationsmodell : RIB4_SPG.ASM

Federn



Feder "RIB4_SPG_F_ROT"

| Eigenschaft | Wert |
|------------------|--|
| Typ | Erweitert |
| Referenzen | Punkt "PNT0" (RIB4_SHELL_SPG1.PRT) Punkt "APNT0" (RIB4_SPG.ASM) |
| Federeigenschaft | Rib_Rot_var |
| Orientierung | XYZ-Richtungen definiert vom Koordinatensystem : Koordinatensystem "CS1" (RIB4_SHELL_SPG1.PRT) |

Federeigenschaften



Federeigenschaft "Rib_rot"

| Eigenschaft | Wert |
|-------------------------|--|
| Beschreibung | Rib rotation stiffness of CVJ according to Little et al. |
| Auto-Kopplung | Ja |
| Dehnsteifigkeit (K) | 1e+09 1e+09 245000 [N / m] = 1e+12 1e+12 2.45e+08 [g / sec^2] |
| Torsionssteifigkeit (T) | 4.167 4.167 6.706 [m N / rad] = 4.167e+09 4.167e+09 6.706e+09 [mm^2 g / (sec^2 rad)] |

Federeigenschaft "Rib_Rot_stiff"

| Eigenschaft | Wert |
|-------------------------|--|
| Auto-Kopplung | Ja |
| Dehnsteifigkeit (K) | 1e+09 1e+09 1e+09 [N / m] = 1e+12 1e+12 1e+12 [g / sec^2] |
| Torsionssteifigkeit (T) | 238.751 238.751 384.226 [m N / rad] = 2.38751e+11 2.38751e+11 3.84226e+11 [mm^2 g / (sec^2 rad)] |

Federeigenschaft "Rib_Rot_var"

| Eigenschaft | Wert |
|-------------------------|---|
| Auto-Kopplung | Ja |
| Dehnsteifigkeit (K) | PRT_RIB_CV_TRANS_X 1e+12 1e+12 [N / mm] = 1e+15 1e+18 1e+18 [g / sec^2] |
| Torsionssteifigkeit (T) | PRT_RIB_CV_ROT_X PRT_RIB_CV_ROT_Y = 5.72958e+16 5.72958e+16 |

PRT_RIB_CV_ROT_Z [mm N / deg]

5.72958e+16 [mm^2 g / (sec^2 rad)]

Schalen



[Schale "Shell1"](#)

| Eigenschaft | Wert |
|----------------------|--|
| Typ | Erweitert |
| Referenzen | Fläche (RIB4_SHELL_SPG1.PRT) Fläche (RIB4_SHELL_SPG1.PRT) Fläche (RIB4_SHELL_SPG1.PRT) Fläche (RIB4_SHELL_SPG1.PRT) Fläche (RIB4_SHELL_SPG1.PRT) Fläche (RIB4_SHELL_SPG1.PRT) Fläche (RIB4_SHELL_SPG1.PRT) |
| Schaleneigenschaft | Bone_cort ⓘ |
| Material | BONE_CORT_TRANSV_ISO |
| Materialorientierung | BONE_CORT ⓘ |

Schaleneigenschaften



[Schaleneigenschaft "Bone_cort"](#)

| Eigenschaft | Wert |
|-------------|----------|
| Typ | Homogen |
| Dicke | 0.7 [mm] |

Materialorientierungen



[Materialorientierung "BONE_CORT"](#)

| Eigenschaft | Wert |
|-------------|-------------------------------|
| Typ | Fläche |
| Relativ zu | Zweite parametrische Richtung |

Gewichtete Verbindungen



[Gewichtete Verbindung "RIB4_SPG_WL_ROT"](#)

| Eigenschaft | Wert |
|--|--|
| Referenzen der unabhängigen Seite | Fläche (RIB4_SHELL_SPG1.PRT) Fläche (RIB4_SHELL_SPG1.PRT) Fläche (RIB4_SHELL_SPG1.PRT) |
| Koordinatensystem der unabhängigen Seite | Koordinatensystem "CS1" (RIB4_SHELL_SPG1.PRT) |
| Translatorische Freiheitsgrade | x y z |
| Referenzen der abhängigen Seite | Punkt "PNT0" (RIB4_SHELL_SPG1.PRT) |
| Koordinatensystem der abhängigen Seite | WCS (RIB4_SPG.ASM) |

Lasten/Randbedingungen



[Strukturmechanische Randbedingung "RIB4_SPG_P_RB_ROT"](#)

| Eigenschaft | Wert |
|-------------------|---|
| Typ | Verschiebung |
| Referenzen | Punkt "APNT0" (RIB4_SPG.ASM) |
| Koordinatensystem | Koordinatensystem "CS1" (RIB4_SHELL_SPG1.PRT) |
| Verschiebung | X : Konstant Y : Konstant Z : Konstant |
| Rotation | X : Konstant Y : Konstant Z : Konstant |

Lastsätze/Randbedingungssätze



[Strukturmechanischer Randbedingungssatz "RIB_RB_ROT"](#)

| Eigenschaft | Wert |
|-----------------|-------------------------------------|
| Randbedingungen | RIB4_SPG_P_RB_ROT ⓘ |

Materialien



| | | |
|-------------------------|----------------------------|--|
| Materialmodell | LINE_CORT_ISO_LI_ET_AL_09" | Lineare Verfestigung |
| Tangentialer Modul | | 1.15e+09 [Pa] |
| Thermische Entfestigung | | 0 [/C] |
| Streckgrenze | | 8.8e+07 [Pa] |
| Versagenskriterien | | Kein(e) |
| Wärmeausdehnung | LINE_CORT_TRANSV_ISO" | 0 [/C] |
| Eigenschaft | Typ | Wert Isotrop |
| Beschreibung | | Transv. Mod. (sec^2 C) |
| Strukturtyp | | Transv. Mod. (sec^2 C) |
| Dichte | | 2 [g / mm^3] |
| Elastizitätsmodul | | [E1] : 1.17e+10 [Pa] [E2] : 7.9e+09 [Pa] [E3] : 7.9e+09 [Pa] |
| Querkontraktionszahl | | [Nu21] : 0.2 [Nu31] : 0.2 [Nu32] : 0.2 |
| Schubsteifigkeit | | [G12] : 4.8e+09 [Pa] [G13] : 4.8e+09 [Pa] [G23] : 3.29167e+09 [Pa] |
| Versagenskriterien | | Kein(e) |
| Wärmeausdehnung | | [a1] : 0 [/C] [a2] : 0 [/C] [a3] : 0 [/C] |
| Thermischer Typ | | Isotrop |
| Leitfähigkeit | | 0 [mm g / (sec^3 C)] |
| Spezifische Wärme | | 0 [mm^2/(sec^2 C)] |

Simulationsmodell : RIB4_SHELL_SPG1.PRT

In diesem Modell gibt es keine Simulationsobjekte.



Simulationsmodell : RIB5_SPG.ASM

Federn



Feder "RIB5_SPG_F_ROT"

| | |
|------------------|---|
| Eigenschaft | Wert |
| Typ | Erweitert |
| Referenzen | Punkt "PNT4" (RIB5_SHELL_SPG.PRT) Punkt "APNT0" (RIB5_SPG.ASM) |
| Federeigenschaft | Rib_Rot_var |
| Orientierung | XYZ-Richtungen definiert vom Koordinatensystem : Koordinatensystem "CS1" (RIB5_SHELL_SPG.PRT) |

Federeigenschaften



Federeigenschaft "Rib_rot"

| | |
|-------------------------|--|
| Eigenschaft | Wert |
| Beschreibung | Rib rotation stiffness of CVJ according to Little et al. |
| Auto-Kopplung | Ja |
| Dehnsteifigkeit (K) | 1e+09 1e+09 245000 [N / m] = 1e+12 1e+12 2.45e+08 [g / sec^2] |
| Torsionssteifigkeit (T) | 4.167 4.167 6.706 [m N / rad] = 4.167e+09 4.167e+09 6.706e+09 [mm^2 g / (sec^2 rad)] |

Federeigenschaft "Rib_Rot_stiff"

| | |
|-------------------------|--|
| Eigenschaft | Wert |
| Auto-Kopplung | Ja |
| Dehnsteifigkeit (K) | 1e+09 1e+09 1e+09 [N / m] = 1e+12 1e+12 1e+12 [g / sec^2] |
| Torsionssteifigkeit (T) | 238.751 238.751 384.226 [m N / rad] = 2.38751e+11 2.38751e+11 3.84226e+11 [mm^2 g / (sec^2 rad)] |

Federeigenschaft "Rib_Rot_var"

| | |
|---------------------|----------------------------|
| Eigenschaft | Wert |
| Auto-Kopplung | Ja |
| Dehnsteifigkeit (K) | PRT_RIB_CV_TRANS_X = 1e+15 |

Materialien



Material "BONE_CORT_ISO_LI_ET_AL_09"

| Eigenschaft | Wert |
|-------------------------|---|
| Beschreibung | Transv. isotr. Mat.modell kort. Knochen |
| Struktureller Typ | Isotropes elasto-plastisches Material |
| Dichte | 2 [g / mm^3] |
| Materialmodell | Lineare Verfestigung |
| Tangentialem Modul | 1.15e+09 [Pa] |
| Thermische Entfestigung | 0 [C] |
| Streckgrenze | 8.8e+07 [Pa] |
| Versagenskriterien | Kein(e) |
| Wärmeausdehnung | 0 [C] |
| Thermischer Typ | Isotrop |
| Leitfähigkeit | 0 [mm g / (sec^3 C)] |
| Spezifische Wärme | 0 [mm^2/(sec^2 C)] |

Material "BONE_CORT_TRANSV_ISO"

| Eigenschaft | Wert |
|----------------------|--|
| Beschreibung | Transv. isotr. Mat.modell kort. Knochen |
| Struktureller Typ | Transversal isotrop |
| Dichte | 2 [g / mm^3] |
| Elastizitätsmodul | [E1] : 1.17e+10 [Pa] [E2] : 7.9e+09 [Pa] [E3] : 7.9e+09 [Pa] |
| Querkontraktionszahl | [Nu21] : 0.2 [Nu31] : 0.2 [Nu32] : 0.2 |
| Schubsteifigkeit | [G12] : 4.8e+09 [Pa] [G13] : 4.8e+09 [Pa] [G23] : 3.29167e+09 [Pa] |
| Versagenskriterien | Kein(e) |
| Wärmeausdehnung | [a1] : 0 [C] [a2] : 0 [C] [a3] : 0 [C] |
| Thermischer Typ | Isotrop |
| Leitfähigkeit | 0 [mm g / (sec^3 C)] |
| Spezifische Wärme | 0 [mm^2/(sec^2 C)] |

Simulationsmodell : RIB5_SHELL_SPG.PRT

In diesem Modell gibt es keine Simulationsobjekte.



Simulationsmodell : RIB6_SPG.ASM

Federn



[Feder "RIB6_SPG_F_ROT"](#)

| Eigenschaft | Wert |
|------------------|---|
| Typ | Erweitert |
| Referenzen | Punkt "PNT4" (RIB6_SHELL_SPG.PRT) Punkt "APNT0" (RIB6_SPG.ASM) |
| Federeigenschaft | Rib_Rot_var ⓘ |
| Orientierung | XYZ-Richtungen definiert vom Koordinatensystem : Koordinatensystem "CS1" (RIB6_SHELL_SPG.PRT) |

Federeigenschaften



[Federeigenschaft "Rib_rot"](#)

| Eigenschaft | Wert |
|-------------------------|--|
| Beschreibung | Rib rotation stiffness of CVJ according to Little et al. |
| Auto-Kopplung | Ja |
| Dehnsteifigkeit (K) | $1e+09 \quad 1e+09 \quad 245000 \quad [N / m] = 1e+12 \quad 1e+12 \quad 2.45e+08 \quad [g / sec^2]$ |
| Torsionssteifigkeit (T) | $4.167 \quad 4.167 \quad 6.706 \quad [m N / rad] = 4.167e+09 \quad 4.167e+09 \quad 6.706e+09 \quad [mm^2 g / (sec^2 rad)]$ |

Federeigenschaft "Rib Rot stiff"

| Eigenschaft | Wert |
|-------------------------|--|
| Auto-Kopplung | Ja |
| Dehnsteifigkeit (K) | $1e+09 \cdot 1e+09 \cdot 1e+09 \text{ [N / m]} = 1e+12 \cdot 1e+12 \cdot 1e+12 \text{ [g / sec}^2\text{]}$ |
| Torsionssteifigkeit (T) | $238.751 \cdot 238.751 \cdot 384.226 \text{ [m N / rad]} = 2.38751e+11 \cdot 2.38751e+11 \cdot 3.84226e+11 \text{ [mm}^2\text{ g / (sec}^2\text{ rad)]}$ |

Federeigenschaft "Rib Rot var"

| Eigenschaft | Wert |
|-------------------------|--|
| Auto-Kopplung | Ja |
| Dehnsteifigkeit (K) | $PRT_RIB_CV_TRANS_X \cdot 1e+12 \cdot 1e+12 \text{ [N / mm]} = 1e+15 \cdot 1e+18 \cdot 1e+18 \text{ [g / sec}^2\text{]}$ |
| Torsionssteifigkeit (T) | $PRT_RIB_CV_ROT_X \cdot PRT_RIB_CV_ROT_Y \cdot PRT_RIB_CV_ROT_Z \text{ [mm N / deg]} = 5.72958e+16 \cdot 5.72958e+16 \cdot 5.72958e+16 \text{ [mm}^2\text{ g / (sec}^2\text{ rad)]}$ |

Schalen



Schale "Shell1"

| Eigenschaft | Wert |
|----------------------|---|
| Typ | Erweitert |
| Referenzen | Fläche (RIB6_SHELL_SPG.PRT) Fläche (RIB6_SHELL_SPG.PRT) Fläche (RIB6_SHELL_SPG.PRT) Fläche (RIB6_SHELL_SPG.PRT) Fläche (RIB6_SHELL_SPG.PRT) Fläche (RIB6_SHELL_SPG.PRT) Fläche (RIB6_SHELL_SPG.PRT) |
| Schaleneigenschaft | Bone cort ⓘ |
| Material | BONE_CORT_TRANSV_ISO |
| Materialorientierung | BONE_CORT ⓘ |

Schaleneigenschaften



Schaleneigenschaft "Bone cort"

| Eigenschaft | Wert |
|-------------|----------|
| Typ | Homogen |
| Dicke | 0.7 [mm] |

Materialorientierungen



Materialorientierung "BONE_CORT"

| Eigenschaft | Wert |
|-------------|-------------------------------|
| Typ | Fläche |
| Relativ zu | Zweite parametrische Richtung |

Gewichtete Verbindungen



Gewichtete Verbindung "RIB6_SPG_WL_ROT"

| Eigenschaft | Wert |
|--|---|
| Referenzen der unabhängigen Seite | Fläche (RIB6_SHELL_SPG.PRT) Fläche (RIB6_SHELL_SPG.PRT) Fläche (RIB6_SHELL_SPG.PRT) |
| Koordinatensystem der unabhängigen Seite | Koordinatensystem "CS1" (RIB6_SHELL_SPG.PRT) |
| Translatorische Freiheitsgrade | x y z |
| Referenzen der abhängigen Seite | Punkt "PNT4" (RIB6_SHELL_SPG.PRT) |
| Koordinatensystem der abhängigen Seite | WCS (RIB6_SPG.ASM) |

Lasten/Randbedingungen



Strukturmechanische Randbedingung "RIB6_SPG_P_RB_ROT"

| Eigenschaft | Wert |
|-------------|--|
| Typ | Verschiebung |
| Referenzen | Punkt "APNT0" (RIB6_SPG.ASM) |

| | |
|-------------------|--|
| Koordinatensystem | Koordinatensystem "CS1" (RIB6_SHELL_SPG.PRT) |
| Verschiebung | X : Konstant Y : Konstant Z : Konstant |
| Rotation | X : Konstant Y : Konstant Z : Konstant |

Lastsätze/Randbedingungssätze 

[Strukturmechanischer Randbedingungssatz "RIB_RB_ROT"](#)

| | |
|-----------------|-------------------------------------|
| Eigenschaft | Wert |
| Randbedingungen | RIB6_SPG_P_RB_ROT ⓘ |

Materialien 


Material "BONE_CORT_ISO_LI_ET_AL_09"

| | |
|-------------------------|---|
| Eigenschaft | Wert |
| Beschreibung | Transv. isotr. Mat.modell kort. Knochen |
| Struktureller Typ | Isotropes elasto-plastisches Material |
| Dichte | 2 [g / mm ³] |
| Materialmodell | Lineare Verfestigung |
| Tangentiale Modul | 1.15e+09 [Pa] |
| Thermische Entfestigung | 0 [C] |
| Streckgrenze | 8.8e+07 [Pa] |
| Versagenskriterien | Kein(e) |
| Wärmeausdehnung | 0 [C] |
| Thermischer Typ | Isotrop |
| Leitfähigkeit | 0 [mm g / (sec ³ C)] |
| Spezifische Wärme | 0 [mm ² /(sec ² C)] |

Material "BONE_CORT_TRANSV_ISO"

| | |
|----------------------|--|
| Eigenschaft | Wert |
| Beschreibung | Transv. isotr. Mat.modell kort. Knochen |
| Struktureller Typ | Transversal isotrop |
| Dichte | 2 [g / mm ³] |
| Elastizitätsmodul | [E1] : 1.17e+10 [Pa] [E2] : 7.9e+09 [Pa] [E3] : 7.9e+09 [Pa] |
| Querkontraktionszahl | [Nu21] : 0.2 [Nu31] : 0.2 [Nu32] : 0.2 |
| Schubsteifigkeit | [G12] : 4.8e+09 [Pa] [G13] : 4.8e+09 [Pa] [G23] : 3.29167e+09 [Pa] |
| Versagenskriterien | Kein(e) |
| Wärmeausdehnung | [a1] : 0 [C] [a2] : 0 [C] [a3] : 0 [C] |
| Thermischer Typ | Isotrop |
| Leitfähigkeit | 0 [mm g / (sec ³ C)] |
| Spezifische Wärme | 0 [mm ² /(sec ² C)] |

Simulationsmodell : RIB6_SHELL_SPG.PRT

In diesem Modell gibt es keine Simulationsobjekte. 

Simulationsmodell : RIB7_SPG.ASM

Federn 

[Feder "RIB7_SPG_P_RB_ROT"](#)

| | |
|------------------|---|
| Eigenschaft | Wert |
| Typ | Erweitert |
| Referenzen | Punkt "PNT4" (RIB7_SHELL_SPG.PRT) Punkt "APNT0" (RIB7_SPG.ASM) |
| Federeigenschaft | Rib_Rot_var ⓘ |
| Orientierung | XYZ-Richtungen definiert vom Koordinatensystem : Koordinatensystem "CS1" (RIB7_SHELL_SPG.PRT) |

Federeigenschaften



Federeigenschaft "Rib_rot"

| | |
|-------------------------|--|
| Eigenschaft | Wert |
| Beschreibung | Rib rotation stiffness of CVJ according to Little et al. |
| Auto-Kopplung | Ja |
| Dehnsteifigkeit (K) | $1e+09 \quad 1e+09 \quad 245000 \quad [N / m] = 1e+12 \quad 1e+12 \quad 2.45e+08 \quad [g / sec^2]$ |
| Torsionssteifigkeit (T) | $4.167 \quad 4.167 \quad 6.706 \quad [m N / rad] = 4.167e+09 \quad 4.167e+09 \quad 6.706e+09 \quad [mm^2 g / (sec^2 rad)]$ |

Federeigenschaft "Rib_Rot_stiff"

| | |
|-------------------------|--|
| Eigenschaft | Wert |
| Auto-Kopplung | Ja |
| Dehnsteifigkeit (K) | $1e+09 \quad 1e+09 \quad 1e+09 \quad [N / m] = 1e+12 \quad 1e+12 \quad 1e+12 \quad [g / sec^2]$ |
| Torsionssteifigkeit (T) | $238.751 \quad 238.751 \quad 384.226 \quad [m N / rad] = 2.38751e+11 \quad 2.38751e+11 \quad 3.84226e+11 \quad [mm^2 g / (sec^2 rad)]$ |

Federeigenschaft "Rib_Rot_var"

| | |
|-------------------------|--|
| Eigenschaft | Wert |
| Auto-Kopplung | Ja |
| Dehnsteifigkeit (K) | $PRT_RIB_CV_TRANS_X \quad 1e+12 \quad 1e+12 \quad [N / mm] = 1e+15 \quad 1e+18 \quad 1e+18 \quad [g / sec^2]$ |
| Torsionssteifigkeit (T) | $PRT_RIB_CV_ROT_X \quad PRT_RIB_CV_ROT_Y \quad PRT_RIB_CV_ROT_Z \quad [mm N / deg] = 5.72958e+16 \quad 5.72958e+16 \quad 5.72958e+16 \quad [mm^2 g / (sec^2 rad)]$ |

Schalen



Schale "Shell1"

| | |
|----------------------|---|
| Eigenschaft | Wert |
| Typ | Erweitert |
| Referenzen | Fläche (RIB7 SHELL SPG.PRT) Fläche (RIB7 SHELL SPG.PRT) Fläche (RIB7 SHELL SPG.PRT) Fläche (RIB7 SHELL SPG.PRT) Fläche (RIB7 SHELL SPG.PRT) Fläche (RIB7 SHELL SPG.PRT) Fläche (RIB7 SHELL SPG.PRT) |
| Schaleneigenschaft | Bone_cort ⓘ |
| Material | BONE_CORT_TRANSV_ISO |
| Materialorientierung | BONE_CORT ⓘ |

Schaleneigenschaften



Schaleneigenschaft "Bone_cort"

| | |
|-------------|----------|
| Eigenschaft | Wert |
| Typ | Homogen |
| Dicke | 0.7 [mm] |

Materialorientierungen



Materialorientierung "BONE_CORT"

| | |
|-------------|-------------------------------|
| Eigenschaft | Wert |
| Typ | Fläche |
| Relativ zu | Zweite parametrische Richtung |

Gewichtete Verbindungen



Gewichtete Verbindung "RIB7 SPG WL ROT"

| | |
|-----------------------------------|---|
| Eigenschaft | Wert |
| Referenzen der unabhängigen Seite | Fläche (RIB7 SHELL SPG.PRT) Fläche (RIB7 SHELL SPG.PRT) Fläche (RIB7 SHELL SPG.PRT) |

| | |
|--|--|
| Koordinatensystem der unabhängigen Seite | Koordinatensystem "CS1" (RIB7_SHELL_SPG.PRT) |
| Translatorische Freiheitsgrade | x y z |
| Referenzen der abhängigen Seite | Punkt "PNT4" (RIB7_SHELL_SPG.PRT) |
| Koordinatensystem der abhängigen Seite | WCS (RIB7_SPG.ASM) |

Lasten/Randbedingungen 

[Strukturmechanische Randbedingung "RIB7_SPG_P_RB_ROT"](#)

| Eigenschaft | Wert |
|-------------------|--|
| Typ | Verschiebung |
| Referenzen | Punkt "APNT0" (RIB7_SPG.ASM) |
| Koordinatensystem | Koordinatensystem "CS1" (RIB7_SHELL_SPG.PRT) |
| Verschiebung | X : Konstant Y : Konstant Z : Konstant |
| Rotation | X : Konstant Y : Konstant Z : Konstant |

Lastsätze/Randbedingungssätze 

[Strukturmechanischer Randbedingungssatz "RIB_RB_ROT"](#)

| Eigenschaft | Wert |
|-----------------|---|
| Randbedingungen | RIB7_SPG_P_RB_ROT  |

Materialien 

Material "BONE_CORT_ISO_LI_ET_AL_09"

| Eigenschaft | Wert |
|-------------------------|---|
| Beschreibung | Transv. isotr. Mat.modell kort. Knochen |
| Struktureller Typ | Isotropes elasto-plastisches Material |
| Dichte | 2 [g / mm ³] |
| Materialmodell | Lineare Verfestigung |
| Tangentialem Modul | 1.15e+09 [Pa] |
| Thermische Entfestigung | 0 [1/C] |
| Streckgrenze | 8.8e+07 [Pa] |
| Versagenskriterien | Kein(e) |
| Wärmeausdehnung | 0 [1/C] |
| Thermischer Typ | Isotrop |
| Leitfähigkeit | 0 [mm g / (sec ³ C)] |
| Spezifische Wärme | 0 [mm ² /(sec ² C)] |

Material "BONE_CORT_TRANSV_ISO"

| Eigenschaft | Wert |
|----------------------|--|
| Beschreibung | Transv. isotr. Mat.modell kort. Knochen |
| Struktureller Typ | Transversal isotrop |
| Dichte | 2 [g / mm ³] |
| Elastizitätsmodul | [E1] : 1.17e+10 [Pa] [E2] : 7.9e+09 [Pa] [E3] : 7.9e+09 [Pa] |
| Querkontraktionszahl | [Nu21] : 0.2 [Nu31] : 0.2 [Nu32] : 0.2 |
| Schubsteifigkeit | [G12] : 4.8e+09 [Pa] [G13] : 4.8e+09 [Pa] [G23] : 3.29167e+09 [Pa] |
| Versagenskriterien | Kein(e) |
| Wärmeausdehnung | [a1] : 0 [1/C] [a2] : 0 [1/C] [a3] : 0 [1/C] |
| Thermischer Typ | Isotrop |
| Leitfähigkeit | 0 [mm g / (sec ³ C)] |
| Spezifische Wärme | 0 [mm ² /(sec ² C)] |

Simulationsmodell : RIB7_SHELL_SPG.PRT

In diesem Modell gibt es keine Simulationsobjekte. 

Simulationsmodell : RIB8_SPG.ASM

Federn



Feder "RIB8_SPG_F_ROT"

| | |
|------------------|---|
| Eigenschaft | Wert |
| Typ | Erweitert |
| Referenzen | Punkt "PNT4" (RIB8_SHELL_SPG.PRT) Punkt "APNT0" (RIB8_SPG.ASM) |
| Federeigenschaft | Rib_Rot_var ⓘ |
| Orientierung | XYZ-Richtungen definiert vom Koordinatensystem : Koordinatensystem "CS1" (RIB8_SHELL_SPG.PRT) |

Federeigenschaften



Federeigenschaft "Rib_rot"

| | |
|-------------------------|--|
| Eigenschaft | Wert |
| Beschreibung | Rib rotation stiffness of CVJ according to Little et al. |
| Auto-Kopplung | Ja |
| Dehnsteifigkeit (K) | $1e+09 \quad 1e+09 \quad 245000 \quad [N / m] = 1e+12 \quad 1e+12 \quad 2.45e+08 \quad [g / sec^2]$ |
| Torsionssteifigkeit (T) | $4.167 \quad 4.167 \quad 6.706 \quad [m N / rad] = 4.167e+09 \quad 4.167e+09 \quad 6.706e+09 \quad [mm^2 g / (sec^2 rad)]$ |

Federeigenschaft "Rib_Rot_stiff"

| | |
|-------------------------|--|
| Eigenschaft | Wert |
| Auto-Kopplung | Ja |
| Dehnsteifigkeit (K) | $1e+09 \quad 1e+09 \quad 1e+09 \quad [N / m] = 1e+12 \quad 1e+12 \quad 1e+12 \quad [g / sec^2]$ |
| Torsionssteifigkeit (T) | $238.751 \quad 238.751 \quad 384.226 \quad [m N / rad] = 2.38751e+11 \quad 2.38751e+11 \quad 3.84226e+11 \quad [mm^2 g / (sec^2 rad)]$ |

Federeigenschaft "Rib_Rot_var"

| | |
|-------------------------|--|
| Eigenschaft | Wert |
| Auto-Kopplung | Ja |
| Dehnsteifigkeit (K) | $PRT_RIB_CV_TRANS_X \quad 1e+12 \quad 1e+12 \quad [N / mm] = 1e+15 \quad 1e+18 \quad 1e+18 \quad [g / sec^2]$ |
| Torsionssteifigkeit (T) | $PRT_RIB_CV_ROT_X \quad PRT_RIB_CV_ROT_Y \quad PRT_RIB_CV_ROT_Z \quad [mm N / deg] = 5.72958e+16 \quad 5.72958e+16 \quad 5.72958e+16 \quad [mm^2 g / (sec^2 rad)]$ |

Schalen



Schale "Shell1"

| | |
|----------------------|--|
| Eigenschaft | Wert |
| Typ | Erweitert |
| Referenzen | Fläche (RIB8_SHELL_SPG.PRT) Fläche (RIB8_SHELL_SPG.PRT) Fläche (RIB8_SHELL_SPG.PRT) Fläche (RIB8_SHELL_SPG.PRT) Fläche (RIB8_SHELL_SPG.PRT) Fläche (RIB8_SHELL_SPG.PRT) |
| Schaleneigenschaft | Bone_cort ⓘ |
| Material | BONE_CORT_TRANSV_ISO |
| Materialorientierung | BONE_CORT ⓘ |

Schaleneigenschaften



Schaleneigenschaft "Bone_cort"

| | |
|-------------|----------|
| Eigenschaft | Wert |
| Typ | Homogen |
| Dicke | 0.7 [mm] |

Materialorientierungen



[Materialorientierung "BONE_CORT"](#)

| | |
|-------------|-------------------------------|
| Eigenschaft | Wert |
| Typ | Fläche |
| Relativ zu | Zweite parametrische Richtung |

Gewichtete Verbindungen



[Gewichtete Verbindung "RIB8_SPG_WL_ROT"](#)

| | |
|--|---|
| Eigenschaft | Wert |
| Referenzen der unabhängigen Seite | Fläche (RIB8_SHELL_SPG.PRT) Fläche (RIB8_SHELL_SPG.PRT) Fläche (RIB8_SHELL_SPG.PRT) |
| Koordinatensystem der unabhängigen Seite | Koordinatensystem "CS1" (RIB8_SHELL_SPG.PRT) |
| Translatorische Freiheitsgrade | x y z |
| Referenzen der abhängigen Seite | Punkt "PNT4" (RIB8_SHELL_SPG.PRT) |
| Koordinatensystem der abhängigen Seite | WCS (RIB8_SPG.ASM) |

Lasten/Randbedingungen



[Strukturmechanische Randbedingung "RIB8_SPG_P_RB_ROT"](#)

| | |
|-------------------|--|
| Eigenschaft | Wert |
| Typ | Verschiebung |
| Referenzen | Punkt "APNT0" (RIB8_SPG.ASM) |
| Koordinatensystem | Koordinatensystem "CS1" (RIB8_SHELL_SPG.PRT) |
| Verschiebung | X : Konstant Y : Konstant Z : Konstant |
| Rotation | X : Konstant Y : Konstant Z : Konstant |

Lastsätze/Randbedingungssätze



[Strukturmechanischer Randbedingungssatz "RIB_RB_ROT"](#)

| | |
|-----------------|-------------------------------------|
| Eigenschaft | Wert |
| Randbedingungen | RIB8_SPG_P_RB_ROT ⓘ |

Materialien



Material "BONE_CORT_ISO_LI_ET_AL_09"

| | |
|-------------------------|---|
| Eigenschaft | Wert |
| Beschreibung | Transv. isotr. Mat.modell kort. Knochen |
| Struktureller Typ | Isotropes elasto-plastisches Material |
| Dichte | 2 [g / mm^3] |
| Materialmodell | Lineare Verfestigung |
| Tangentialer Modul | 1.15e+09 [Pa] |
| Thermische Entfestigung | 0 [°C] |
| Streckgrenze | 8.8e+07 [Pa] |
| Versagenskriterien | Kein(e) |
| Wärmeausdehnung | 0 [°C] |
| Thermischer Typ | Isotrop |
| Leitfähigkeit | 0 [mm g / (sec^3 C)] |
| Spezifische Wärme | 0 [mm^2/(sec^2 C)] |

Material "BONE_CORT_TRANSV_ISO"

| | |
|----------------------|--|
| Eigenschaft | Wert |
| Beschreibung | Transv. isotr. Mat.modell kort. Knochen |
| Struktureller Typ | Transversal isotrop |
| Dichte | 2 [g / mm^3] |
| Elastizitätsmodul | [E1] : 1.17e+10 [Pa] [E2] : 7.9e+09 [Pa] [E3] : 7.9e+09 [Pa] |
| Querkontraktionszahl | [Nu21] : 0.2 [Nu31] : 0.2 [Nu32] : 0.2 |
| Schubsteifigkeit | |

| | |
|--------------------|--|
| | [G12] : 4.8e+09 [Pa] [G13] : 4.8e+09 [Pa] [G23] : 3.29167e+09 [Pa] |
| Versagenskriterien | Kein(e) |
| Wärmeausdehnung | [a1] : 0 [1/C] [a2] : 0 [1/C] [a3] : 0 [1/C] |
| Thermischer Typ | Isotrop |
| Leitfähigkeit | 0 [mm g / (sec^3 C)] |
| Spezifische Wärme | 0 [mm^2/(sec^2 C)] |

Simulationsmodell : RIB8_SHELL_SPG.PRT

In diesem Modell gibt es keine Simulationsobjekte.



Simulationsmodell : RIB9_SPG.ASM

Federn



Feder "RIB9_SPG_F_ROT"

| | |
|------------------|---|
| Eigenschaft | Wert |
| Typ | Erweitert |
| Referenzen | Punkt "PNT4" (RIB9_SHELL_SPG.PRT) Punkt "APNT0" (RIB9_SPG.ASM) |
| Federeigenschaft | Rib_Rot_var ⓘ |
| Orientierung | XYZ-Richtungen definiert vom Koordinatensystem : Koordinatensystem "CS1" (RIB9_SHELL_SPG.PRT) |

Federeigenschaften



Federeigenschaft "Rib_rot"

| | |
|-------------------------|---|
| Eigenschaft | Wert |
| Beschreibung | Rib rotation stiffness of CVJ according to Little et al. |
| Auto-Kopplung | Ja |
| Dehnsteifigkeit (K) | 1e+09 = 1e+12 1e+09 245000 [N / m] = 1e+12 2.45e+08 [g / sec^2] |
| Torsionssteifigkeit (T) | 4.167 = 4.167e+09 4.167 6.706 [m N / rad] = 4.167e+09 6.706e+09 [mm^2 g / (sec^2 rad)] |

Federeigenschaft "Rib_Rot_stiff"

| | |
|-------------------------|---|
| Eigenschaft | Wert |
| Auto-Kopplung | Ja |
| Dehnsteifigkeit (K) | 1e+09 = 1e+12 1e+09 1e+09 [N / m] = 1e+12 1e+12 [g / sec^2] |
| Torsionssteifigkeit (T) | 238.751 = 2.38751e+11 238.751 384.226 [m N / rad] = 2.38751e+11 3.84226e+11 [mm^2 g / (sec^2 rad)] |

Federeigenschaft "Rib_Rot_var"

| | |
|-------------------------|--|
| Eigenschaft | Wert |
| Auto-Kopplung | Ja |
| Dehnsteifigkeit (K) | PRT_RIB_CV_TRANS_X = 1e+15 1e+12 1e+12 [N / mm] = 1e+18 1e+18 [g / sec^2] |
| Torsionssteifigkeit (T) | PRT_RIB_CV_ROT_X PRT_RIB_CV_ROT_Y PRT_RIB_CV_ROT_Z [mm N / deg] = 5.72958e+16 5.72958e+16 5.72958e+16 [mm^2 g / (sec^2 rad)] |

Schalen



Schale "Shell1"

| | |
|-------------|---|
| Eigenschaft | Wert |
| Typ | Erweitert |
| Referenzen | Fläche (RIB9_SHELL_SPG.PRT) Fläche (RIB9_SHELL_SPG.PRT) Fläche (RIB9_SHELL_SPG.PRT) Fläche (RIB9_SHELL_SPG.PRT) Fläche (RIB9_SHELL_SPG.PRT) Fläche (RIB9_SHELL_SPG.PRT) Fläche (RIB9_SHELL_SPG.PRT) |

Schaleneigenschaft [Bone_cort](#) ⓘ
 Material BONE_CORT_TRANSV_ISO
 Materialorientierung [BONE_CORT](#) ⓘ

Schaleneigenschaften ↑

[Schaleneigenschaft "Bone_cort"](#)

| | |
|-------------|----------|
| Eigenschaft | Wert |
| Typ | Homogen |
| Dicke | 0.7 [mm] |

Materialorientierungen ↑

[Materialorientierung "BONE_CORT"](#)

| | |
|-------------|-------------------------------|
| Eigenschaft | Wert |
| Typ | Fläche |
| Relativ zu | Zweite parametrische Richtung |

Gewichtete Verbindungen ↑

[Gewichtete Verbindung "RIB9_SPG_WL_ROT"](#)

| | |
|--|---|
| Eigenschaft | Wert |
| Referenzen der unabhängigen Seite | Fläche (RIB9_SHELL_SPG.PRT) Fläche (RIB9_SHELL_SPG.PRT) Fläche (RIB9_SHELL_SPG.PRT) |
| Koordinatensystem der unabhängigen Seite | Koordinatensystem "CS1" (RIB9_SHELL_SPG.PRT) |
| Translatorische Freiheitsgrade | x y z |
| Referenzen der abhängigen Seite | Punkt "PNT4" (RIB9_SHELL_SPG.PRT) |
| Koordinatensystem der abhängigen Seite | WCS (RIB9_SPG.ASM) |

Lasten/Randbedingungen ↑

[Strukturmechanische Randbedingung "RIB9_SPG_P_RB_ROT"](#)

| | |
|-------------------|--|
| Eigenschaft | Wert |
| Typ | Verschiebung |
| Referenzen | Punkt "APNT0" (RIB9_SPG.ASM) |
| Koordinatensystem | Koordinatensystem "CS1" (RIB9_SHELL_SPG.PRT) |
| Verschiebung | X : Konstant Y : Konstant Z : Konstant |
| Rotation | X : Konstant Y : Konstant Z : Konstant |

Lastsätze/Randbedingungssätze ↑

[Strukturmechanischer Randbedingungssatz "RIB_RB_ROT"](#)

| | |
|-----------------|-------------------------------------|
| Eigenschaft | Wert |
| Randbedingungen | RIB9_SPG_P_RB_ROT ⓘ |

Materialien ↑

Material "BONE_CORT_ISO_LI_ET_AL_09"

| | |
|-------------------------|---|
| Eigenschaft | Wert |
| Beschreibung | Transv. isotr. Mat.modell kort. Knochen |
| Struktureller Typ | Isotropes elasto-plastisches Material |
| Dichte | 2 [g / mm^3] |
| Materialmodell | Lineare Verfestigung |
| Tangentialem Modul | 1.15e+09 [Pa] |
| Thermische Entfestigung | 0 [C] |
| Streckgrenze | 8.8e+07 [Pa] |
| Versagenskriterien | Kein(e) |
| Wärmeausdehnung | 0 [C] |
| Thermischer Typ | Isotrop |
| Leitfähigkeit | 0 [mm g / (sec^3 C)] |

Spezifische Wärme 0 [mm^2/(sec^2 C)]

Material "BONE_CORT_TRANSV_ISO"

| Eigenschaft | Wert |
|----------------------|--|
| Beschreibung | Transv. isotr. Mat.modell kort. Knochen |
| Struktureller Typ | Transversal isotrop |
| Dichte | 2 [g / mm^3] |
| Elastizitätsmodul | [E1] : 1.17e+10 [Pa] [E2] : 7.9e+09 [Pa] [E3] : 7.9e+09 [Pa] |
| Querkontraktionszahl | [Nu21] : 0.2 [Nu31] : 0.2 [Nu32] : 0.2 |
| Schubsteifigkeit | [G12] : 4.8e+09 [Pa] [G13] : 4.8e+09 [Pa] [G23] : 3.29167e+09 [Pa] |
| Versagenskriterien | Kein(e) |
| Wärmeausdehnung | [a1] : 0 [1/C] [a2] : 0 [1/C] [a3] : 0 [1/C] |
| Thermischer Typ | Isotrop |
| Leitfähigkeit | 0 [mm g / (sec^3 C)] |
| Spezifische Wärme | 0 [mm^2/(sec^2 C)] |

Simulationsmodell : RIB9_SHELL_SPG.PRT

In diesem Modell gibt es keine Simulationsobjekte.



Simulationsmodell : RIB10_SPG.ASM

Federn



Feder "RIB10_SPG_F_ROT"

| Eigenschaft | Wert |
|------------------|--|
| Typ | Erweitert |
| Referenzen | Punkt "PNT4" (RIB10_SHELL_SPG.PRT) Punkt "APNT0" (RIB10_SPG.ASM) |
| Federeigenschaft | Rib_Rot_var |
| Orientierung | XYZ-Richtungen definiert vom Koordinatensystem : Koordinatensystem "CS2" (RIB10_SHELL_SPG.PRT) |

Federeigenschaften



Federeigenschaft "Rib_rot"

| Eigenschaft | Wert |
|-------------------------|--|
| Beschreibung | Rib rotation stiffness of CVJ according to Little et al. |
| Auto-Kopplung | Ja |
| Dehnsteifigkeit (K) | 1e+09 1e+09 245000 [N / m] = 1e+12 1e+12 2.45e+08 [g / sec^2] |
| Torsionssteifigkeit (T) | 4.167 4.167 6.706 [m N / rad] = 4.167e+09 4.167e+09 6.706e+09 [mm^2 g / (sec^2 rad)] |

Federeigenschaft "Rib_Rot_stiff"

| Eigenschaft | Wert |
|-------------------------|--|
| Auto-Kopplung | Ja |
| Dehnsteifigkeit (K) | 1e+09 1e+09 1e+09 [N / m] = 1e+12 1e+12 1e+12 [g / sec^2] |
| Torsionssteifigkeit (T) | 238.751 238.751 384.226 [m N / rad] = 2.38751e+11 2.38751e+11 3.84226e+11 [mm^2 g / (sec^2 rad)] |

Federeigenschaft "Rib_Rot_var"

| Eigenschaft | Wert |
|-------------------------|---|
| Auto-Kopplung | Ja |
| Dehnsteifigkeit (K) | PRT_RIB_CV_TRANS_X 1e+12 1e+12 [N / mm] = 1e+15 1e+18 1e+18 [g / sec^2] |
| Torsionssteifigkeit (T) | PRT_RIB_CV_ROT_X PRT_RIB_CV_ROT_Y = 5.72958e+16 5.72958e+16 |

PRT_RIB_CV_ROT_Z [mm N / deg]

5.72958e+16 [mm^2 g / (sec^2 rad)]

Schalen



[Schale "Shell1"](#)

| Eigenschaft | Wert |
|----------------------|--|
| Typ | Erweitert |
| Referenzen | Fläche (RIB10_SHELL_SPG.PRT) Fläche (RIB10_SHELL_SPG.PRT) Fläche (RIB10_SHELL_SPG.PRT) Fläche (RIB10_SHELL_SPG.PRT) Fläche (RIB10_SHELL_SPG.PRT) Fläche (RIB10_SHELL_SPG.PRT) Fläche (RIB10_SHELL_SPG.PRT) |
| Schaleneigenschaft | Bone_cort ⓘ |
| Material | BONE_CORT_TRANSV_ISO |
| Materialorientierung | BONE_CORT ⓘ |

Schaleneigenschaften



[Schaleneigenschaft "Bone_cort"](#)

| Eigenschaft | Wert |
|-------------|----------|
| Typ | Homogen |
| Dicke | 0.7 [mm] |

Materialorientierungen



[Materialorientierung "BONE_CORT"](#)

| Eigenschaft | Wert |
|-------------|-------------------------------|
| Typ | Fläche |
| Relativ zu | Zweite parametrische Richtung |

Gewichtete Verbindungen



[Gewichtete Verbindung "RIB10_SPG_WL_ROT"](#)

| Eigenschaft | Wert |
|--|--|
| Referenzen der unabhängigen Seite | Fläche (RIB10_SHELL_SPG.PRT) Fläche (RIB10_SHELL_SPG.PRT) Fläche (RIB10_SHELL_SPG.PRT) |
| Koordinatensystem der unabhängigen Seite | Koordinatensystem "CS2" (RIB10_SHELL_SPG.PRT) |
| Translatorische Freiheitsgrade | x y z |
| Referenzen der abhängigen Seite | Punkt "PNT4" (RIB10_SHELL_SPG.PRT) |
| Koordinatensystem der abhängigen Seite | WCS (RIB10_SPG.ASM) |

Lasten/Randbedingungen



[Strukturmechanische Randbedingung "RIB10_SPG_P_RB_ROT"](#)

| Eigenschaft | Wert |
|-------------------|---|
| Typ | Verschiebung |
| Referenzen | Punkt "APNT0" (RIB10_SPG.ASM) |
| Koordinatensystem | Koordinatensystem "CS2" (RIB10_SHELL_SPG.PRT) |
| Verschiebung | X : Konstant Y : Konstant Z : Konstant |
| Rotation | X : Konstant Y : Konstant Z : Konstant |

Lastsätze/Randbedingungssätze



[Strukturmechanischer Randbedingungssatz "RIB_RB_ROT"](#)

| Eigenschaft | Wert |
|-----------------|--------------------------------------|
| Randbedingungen | RIB10_SPG_P_RB_ROT ⓘ |

Materialien



Material "BONE_CORT_ISO_LI_ET_AL_09"

| Eigenschaft | Wert |
|-------------------------|---|
| Beschreibung | Transv. isotr. Mat.modell kort. Knochen |
| Struktureller Typ | Isotropes elasto-plastisches Material |
| Dichte | 2 [g / mm ³] |
| Materialmodell | Lineare Verfestigung |
| Tangentialem Modul | 1.15e+09 [Pa] |
| Thermische Entfestigung | 0 [1/C] |
| Streckgrenze | 8.8e+07 [Pa] |
| Versagenskriterien | Kein(e) |
| Wärmeausdehnung | 0 [1/C] |
| Thermischer Typ | Isotrop |
| Leitfähigkeit | 0 [mm g / (sec ³ C)] |
| Spezifische Wärme | 0 [mm ² /(sec ² C)] |

Material "BONE_CORT_TRANSV_ISO"

| Eigenschaft | Wert |
|----------------------|--|
| Beschreibung | Transv. isotr. Mat.modell kort. Knochen |
| Struktureller Typ | Transversal isotrop |
| Dichte | 2 [g / mm ³] |
| Elastizitätsmodul | [E1] : 1.17e+10 [Pa] [E2] : 7.9e+09 [Pa] [E3] : 7.9e+09 [Pa] |
| Querkontraktionszahl | [Nu21] : 0.2 [Nu31] : 0.2 [Nu32] : 0.2 |
| Schubsteifigkeit | [G12] : 4.8e+09 [Pa] [G13] : 4.8e+09 [Pa] [G23] : 3.29167e+09 [Pa] |
| Versagenskriterien | Kein(e) |
| Wärmeausdehnung | [a1] : 0 [1/C] [a2] : 0 [1/C] [a3] : 0 [1/C] |
| Thermischer Typ | Isotrop |
| Leitfähigkeit | 0 [mm g / (sec ³ C)] |
| Spezifische Wärme | 0 [mm ² /(sec ² C)] |

Simulationsmodell : RIB10_SHELL_SPG.PRT

In diesem Modell gibt es keine Simulationsobjekte.



Simulationsmodell : RIB1_CART.PRT

In diesem Modell gibt es keine Simulationsobjekte.



Simulationsmodell : RIB2_CART.PRT

In diesem Modell gibt es keine Simulationsobjekte.



Materialien



Material "CARTILAGE_ELAST_OYEN" (zugewiesen zu Modell)

| Eigenschaft | Wert |
|----------------------|--|
| Beschreibung | Isotrop. Materialmodell f. Rippenknorpel nach Oyen |
| Struktureller Typ | Isotrop |
| Dichte | 1.5 [g / mm ³] |
| Elastizitätsmodul | 1e+07 [Pa] |
| Querkontraktionszahl | 0.4 |
| Schubsteifigkeit | 3.57143e+06 [Pa] |
| Versagenskriterien | Kein(e) |
| Wärmeausdehnung | 0 [1/C] |
| Thermischer Typ | Isotrop |
| Leitfähigkeit | 0 [mm g / (sec ³ C)] |
| Spezifische Wärme | 0 [mm ² /(sec ² C)] |

Material "CARTILAGE_STIFF_OYEN"

| Eigenschaft | Wert |
|-------------|------|
|-------------|------|

| | |
|----------------------|--|
| Beschreibung | Isotrop. Materialmodell f. Rippenknorpel nach Oyen |
| Struktureller Typ | Isotrop |
| Dichte | 1.5 [g / mm ³] |
| Elastizitätsmodul | 1e+09 [Pa] |
| Querkontraktionszahl | 0.4 |
| Schubsteifigkeit | 3.57143e+08 [Pa] |
| Versagenskriterien | Kein(e) |
| Wärmeausdehnung | 0 [1/C] |
| Thermischer Typ | Isotrop |
| Leitfähigkeit | 0 [mm g / (sec ³ C)] |
| Spezifische Wärme | 0 [mm ² /(sec ² C)] |

Simulationsmodell : RIB3_CART_1.PRT

In diesem Modell gibt es keine Simulationsobjekte.



Simulationsmodell : RIB4_CART.PRT

In diesem Modell gibt es keine Simulationsobjekte.



Simulationsmodell : RIB5_CART.PRT

In diesem Modell gibt es keine Simulationsobjekte.



Simulationsmodell : RIB6_CART.PRT

In diesem Modell gibt es keine Simulationsobjekte.



Simulationsmodell : RIB7_CART.PRT

In diesem Modell gibt es keine Simulationsobjekte.



Simulationsmodell : RIB8_CART.PRT

Materialzuweisungen



Materialzuweisung "MaterialAssign1" (Unterdrückt)

| Eigenschaft | Wert |
|-------------|--|
| Referenzen | Modell (RIB8_CART.PRT) |
| Material | |

Materialien



Material "CARTILAGE_ELAST_OYEN" (zugewiesen zu Modell)

| Eigenschaft | Wert |
|----------------------|--|
| Beschreibung | Isotrop. Materialmodell f. Rippenknorpel nach Oyen |
| Struktureller Typ | Isotrop |
| Dichte | 1.5 [g / mm ³] |
| Elastizitätsmodul | 1e+07 [Pa] |
| Querkontraktionszahl | 0.4 |
| Schubsteifigkeit | 3.57143e+06 [Pa] |
| Versagenskriterien | Kein(e) |
| Wärmeausdehnung | 0 [1/C] |
| Thermischer Typ | Isotrop |
| Leitfähigkeit | 0 [mm g / (sec ³ C)] |
| Spezifische Wärme | 0 [mm ² /(sec ² C)] |

Material "CARTILAGE_STIFF_OYEN"

| Eigenschaft | Wert |
|-------------------|--|
| Beschreibung | Isotrop. Materialmodell f. Rippenknorpel nach Oyen |
| Struktureller Typ | Isotrop |

| | |
|----------------------|---|
| Dichte | 1.5 [g / mm ³] |
| Elastizitätsmodul | 1e+09 [Pa] |
| Querkontraktionszahl | 0.4 |
| Schubsteifigkeit | 3.57143e+08 [Pa] |
| Versagenskriterien | Kein(e) |
| Wärmeausdehnung | 0 [C] |
| Thermischer Typ | Isotrop |
| Leitfähigkeit | 0 [mm g / (sec ³ C)] |
| Spezifische Wärme | 0 [mm ² /(sec ² C)] |

Simulationsmodell : RIB9_CART.PRT

In diesem Modell gibt es keine Simulationsobjekte.



Simulationsmodell : RIB10_CART.PRT

In diesem Modell gibt es keine Simulationsobjekte.



Simulationsmodell : STERNUM.ASM

Federn



Feder "F_WL1_AP1"

| | |
|------------------|--|
| Eigenschaft | Wert |
| Typ | Erweitert |
| Referenzen | Punkt "P_WL1_AP1" (STERNUM.PRT) Punkt "P_WL1_AP1" (STERNUM_MIR.PRT) |
| Federeigenschaft | Spring_CERC_AP ⓘ |
| Orientierung | XYZ-Richtungen definiert vom Koordinatensystem : Koordinatensystem "ACS_WL1" (STERNUM.ASM) |

Feder "F_WL1_AP2"

| | |
|------------------|--|
| Eigenschaft | Wert |
| Typ | Erweitert |
| Referenzen | Punkt "P_WL1_AP2" (STERNUM_MIR.PRT) Punkt "P_WL1_AP2" (STERNUM.PRT) |
| Federeigenschaft | Spring_CERC_AP ⓘ |
| Orientierung | XYZ-Richtungen definiert vom Koordinatensystem : Koordinatensystem "ACS_WL1" (STERNUM.ASM) |

Feder "F_WL1_ML"

| | |
|------------------|--|
| Eigenschaft | Wert |
| Typ | Erweitert |
| Referenzen | Punkt "P_WL1_ML" (STERNUM.PRT) Punkt "P_WL1_ML" (STERNUM_MIR.PRT) |
| Federeigenschaft | Spring_CERC_ML ⓘ |
| Orientierung | XYZ-Richtungen definiert vom Koordinatensystem : Koordinatensystem "ACS_WL1" (STERNUM.ASM) |

Feder "F_WL2_AP1"

| | |
|------------------|--|
| Eigenschaft | Wert |
| Typ | Erweitert |
| Referenzen | Punkt "P_WL2_AP1" (STERNUM.PRT) Punkt "P_WL2_AP1" (STERNUM_MIR.PRT) |
| Federeigenschaft | Spring_CERC_AP ⓘ |
| Orientierung | XYZ-Richtungen definiert vom Koordinatensystem : Koordinatensystem "ACS_WL2" (STERNUM.ASM) |

Feder "F_WL2_AP2"

| | |
|------------------|--|
| Eigenschaft | Wert |
| Typ | Erweitert |
| Referenzen | Punkt "P_WL2_AP2" (STERNUM_MIR.PRT) Punkt "P_WL2_AP2" (STERNUM.PRT) |
| Federeigenschaft | Spring_CERC_AP ⓘ |
| Orientierung | XYZ-Richtungen definiert vom Koordinatensystem : Koordinatensystem "ACS_WL2" (STERNUM.ASM) |

Feder "F_WL2_ML"

| | |
|-------------|-----------|
| Eigenschaft | Wert |
| Typ | Erweitert |

Referenzen [Punkt "P_WL2_ML" \(STERNUM.PRT\)](#)
[Punkt "P_WL2_ML" \(STERNUM_MIR.PRT\)](#)

Federeigenschaft [Spring_CERC_ML ⓘ](#)

Orientierung XYZ-Richtungen definiert vom Koordinatensystem : [Koordinatensystem "ACS_WL2" \(STERNUM.ASM\)](#)

[Feder "F_WL3_AP1"](#)

Eigenschaft Wert

Typ Erweitert

Referenzen [Punkt "P_WL3_AP1" \(STERNUM.PRT\)](#)
[Punkt "P_WL3_AP1" \(STERNUM_MIR.PRT\)](#)

Federeigenschaft [Spring_CERC_AP ⓘ](#)

Orientierung XYZ-Richtungen definiert vom Koordinatensystem : [Koordinatensystem "ACS_WL3" \(STERNUM.ASM\)](#)

[Feder "F_WL3_AP2"](#)

Eigenschaft Wert

Typ Erweitert

Referenzen [Punkt "P_WL3_AP2" \(STERNUM_MIR.PRT\)](#)
[Punkt "P_WL3_AP2" \(STERNUM.PRT\)](#)

Federeigenschaft [Spring_CERC_AP ⓘ](#)

Orientierung XYZ-Richtungen definiert vom Koordinatensystem : [Koordinatensystem "ACS_WL3" \(STERNUM.ASM\)](#)

[Feder "F_WL3_ML"](#)

Eigenschaft Wert

Typ Erweitert

Referenzen [Punkt "P_WL3_ML" \(STERNUM.PRT\)](#)
[Punkt "P_WL3_ML" \(STERNUM_MIR.PRT\)](#)

Federeigenschaft [Spring_CERC_ML ⓘ](#)

Orientierung XYZ-Richtungen definiert vom Koordinatensystem : [Koordinatensystem "ACS_WL3" \(STERNUM.ASM\)](#)

[Feder "F_WL4_AP1"](#)

Eigenschaft Wert

Typ Erweitert

Referenzen [Punkt "P_WL4_AP1" \(STERNUM.PRT\)](#)
[Punkt "P_WL4_AP1" \(STERNUM_MIR.PRT\)](#)

Federeigenschaft [Spring_CERC_AP ⓘ](#)

Orientierung XYZ-Richtungen definiert vom Koordinatensystem : [Koordinatensystem "ACS_WL4" \(STERNUM.ASM\)](#)

[Feder "F_WL4_AP2"](#)

Eigenschaft Wert

Typ Erweitert

Referenzen [Punkt "P_WL4_AP2" \(STERNUM_MIR.PRT\)](#)
[Punkt "P_WL4_AP2" \(STERNUM.PRT\)](#)

Federeigenschaft [Spring_CERC_AP ⓘ](#)

Orientierung XYZ-Richtungen definiert vom Koordinatensystem : [Koordinatensystem "ACS_WL4" \(STERNUM.ASM\)](#)

[Feder "F_WL4_ML"](#)

Eigenschaft Wert

Typ Erweitert

Referenzen [Punkt "P_WL4_ML" \(STERNUM.PRT\)](#)
[Punkt "P_WL4_ML" \(STERNUM_MIR.PRT\)](#)

Federeigenschaft [Spring_CERC_ML ⓘ](#)

Orientierung XYZ-Richtungen definiert vom Koordinatensystem : [Koordinatensystem "ACS_WL4" \(STERNUM.ASM\)](#)

[Feder "F_WL5_AP1"](#)

Eigenschaft Wert

Typ Erweitert

Referenzen [Punkt "P_WL5_AP1" \(STERNUM.PRT\)](#)
[Punkt "P_WL5_AP1" \(STERNUM_MIR.PRT\)](#)

Federeigenschaft [Spring_CERC_AP ⓘ](#)

Orientierung XYZ-Richtungen definiert vom Koordinatensystem : [Koordinatensystem "ACS_WL5" \(STERNUM.ASM\)](#)

[Feder "F_WL5_AP2"](#)

Eigenschaft Wert

Typ Erweitert

Referenzen [Punkt "P_WL5_AP2" \(STERNUM_MIR.PRT\)](#)
[Punkt "P_WL5_AP2" \(STERNUM.PRT\)](#)

Federeigenschaft [Spring_CERC_AP ⓘ](#)

Orientierung XYZ-Richtungen definiert vom Koordinatensystem : [Koordinatensystem "ACS_WL5" \(STERNUM.ASM\)](#)

Feder "F_WL5_ML"

| Eigenschaft | Wert |
|------------------|--|
| Typ | Erweitert |
| Referenzen | Punkt "P_WL5_ML" (STERNUM.PRT) Punkt "P_WL5_ML" (STERNUM_MIR.PRT) |
| Federeigenschaft | Spring_CERC_ML ⓘ |
| Orientierung | Y-Richtung definiert von Vektor (0; 1; 0) in WCS (STERNUM.ASM) |
| Winkel | 0 [deg] |

Feder "F_WL6_AP1"

| Eigenschaft | Wert |
|------------------|--|
| Typ | Erweitert |
| Referenzen | Punkt "P_WL6_AP1" (STERNUM.PRT) Punkt "P_WL6_AP1" (STERNUM_MIR.PRT) |
| Federeigenschaft | Spring_CERC_AP ⓘ |
| Orientierung | XYZ-Richtungen definiert vom Koordinatensystem : Koordinatensystem "ACS_WL6" (STERNUM.ASM) |

Feder "F_WL6_AP2"

| Eigenschaft | Wert |
|------------------|--|
| Typ | Erweitert |
| Referenzen | Punkt "P_WL6_AP2" (STERNUM_MIR.PRT) Punkt "P_WL6_AP2" (STERNUM.PRT) |
| Federeigenschaft | Spring_CERC_AP ⓘ |
| Orientierung | XYZ-Richtungen definiert vom Koordinatensystem : Koordinatensystem "ACS_WL6" (STERNUM.ASM) |

Feder "F_WL6_ML"

| Eigenschaft | Wert |
|------------------|--|
| Typ | Erweitert |
| Referenzen | Punkt "P_WL6_ML" (STERNUM.PRT) Punkt "P_WL6_ML" (STERNUM_MIR.PRT) |
| Federeigenschaft | Spring_CERC_ML ⓘ |
| Orientierung | XYZ-Richtungen definiert vom Koordinatensystem : Koordinatensystem "ACS_WL6" (STERNUM.ASM) |

Federeigenschaften



Federeigenschaft "Spring_CERC_ML"

| Eigenschaft | Wert |
|-------------------------|--|
| Auto-Kopplung | Ja |
| Dehnsteifigkeit (K) | $800000 \begin{matrix} 0 & & 0 \\ & 0 & \\ & & 0 \end{matrix} \text{ [N / m]} = 8e+08 \begin{matrix} 0 & & 0 \\ & 0 & \\ & & 0 \end{matrix} \text{ [g / sec^2]}$ |
| Torsionssteifigkeit (T) | $0 \begin{matrix} 0 & & 0 \\ & 0 & \\ & & 0 \end{matrix} \text{ [m N / rad]} = 0 \begin{matrix} 0 & & 0 \\ & 0 & \\ & & 0 \end{matrix} \text{ [mm^2 g / (sec^2 rad)]}$ |

Federeigenschaft "Spring_CERC_AP"

| Eigenschaft | Wert |
|-------------------------|---|
| Auto-Kopplung | Ja |
| Dehnsteifigkeit (K) | $0.001 \begin{matrix} 0.001 & & 0 \\ & 12000 & \\ & & 0 \end{matrix} \text{ [N / m]} = 1 \begin{matrix} 1 & & 0 \\ & 1.2e+07 & \\ & & 0 \end{matrix} \text{ [g / sec^2]}$ |
| Torsionssteifigkeit (T) | $0 \begin{matrix} 0 & & 0 \\ & 0 & \\ & & 0 \end{matrix} \text{ [m N / rad]} = 0 \begin{matrix} 0 & & 0 \\ & 0 & \\ & & 0 \end{matrix} \text{ [mm^2 g / (sec^2 rad)]}$ |

Schnittstellen



Schnittstelle "Interface1"

| Eigenschaft | Wert |
|-----------------------------|--|
| Typ | Kontakt |
| Referenzen | Fläche (STERNUM.PRT) Fläche (STERNUM_MIR.PRT) |
| Flächen trennen | Ja |
| Kompatibles Netz generieren | Ja |
| Unendliche Reibung | Nein |

“ [Schnittstelle "Interface2"](#)

Referenzen
 Flächen trennen
 Kompatibles Netz generieren
[Schnittstelle "Interface3"](#)
 Unendliche Reibung
 Eigenschaft
 Typ
 Referenzen
 Flächen trennen
 Kompatibles Netz generieren
 Unendliche Reibung

[Fläche \(STERNUM.PRT\)](#)
[Fläche \(STERNUM_MIR.PRT\)](#)
 Ja
 Ja
 Nein
 Wert
 Kontakt
[Fläche \(STERNUM.PRT\)](#)
[Fläche \(STERNUM_MIR.PRT\)](#)
 Ja
 Ja
 Nein

[Schnittstelle "Interface4"](#)

Eigenschaft
 Typ
 Referenzen
 Flächen trennen
 Kompatibles Netz generieren
 Unendliche Reibung

Wert
 Kontakt
[Fläche \(STERNUM.PRT\)](#)
[Fläche \(STERNUM_MIR.PRT\)](#)
 Ja
 Ja
 Nein

[Schnittstelle "Interface5"](#)

Eigenschaft
 Typ
 Referenzen
 Flächen trennen
 Kompatibles Netz generieren
 Unendliche Reibung

Wert
 Kontakt
[Fläche \(STERNUM.PRT\)](#)
[Fläche \(STERNUM_MIR.PRT\)](#)
 Ja
 Ja
 Nein

[Schnittstelle "Interface6"](#)

Eigenschaft
 Typ
 Referenzen
 Flächen trennen
 Kompatibles Netz generieren
 Unendliche Reibung

Wert
 Kontakt
[Fläche \(STERNUM.PRT\)](#)
[Fläche \(STERNUM_MIR.PRT\)](#)
 Ja
 Ja
 Nein

[Schnittstelle "Interface7"](#)

Eigenschaft
 Typ
 Referenzen
 Flächen trennen
 Kompatibles Netz generieren
 Unendliche Reibung

Wert
 Kontakt
[Fläche \(STERNUM.PRT\)](#)
[Fläche \(STERNUM_MIR.PRT\)](#)
 Ja
 Ja
 Nein

[Schnittstelle "Interface8"](#)

Eigenschaft
 Typ
 Referenzen
 Flächen trennen
 Kompatibles Netz generieren
 Unendliche Reibung

Wert
 Kontakt
[Fläche \(STERNUM.PRT\)](#)
[Fläche \(STERNUM_MIR.PRT\)](#)
 Ja
 Ja
 Nein

[Schnittstelle "Interface9"](#)

Eigenschaft
 Typ
 Referenzen
 Flächen trennen
 Kompatibles Netz generieren
 Unendliche Reibung

Wert
 Kontakt
[Fläche \(STERNUM.PRT\)](#)
[Fläche \(STERNUM_MIR.PRT\)](#)
 Ja
 Ja
 Nein

“ [Schnittstelle "Interface10"](#)

| | |
|---|--|
| Referenzen | Fläche (STERNUM.PRT) Fläche (STERNUM_MIR.PRT) |
| Flächen trennen | Ja |
| Kompatibles Netz generieren | Ja |
| Schnittstelle "Interface11" | |
| Unendliche Reibung | Nein |
| Eigenschaft | Wert |
| Typ | Kontakt |
| Referenzen | Fläche (STERNUM.PRT) Fläche (STERNUM_MIR.PRT) |
| Flächen trennen | Ja |
| Kompatibles Netz generieren | Ja |
| Unendliche Reibung | Nein |

[Schnittstelle "Interface12"](#)

| | |
|-----------------------------|--|
| Eigenschaft | Wert |
| Typ | Kontakt |
| Referenzen | Fläche (STERNUM.PRT) Fläche (STERNUM_MIR.PRT) |
| Flächen trennen | Ja |
| Kompatibles Netz generieren | Ja |
| Unendliche Reibung | Nein |

[Schnittstelle "Interface13"](#)

| | |
|-----------------------------|--|
| Eigenschaft | Wert |
| Typ | Kontakt |
| Referenzen | Fläche (STERNUM.PRT) Fläche (STERNUM_MIR.PRT) |
| Flächen trennen | Ja |
| Kompatibles Netz generieren | Ja |
| Unendliche Reibung | Nein |

Messgrößen



Messgröße "Interface1_max_tang_traction" (Unterdrückt)

| | |
|--------------------------------|--|
| Eigenschaft | Wert |
| Beschreibung | Diese Messgröße wurde von Creo Simulate für die Unendliche-Reibung-Kontaktschnittstelle Interface1 erzeugt |
| Menge | Max. tangentialer Zug |
| Komponente | Betrag |
| Raumberechnungstyp | Kein(e) |
| Räumlicher Positionstyp | Über Modell |
| Ausgewähltes Simulationsobjekt | |
| Auf höherer Ebene sichtbar | Ja |

Messgröße "Interface1_any_slippage" (Unterdrückt)

| | |
|--------------------------------|--|
| Eigenschaft | Wert |
| Beschreibung | Diese Messgröße wurde von Creo Simulate für die Unendliche-Reibung-Kontaktschnittstelle Interface1 erzeugt |
| Menge | Schlupf |
| Komponente | Betrag |
| Raumberechnungstyp | Kein(e) |
| Räumlicher Positionstyp | Über Modell |
| Ausgewähltes Simulationsobjekt | |
| Auf höherer Ebene sichtbar | Ja |

Messgröße "Interface1_complete_slippage" (Unterdrückt)

| | |
|--------------------------------|--|
| Eigenschaft | Wert |
| Beschreibung | Diese Messgröße wurde von Creo Simulate für die Unendliche-Reibung-Kontaktschnittstelle Interface1 erzeugt |
| Menge | Schlupf insgesamt |
| Komponente | Betrag |
| Raumberechnungstyp | Kein(e) |
| Räumlicher Positionstyp | Über Modell |
| Ausgewähltes Simulationsobjekt | |
| Auf höherer Ebene sichtbar | Ja |

Messgröße "Interface1_average_slippage" (Unterdrückt)

| | |
|-------------|------|
| Eigenschaft | Wert |
|-------------|------|

| | |
|--------------------------------|--|
| Beschreibung | Diese Messgröße wurde von Creo Simulate für die Unendliche-Reibung-Kontaktschnittstelle Interface1 erzeugt |
| Menge | Mittlerer Schlupf |
| Komponente | Betrag |
| Rauberechnungstyp | Kein(e) |
| Räumlicher Positionstyp | Über Modell |
| Ausgewähltes Simulationsobjekt | |
| Auf höherer Ebene sichtbar | Ja |

Messgröße "Interface1_area"

| | |
|--------------------------------|---|
| Eigenschaft | Wert |
| Beschreibung | Diese Messgröße wurde von Creo Simulate für die Kontaktschnittstelle Interface1 erzeugt |
| Menge | Kontaktfläche |
| Komponente | Betrag |
| Rauberechnungstyp | Kein(e) |
| Räumlicher Positionstyp | Über Modell |
| Ausgewähltes Simulationsobjekt | |
| Auf höherer Ebene sichtbar | Ja |

Messgröße "Interface1_force"

| | |
|--------------------------------|---|
| Eigenschaft | Wert |
| Beschreibung | Diese Messgröße wurde von Creo Simulate für die Kontaktschnittstelle Interface1 erzeugt |
| Menge | Kontaktkraft |
| Komponente | Betrag |
| Rauberechnungstyp | Kein(e) |
| Räumlicher Positionstyp | Über Modell |
| Ausgewähltes Simulationsobjekt | |
| Referenzen | Fläche (STERNUM.PRT) |
| Auf höherer Ebene sichtbar | Ja |

Messgröße "Interface2_max_tang_traction" (Unterdrückt)

| | |
|--------------------------------|--|
| Eigenschaft | Wert |
| Beschreibung | Diese Messgröße wurde von Creo Simulate für die Unendliche-Reibung-Kontaktschnittstelle Interface2 erzeugt |
| Menge | Max. tangentialer Zug |
| Komponente | Betrag |
| Rauberechnungstyp | Kein(e) |
| Räumlicher Positionstyp | Über Modell |
| Ausgewähltes Simulationsobjekt | |
| Auf höherer Ebene sichtbar | Ja |

Messgröße "Interface2_any_slippage" (Unterdrückt)

| | |
|--------------------------------|--|
| Eigenschaft | Wert |
| Beschreibung | Diese Messgröße wurde von Creo Simulate für die Unendliche-Reibung-Kontaktschnittstelle Interface2 erzeugt |
| Menge | Schlupf |
| Komponente | Betrag |
| Rauberechnungstyp | Kein(e) |
| Räumlicher Positionstyp | Über Modell |
| Ausgewähltes Simulationsobjekt | |
| Auf höherer Ebene sichtbar | Ja |

Messgröße "Interface2_complete_slippage" (Unterdrückt)

| | |
|--------------------------------|--|
| Eigenschaft | Wert |
| Beschreibung | Diese Messgröße wurde von Creo Simulate für die Unendliche-Reibung-Kontaktschnittstelle Interface2 erzeugt |
| Menge | Schlupf insgesamt |
| Komponente | Betrag |
| Rauberechnungstyp | Kein(e) |
| Räumlicher Positionstyp | Über Modell |
| Ausgewähltes Simulationsobjekt | |
| Auf höherer Ebene sichtbar | Ja |

Messgröße "Interface2_average_slippage" (Unterdrückt)

| | |
|--------------|--|
| Eigenschaft | Wert |
| Beschreibung | Diese Messgröße wurde von Creo Simulate für die Unendliche-Reibung-Kontaktschnittstelle Interface2 erzeugt |
| Menge | Mittlerer Schlupf |
| Komponente | Betrag |

| | |
|--------------------------------|-------------|
| Rauberechnungstyp | Kein(e) |
| Räumlicher Positionstyp | Über Modell |
| Ausgewähltes Simulationsobjekt | |
| Auf höherer Ebene sichtbar | Ja |

Messgröße "Interface2_area"

| | |
|--------------------------------|---|
| Eigenschaft | Wert |
| Beschreibung | Diese Messgröße wurde von Creo Simulate für die Kontaktschnittstelle Interface2 erzeugt |
| Menge | Kontaktfläche |
| Komponente | Betrag |
| Rauberechnungstyp | Kein(e) |
| Räumlicher Positionstyp | Über Modell |
| Ausgewähltes Simulationsobjekt | |
| Auf höherer Ebene sichtbar | Ja |

Messgröße "Interface2_force"

| | |
|--------------------------------|---|
| Eigenschaft | Wert |
| Beschreibung | Diese Messgröße wurde von Creo Simulate für die Kontaktschnittstelle Interface2 erzeugt |
| Menge | Kontaktkraft |
| Komponente | Betrag |
| Rauberechnungstyp | Kein(e) |
| Räumlicher Positionstyp | Über Modell |
| Ausgewähltes Simulationsobjekt | |
| Referenzen | Fläche (STERNUM.PRT) |
| Auf höherer Ebene sichtbar | Ja |

Messgröße "Interface3_max_tang_traction" (Unterdrückt)

| | |
|--------------------------------|--|
| Eigenschaft | Wert |
| Beschreibung | Diese Messgröße wurde von Creo Simulate für die Unendliche-Reibung-Kontaktschnittstelle Interface3 erzeugt |
| Menge | Max. tangentialer Zug |
| Komponente | Betrag |
| Rauberechnungstyp | Kein(e) |
| Räumlicher Positionstyp | Über Modell |
| Ausgewähltes Simulationsobjekt | |
| Auf höherer Ebene sichtbar | Ja |

Messgröße "Interface3_any_slippage" (Unterdrückt)

| | |
|--------------------------------|--|
| Eigenschaft | Wert |
| Beschreibung | Diese Messgröße wurde von Creo Simulate für die Unendliche-Reibung-Kontaktschnittstelle Interface3 erzeugt |
| Menge | Schlupf |
| Komponente | Betrag |
| Rauberechnungstyp | Kein(e) |
| Räumlicher Positionstyp | Über Modell |
| Ausgewähltes Simulationsobjekt | |
| Auf höherer Ebene sichtbar | Ja |

Messgröße "Interface3_complete_slippage" (Unterdrückt)

| | |
|--------------------------------|--|
| Eigenschaft | Wert |
| Beschreibung | Diese Messgröße wurde von Creo Simulate für die Unendliche-Reibung-Kontaktschnittstelle Interface3 erzeugt |
| Menge | Schlupf insgesamt |
| Komponente | Betrag |
| Rauberechnungstyp | Kein(e) |
| Räumlicher Positionstyp | Über Modell |
| Ausgewähltes Simulationsobjekt | |
| Auf höherer Ebene sichtbar | Ja |

Messgröße "Interface3_average_slippage" (Unterdrückt)

| | |
|--------------------------------|--|
| Eigenschaft | Wert |
| Beschreibung | Diese Messgröße wurde von Creo Simulate für die Unendliche-Reibung-Kontaktschnittstelle Interface3 erzeugt |
| Menge | Mittlerer Schlupf |
| Komponente | Betrag |
| Rauberechnungstyp | Kein(e) |
| Räumlicher Positionstyp | Über Modell |
| Ausgewähltes Simulationsobjekt | |

Auf höherer Ebene sichtbar Ja

Messgröße "Interface3_area"

Eigenschaft Wert
 Beschreibung Diese Messgröße wurde von Creo Simulate für die Kontaktschnittstelle Interface3 erzeugt
 Menge Kontaktfläche
 Komponente Betrag
 Raumberechnungstyp Kein(e)
 Räumlicher Positionstyp Über Modell
 Ausgewähltes Simulationsobjekt
 Auf höherer Ebene sichtbar Ja

Messgröße "Interface3_force"

Eigenschaft Wert
 Beschreibung Diese Messgröße wurde von Creo Simulate für die Kontaktschnittstelle Interface3 erzeugt
 Menge Kontaktkraft
 Komponente Betrag
 Raumberechnungstyp Kein(e)
 Räumlicher Positionstyp Über Modell
 Ausgewähltes Simulationsobjekt
 Referenzen [Fläche \(STERNUM.PRT\)](#)
 Auf höherer Ebene sichtbar Ja

Messgröße "Interface4_max_tang_traction" (Unterdrückt)

Eigenschaft Wert
 Beschreibung Diese Messgröße wurde von Creo Simulate für die Unendliche-Reibung-Kontaktschnittstelle Interface4 erzeugt
 Menge Max. tangentialer Zug
 Komponente Betrag
 Raumberechnungstyp Kein(e)
 Räumlicher Positionstyp Über Modell
 Ausgewähltes Simulationsobjekt
 Auf höherer Ebene sichtbar Ja

Messgröße "Interface4_any_slippage" (Unterdrückt)

Eigenschaft Wert
 Beschreibung Diese Messgröße wurde von Creo Simulate für die Unendliche-Reibung-Kontaktschnittstelle Interface4 erzeugt
 Menge Schlupf
 Komponente Betrag
 Raumberechnungstyp Kein(e)
 Räumlicher Positionstyp Über Modell
 Ausgewähltes Simulationsobjekt
 Auf höherer Ebene sichtbar Ja

Messgröße "Interface4_complete_slippage" (Unterdrückt)

Eigenschaft Wert
 Beschreibung Diese Messgröße wurde von Creo Simulate für die Unendliche-Reibung-Kontaktschnittstelle Interface4 erzeugt
 Menge Schlupf insgesamt
 Komponente Betrag
 Raumberechnungstyp Kein(e)
 Räumlicher Positionstyp Über Modell
 Ausgewähltes Simulationsobjekt
 Auf höherer Ebene sichtbar Ja

Messgröße "Interface4_average_slippage" (Unterdrückt)

Eigenschaft Wert
 Beschreibung Diese Messgröße wurde von Creo Simulate für die Unendliche-Reibung-Kontaktschnittstelle Interface4 erzeugt
 Menge Mittlerer Schlupf
 Komponente Betrag
 Raumberechnungstyp Kein(e)
 Räumlicher Positionstyp Über Modell
 Ausgewähltes Simulationsobjekt
 Auf höherer Ebene sichtbar Ja

Messgröße "Interface4_area"

| | |
|--------------------------------|---|
| Eigenschaft | Wert |
| Beschreibung | Diese Messgröße wurde von Creo Simulate für die Kontaktschnittstelle Interface4 erzeugt |
| Menge | Kontaktfläche |
| Komponente | Betrag |
| Rauberechnungstyp | Kein(e) |
| Räumlicher Positionstyp | Über Modell |
| Ausgewähltes Simulationsobjekt | |
| Auf höherer Ebene sichtbar | Ja |

Messgröße "Interface4_force"

| | |
|--------------------------------|---|
| Eigenschaft | Wert |
| Beschreibung | Diese Messgröße wurde von Creo Simulate für die Kontaktschnittstelle Interface4 erzeugt |
| Menge | Kontaktkraft |
| Komponente | Betrag |
| Rauberechnungstyp | Kein(e) |
| Räumlicher Positionstyp | Über Modell |
| Ausgewähltes Simulationsobjekt | |
| Referenzen | Fläche (STERNUM.PRT) |
| Auf höherer Ebene sichtbar | Ja |

Messgröße "Interface5_max_tang_traction" (Unterdrückt)

| | |
|--------------------------------|--|
| Eigenschaft | Wert |
| Beschreibung | Diese Messgröße wurde von Creo Simulate für die Unendliche-Reibung-Kontaktschnittstelle Interface5 erzeugt |
| Menge | Max. tangentialer Zug |
| Komponente | Betrag |
| Rauberechnungstyp | Kein(e) |
| Räumlicher Positionstyp | Über Modell |
| Ausgewähltes Simulationsobjekt | |
| Auf höherer Ebene sichtbar | Ja |

Messgröße "Interface5_any_slippage" (Unterdrückt)

| | |
|--------------------------------|--|
| Eigenschaft | Wert |
| Beschreibung | Diese Messgröße wurde von Creo Simulate für die Unendliche-Reibung-Kontaktschnittstelle Interface5 erzeugt |
| Menge | Schlupf |
| Komponente | Betrag |
| Rauberechnungstyp | Kein(e) |
| Räumlicher Positionstyp | Über Modell |
| Ausgewähltes Simulationsobjekt | |
| Auf höherer Ebene sichtbar | Ja |

Messgröße "Interface5_complete_slippage" (Unterdrückt)

| | |
|--------------------------------|--|
| Eigenschaft | Wert |
| Beschreibung | Diese Messgröße wurde von Creo Simulate für die Unendliche-Reibung-Kontaktschnittstelle Interface5 erzeugt |
| Menge | Schlupf insgesamt |
| Komponente | Betrag |
| Rauberechnungstyp | Kein(e) |
| Räumlicher Positionstyp | Über Modell |
| Ausgewähltes Simulationsobjekt | |
| Auf höherer Ebene sichtbar | Ja |

Messgröße "Interface5_average_slippage" (Unterdrückt)

| | |
|--------------------------------|--|
| Eigenschaft | Wert |
| Beschreibung | Diese Messgröße wurde von Creo Simulate für die Unendliche-Reibung-Kontaktschnittstelle Interface5 erzeugt |
| Menge | Mittlerer Schlupf |
| Komponente | Betrag |
| Rauberechnungstyp | Kein(e) |
| Räumlicher Positionstyp | Über Modell |
| Ausgewähltes Simulationsobjekt | |
| Auf höherer Ebene sichtbar | Ja |

Messgröße "Interface5_area"

| | |
|--------------|---|
| Eigenschaft | Wert |
| Beschreibung | Diese Messgröße wurde von Creo Simulate für die Kontaktschnittstelle Interface5 erzeugt |
| Menge | Kontaktfläche |

| | |
|--------------------------------|-------------|
| Komponente | Betrag |
| Raumberechnungstyp | Kein(e) |
| Räumlicher Positionstyp | Über Modell |
| Ausgewähltes Simulationsobjekt | |
| Auf höherer Ebene sichtbar | Ja |

[Messgröße "Interface5_force"](#)

| | |
|--------------------------------|---|
| Eigenschaft | Wert |
| Beschreibung | Diese Messgröße wurde von Creo Simulate für die Kontaktschnittstelle Interface5 erzeugt |
| Menge | Kontaktkraft |
| Komponente | Betrag |
| Raumberechnungstyp | Kein(e) |
| Räumlicher Positionstyp | Über Modell |
| Ausgewähltes Simulationsobjekt | |
| Referenzen | Fläche (STERNUM.PRT) |
| Auf höherer Ebene sichtbar | Ja |

Messgröße "Interface6_max_tang_traction" (Unterdrückt)

| | |
|--------------------------------|--|
| Eigenschaft | Wert |
| Beschreibung | Diese Messgröße wurde von Creo Simulate für die Unendliche-Reibung-Kontaktschnittstelle Interface6 erzeugt |
| Menge | Max. tangentialer Zug |
| Komponente | Betrag |
| Raumberechnungstyp | Kein(e) |
| Räumlicher Positionstyp | Über Modell |
| Ausgewähltes Simulationsobjekt | |
| Auf höherer Ebene sichtbar | Ja |

Messgröße "Interface6_any_slippage" (Unterdrückt)

| | |
|--------------------------------|--|
| Eigenschaft | Wert |
| Beschreibung | Diese Messgröße wurde von Creo Simulate für die Unendliche-Reibung-Kontaktschnittstelle Interface6 erzeugt |
| Menge | Schlupf |
| Komponente | Betrag |
| Raumberechnungstyp | Kein(e) |
| Räumlicher Positionstyp | Über Modell |
| Ausgewähltes Simulationsobjekt | |
| Auf höherer Ebene sichtbar | Ja |

Messgröße "Interface6_complete_slippage" (Unterdrückt)

| | |
|--------------------------------|--|
| Eigenschaft | Wert |
| Beschreibung | Diese Messgröße wurde von Creo Simulate für die Unendliche-Reibung-Kontaktschnittstelle Interface6 erzeugt |
| Menge | Schlupf insgesamt |
| Komponente | Betrag |
| Raumberechnungstyp | Kein(e) |
| Räumlicher Positionstyp | Über Modell |
| Ausgewähltes Simulationsobjekt | |
| Auf höherer Ebene sichtbar | Ja |

Messgröße "Interface6_average_slippage" (Unterdrückt)

| | |
|--------------------------------|--|
| Eigenschaft | Wert |
| Beschreibung | Diese Messgröße wurde von Creo Simulate für die Unendliche-Reibung-Kontaktschnittstelle Interface6 erzeugt |
| Menge | Mittlerer Schlupf |
| Komponente | Betrag |
| Raumberechnungstyp | Kein(e) |
| Räumlicher Positionstyp | Über Modell |
| Ausgewähltes Simulationsobjekt | |
| Auf höherer Ebene sichtbar | Ja |

[Messgröße "Interface6_area"](#)

| | |
|-------------------------|---|
| Eigenschaft | Wert |
| Beschreibung | Diese Messgröße wurde von Creo Simulate für die Kontaktschnittstelle Interface6 erzeugt |
| Menge | Kontaktfläche |
| Komponente | Betrag |
| Raumberechnungstyp | Kein(e) |
| Räumlicher Positionstyp | Über Modell |

Ausgewähltes Simulationsobjekt

Auf höherer Ebene sichtbar Ja

Messgröße "Interface6_force"

Eigenschaft Wert
 Beschreibung Diese Messgröße wurde von Creo Simulate für die Kontaktschnittstelle Interface6 erzeugt
 Menge Kontaktkraft
 Komponente Betrag
 Raumberechnungstyp Kein(e)
 Räumlicher Positionstyp Über Modell
 Ausgewähltes Simulationsobjekt
 Referenzen [Fläche \(STERNUM.PRT\)](#)
 Auf höherer Ebene sichtbar Ja

Messgröße "Interface7_max_tang_traction" (Unterdrückt)

Eigenschaft Wert
 Beschreibung Diese Messgröße wurde von Creo Simulate für die Unendliche-Reibung-Kontaktschnittstelle Interface7 erzeugt
 Menge Max. tangentialer Zug
 Komponente Betrag
 Raumberechnungstyp Kein(e)
 Räumlicher Positionstyp Über Modell
 Ausgewähltes Simulationsobjekt
 Auf höherer Ebene sichtbar Ja

Messgröße "Interface7_any_slippage" (Unterdrückt)

Eigenschaft Wert
 Beschreibung Diese Messgröße wurde von Creo Simulate für die Unendliche-Reibung-Kontaktschnittstelle Interface7 erzeugt
 Menge Schlupf
 Komponente Betrag
 Raumberechnungstyp Kein(e)
 Räumlicher Positionstyp Über Modell
 Ausgewähltes Simulationsobjekt
 Auf höherer Ebene sichtbar Ja

Messgröße "Interface7_complete_slippage" (Unterdrückt)

Eigenschaft Wert
 Beschreibung Diese Messgröße wurde von Creo Simulate für die Unendliche-Reibung-Kontaktschnittstelle Interface7 erzeugt
 Menge Schlupf insgesamt
 Komponente Betrag
 Raumberechnungstyp Kein(e)
 Räumlicher Positionstyp Über Modell
 Ausgewähltes Simulationsobjekt
 Auf höherer Ebene sichtbar Ja

Messgröße "Interface7_average_slippage" (Unterdrückt)

Eigenschaft Wert
 Beschreibung Diese Messgröße wurde von Creo Simulate für die Unendliche-Reibung-Kontaktschnittstelle Interface7 erzeugt
 Menge Mittlerer Schlupf
 Komponente Betrag
 Raumberechnungstyp Kein(e)
 Räumlicher Positionstyp Über Modell
 Ausgewähltes Simulationsobjekt
 Auf höherer Ebene sichtbar Ja

Messgröße "Interface7_area"

Eigenschaft Wert
 Beschreibung Diese Messgröße wurde von Creo Simulate für die Kontaktschnittstelle Interface7 erzeugt
 Menge Kontaktfläche
 Komponente Betrag
 Raumberechnungstyp Kein(e)
 Räumlicher Positionstyp Über Modell
 Ausgewähltes Simulationsobjekt
 Auf höherer Ebene sichtbar Ja

| | |
|--|--|
| Messgröße "Interface7_force" | |
| Komponente | Betrag |
| Rauberechnungstyp | Kein(e) |
| Räumlicher Positionstyp | Über Modell |
| Ausgewähltes Simulationsobjekt | |
| Messgröße "Interface8_max_tang_traction" (Unterdrückt) | |
| Referenzen | Fläche (STERNUM.PRT) |
| Eigenschaft | Wert |
| Auf höherer Ebene sichtbar | Ja |
| Beschreibung | Diese Messgröße wurde von Creo Simulate für die Unendliche-Reibung-Kontaktschnittstelle Interface8 erzeugt |
| Menge | Max. tangentialer Zug |
| Komponente | Betrag |
| Rauberechnungstyp | Kein(e) |
| Räumlicher Positionstyp | Über Modell |
| Ausgewähltes Simulationsobjekt | |
| Auf höherer Ebene sichtbar | Ja |

| | |
|--|--|
| Messgröße "Interface8_any_slippage" (Unterdrückt) | |
| Eigenschaft | Wert |
| Beschreibung | Diese Messgröße wurde von Creo Simulate für die Unendliche-Reibung-Kontaktschnittstelle Interface8 erzeugt |
| Menge | Schlupf |
| Komponente | Betrag |
| Rauberechnungstyp | Kein(e) |
| Räumlicher Positionstyp | Über Modell |
| Ausgewähltes Simulationsobjekt | |
| Auf höherer Ebene sichtbar | Ja |

| | |
|---|--|
| Messgröße "Interface8_complete_slippage" (Unterdrückt) | |
| Eigenschaft | Wert |
| Beschreibung | Diese Messgröße wurde von Creo Simulate für die Unendliche-Reibung-Kontaktschnittstelle Interface8 erzeugt |
| Menge | Schlupf insgesamt |
| Komponente | Betrag |
| Rauberechnungstyp | Kein(e) |
| Räumlicher Positionstyp | Über Modell |
| Ausgewähltes Simulationsobjekt | |
| Auf höherer Ebene sichtbar | Ja |

| | |
|--|--|
| Messgröße "Interface8_average_slippage" (Unterdrückt) | |
| Eigenschaft | Wert |
| Beschreibung | Diese Messgröße wurde von Creo Simulate für die Unendliche-Reibung-Kontaktschnittstelle Interface8 erzeugt |
| Menge | Mittlerer Schlupf |
| Komponente | Betrag |
| Rauberechnungstyp | Kein(e) |
| Räumlicher Positionstyp | Über Modell |
| Ausgewähltes Simulationsobjekt | |
| Auf höherer Ebene sichtbar | Ja |

| | |
|------------------------------------|---|
| Messgröße "Interface8_area" | |
| Eigenschaft | Wert |
| Beschreibung | Diese Messgröße wurde von Creo Simulate für die Kontaktschnittstelle Interface8 erzeugt |
| Menge | Kontaktfläche |
| Komponente | Betrag |
| Rauberechnungstyp | Kein(e) |
| Räumlicher Positionstyp | Über Modell |
| Ausgewähltes Simulationsobjekt | |
| Auf höherer Ebene sichtbar | Ja |

| | |
|-------------------------------------|---|
| Messgröße "Interface8_force" | |
| Eigenschaft | Wert |
| Beschreibung | Diese Messgröße wurde von Creo Simulate für die Kontaktschnittstelle Interface8 erzeugt |
| Menge | Kontaktkraft |
| Komponente | Betrag |
| Rauberechnungstyp | Kein(e) |
| Räumlicher Positionstyp | Über Modell |
| Ausgewähltes Simulationsobjekt | |
| Referenzen | Fläche (STERNUM.PRT) |
| Auf höherer Ebene sichtbar | Ja |

Messgröße "Interface9_max_tang_traction" (Unterdrückt)

| | |
|--------------------------------|--|
| Eigenschaft | Wert |
| Beschreibung | Diese Messgröße wurde von Creo Simulate für die Unendliche-Reibung-Kontaktschnittstelle Interface9 erzeugt |
| Menge | Max. tangentialer Zug |
| Komponente | Betrag |
| Rauberechnungstyp | Kein(e) |
| Räumlicher Positionstyp | Über Modell |
| Ausgewähltes Simulationsobjekt | |
| Auf höherer Ebene sichtbar | Ja |

Messgröße "Interface9_any_slippage" (Unterdrückt)

| | |
|--------------------------------|--|
| Eigenschaft | Wert |
| Beschreibung | Diese Messgröße wurde von Creo Simulate für die Unendliche-Reibung-Kontaktschnittstelle Interface9 erzeugt |
| Menge | Schlupf |
| Komponente | Betrag |
| Rauberechnungstyp | Kein(e) |
| Räumlicher Positionstyp | Über Modell |
| Ausgewähltes Simulationsobjekt | |
| Auf höherer Ebene sichtbar | Ja |

Messgröße "Interface9_complete_slippage" (Unterdrückt)

| | |
|--------------------------------|--|
| Eigenschaft | Wert |
| Beschreibung | Diese Messgröße wurde von Creo Simulate für die Unendliche-Reibung-Kontaktschnittstelle Interface9 erzeugt |
| Menge | Schlupf insgesamt |
| Komponente | Betrag |
| Rauberechnungstyp | Kein(e) |
| Räumlicher Positionstyp | Über Modell |
| Ausgewähltes Simulationsobjekt | |
| Auf höherer Ebene sichtbar | Ja |

Messgröße "Interface9_average_slippage" (Unterdrückt)

| | |
|--------------------------------|--|
| Eigenschaft | Wert |
| Beschreibung | Diese Messgröße wurde von Creo Simulate für die Unendliche-Reibung-Kontaktschnittstelle Interface9 erzeugt |
| Menge | Mittlerer Schlupf |
| Komponente | Betrag |
| Rauberechnungstyp | Kein(e) |
| Räumlicher Positionstyp | Über Modell |
| Ausgewähltes Simulationsobjekt | |
| Auf höherer Ebene sichtbar | Ja |

[Messgröße "Interface9_area"](#)

| | |
|--------------------------------|---|
| Eigenschaft | Wert |
| Beschreibung | Diese Messgröße wurde von Creo Simulate für die Kontaktschnittstelle Interface9 erzeugt |
| Menge | Kontaktfläche |
| Komponente | Betrag |
| Rauberechnungstyp | Kein(e) |
| Räumlicher Positionstyp | Über Modell |
| Ausgewähltes Simulationsobjekt | |
| Auf höherer Ebene sichtbar | Ja |

[Messgröße "Interface9_force"](#)

| | |
|--------------------------------|---|
| Eigenschaft | Wert |
| Beschreibung | Diese Messgröße wurde von Creo Simulate für die Kontaktschnittstelle Interface9 erzeugt |
| Menge | Kontaktkraft |
| Komponente | Betrag |
| Rauberechnungstyp | Kein(e) |
| Räumlicher Positionstyp | Über Modell |
| Ausgewähltes Simulationsobjekt | |
| Referenzen | Fläche (STERNUM.PRT) |
| Auf höherer Ebene sichtbar | Ja |

Messgröße "Interface10_max_tang_traction" (Unterdrückt)

| | |
|-------------|------|
| Eigenschaft | Wert |
|-------------|------|

| | |
|--------------------------------|---|
| Beschreibung | Diese Messgröße wurde von Creo Simulate für die Unendliche-Reibung-Kontaktschnittstelle Interface10 erzeugt |
| Menge | Max. tangentialer Zug |
| Komponente | Betrag |
| Rauberechnungstyp | Kein(e) |
| Räumlicher Positionstyp | Über Modell |
| Ausgewähltes Simulationsobjekt | |
| Auf höherer Ebene sichtbar | Ja |

Messgröße "Interface10_any_slippage" (Unterdrückt)

| | |
|--------------------------------|---|
| Eigenschaft | Wert |
| Beschreibung | Diese Messgröße wurde von Creo Simulate für die Unendliche-Reibung-Kontaktschnittstelle Interface10 erzeugt |
| Menge | Schlupf |
| Komponente | Betrag |
| Rauberechnungstyp | Kein(e) |
| Räumlicher Positionstyp | Über Modell |
| Ausgewähltes Simulationsobjekt | |
| Auf höherer Ebene sichtbar | Ja |

Messgröße "Interface10_complete_slippage" (Unterdrückt)

| | |
|--------------------------------|---|
| Eigenschaft | Wert |
| Beschreibung | Diese Messgröße wurde von Creo Simulate für die Unendliche-Reibung-Kontaktschnittstelle Interface10 erzeugt |
| Menge | Schlupf insgesamt |
| Komponente | Betrag |
| Rauberechnungstyp | Kein(e) |
| Räumlicher Positionstyp | Über Modell |
| Ausgewähltes Simulationsobjekt | |
| Auf höherer Ebene sichtbar | Ja |

Messgröße "Interface10_average_slippage" (Unterdrückt)

| | |
|--------------------------------|---|
| Eigenschaft | Wert |
| Beschreibung | Diese Messgröße wurde von Creo Simulate für die Unendliche-Reibung-Kontaktschnittstelle Interface10 erzeugt |
| Menge | Mittlerer Schlupf |
| Komponente | Betrag |
| Rauberechnungstyp | Kein(e) |
| Räumlicher Positionstyp | Über Modell |
| Ausgewähltes Simulationsobjekt | |
| Auf höherer Ebene sichtbar | Ja |

Messgröße "Interface10_area"

| | |
|--------------------------------|--|
| Eigenschaft | Wert |
| Beschreibung | Diese Messgröße wurde von Creo Simulate für die Kontaktschnittstelle Interface10 erzeugt |
| Menge | Kontaktfläche |
| Komponente | Betrag |
| Rauberechnungstyp | Kein(e) |
| Räumlicher Positionstyp | Über Modell |
| Ausgewähltes Simulationsobjekt | |
| Auf höherer Ebene sichtbar | Ja |

Messgröße "Interface10_force"

| | |
|--------------------------------|--|
| Eigenschaft | Wert |
| Beschreibung | Diese Messgröße wurde von Creo Simulate für die Kontaktschnittstelle Interface10 erzeugt |
| Menge | Kontaktkraft |
| Komponente | Betrag |
| Rauberechnungstyp | Kein(e) |
| Räumlicher Positionstyp | Über Modell |
| Ausgewähltes Simulationsobjekt | |
| Referenzen | Fläche (STERNUM.PRT) |
| Auf höherer Ebene sichtbar | Ja |

Messgröße "Interface11_max_tang_traction" (Unterdrückt)

| | |
|--------------|---|
| Eigenschaft | Wert |
| Beschreibung | Diese Messgröße wurde von Creo Simulate für die Unendliche-Reibung-Kontaktschnittstelle Interface11 erzeugt |
| Menge | Max. tangentialer Zug |
| Komponente | Betrag |

| | |
|--------------------------------|-------------|
| Rauberechnungstyp | Kein(e) |
| Räumlicher Positionstyp | Über Modell |
| Ausgewähltes Simulationsobjekt | |
| Auf höherer Ebene sichtbar | Ja |

Messgröße "Interface11_any_slippage" (Unterdrückt)

| | |
|--------------------------------|---|
| Eigenschaft | Wert |
| Beschreibung | Diese Messgröße wurde von Creo Simulate für die Unendliche-Reibung-Kontaktschnittstelle Interface11 erzeugt |
| Menge | Schlupf |
| Komponente | Betrag |
| Rauberechnungstyp | Kein(e) |
| Räumlicher Positionstyp | Über Modell |
| Ausgewähltes Simulationsobjekt | |
| Auf höherer Ebene sichtbar | Ja |

Messgröße "Interface11_complete_slippage" (Unterdrückt)

| | |
|--------------------------------|---|
| Eigenschaft | Wert |
| Beschreibung | Diese Messgröße wurde von Creo Simulate für die Unendliche-Reibung-Kontaktschnittstelle Interface11 erzeugt |
| Menge | Schlupf insgesamt |
| Komponente | Betrag |
| Rauberechnungstyp | Kein(e) |
| Räumlicher Positionstyp | Über Modell |
| Ausgewähltes Simulationsobjekt | |
| Auf höherer Ebene sichtbar | Ja |

Messgröße "Interface11_average_slippage" (Unterdrückt)

| | |
|--------------------------------|---|
| Eigenschaft | Wert |
| Beschreibung | Diese Messgröße wurde von Creo Simulate für die Unendliche-Reibung-Kontaktschnittstelle Interface11 erzeugt |
| Menge | Mittlerer Schlupf |
| Komponente | Betrag |
| Rauberechnungstyp | Kein(e) |
| Räumlicher Positionstyp | Über Modell |
| Ausgewähltes Simulationsobjekt | |
| Auf höherer Ebene sichtbar | Ja |

Messgröße "Interface11_area"

| | |
|--------------------------------|--|
| Eigenschaft | Wert |
| Beschreibung | Diese Messgröße wurde von Creo Simulate für die Kontaktschnittstelle Interface11 erzeugt |
| Menge | Kontaktfläche |
| Komponente | Betrag |
| Rauberechnungstyp | Kein(e) |
| Räumlicher Positionstyp | Über Modell |
| Ausgewähltes Simulationsobjekt | |
| Auf höherer Ebene sichtbar | Ja |

Messgröße "Interface11_force"

| | |
|--------------------------------|--|
| Eigenschaft | Wert |
| Beschreibung | Diese Messgröße wurde von Creo Simulate für die Kontaktschnittstelle Interface11 erzeugt |
| Menge | Kontaktkraft |
| Komponente | Betrag |
| Rauberechnungstyp | Kein(e) |
| Räumlicher Positionstyp | Über Modell |
| Ausgewähltes Simulationsobjekt | |
| Referenzen | Fläche (STERNUM.PRT) |
| Auf höherer Ebene sichtbar | Ja |

Messgröße "Interface12_max_tang_traction" (Unterdrückt)

| | |
|--------------------------------|---|
| Eigenschaft | Wert |
| Beschreibung | Diese Messgröße wurde von Creo Simulate für die Unendliche-Reibung-Kontaktschnittstelle Interface12 erzeugt |
| Menge | Max. tangentialer Zug |
| Komponente | Betrag |
| Rauberechnungstyp | Kein(e) |
| Räumlicher Positionstyp | Über Modell |
| Ausgewähltes Simulationsobjekt | |

Auf höherer Ebene sichtbar Ja

Messgröße "Interface12_any_slippage" (Unterdrückt)

Eigenschaft Wert
 Beschreibung Diese Messgröße wurde von Creo Simulate für die Unendliche-Reibung-Kontaktschnittstelle Interface12 erzeugt
 Menge Schlupf
 Komponente Betrag
 Raumberechnungstyp Kein(e)
 Räumlicher Positionstyp Über Modell
 Ausgewähltes Simulationsobjekt
 Auf höherer Ebene sichtbar Ja

Messgröße "Interface12_complete_slippage" (Unterdrückt)

Eigenschaft Wert
 Beschreibung Diese Messgröße wurde von Creo Simulate für die Unendliche-Reibung-Kontaktschnittstelle Interface12 erzeugt
 Menge Schlupf insgesamt
 Komponente Betrag
 Raumberechnungstyp Kein(e)
 Räumlicher Positionstyp Über Modell
 Ausgewähltes Simulationsobjekt
 Auf höherer Ebene sichtbar Ja

Messgröße "Interface12_average_slippage" (Unterdrückt)

Eigenschaft Wert
 Beschreibung Diese Messgröße wurde von Creo Simulate für die Unendliche-Reibung-Kontaktschnittstelle Interface12 erzeugt
 Menge Mittlerer Schlupf
 Komponente Betrag
 Raumberechnungstyp Kein(e)
 Räumlicher Positionstyp Über Modell
 Ausgewähltes Simulationsobjekt
 Auf höherer Ebene sichtbar Ja

[Messgröße "Interface12_area"](#)

Eigenschaft Wert
 Beschreibung Diese Messgröße wurde von Creo Simulate für die Kontaktschnittstelle Interface12 erzeugt
 Menge Kontaktfläche
 Komponente Betrag
 Raumberechnungstyp Kein(e)
 Räumlicher Positionstyp Über Modell
 Ausgewähltes Simulationsobjekt
 Auf höherer Ebene sichtbar Ja

[Messgröße "Interface12_force"](#)

Eigenschaft Wert
 Beschreibung Diese Messgröße wurde von Creo Simulate für die Kontaktschnittstelle Interface12 erzeugt
 Menge Kontaktkraft
 Komponente Betrag
 Raumberechnungstyp Kein(e)
 Räumlicher Positionstyp Über Modell
 Ausgewähltes Simulationsobjekt
 Referenzen [Fläche \(STERNUM.PRT\)](#)
 Auf höherer Ebene sichtbar Ja

Messgröße "Interface13_max_tang_traction" (Unterdrückt)

Eigenschaft Wert
 Beschreibung Diese Messgröße wurde von Creo Simulate für die Unendliche-Reibung-Kontaktschnittstelle Interface13 erzeugt
 Menge Max. tangentialer Zug
 Komponente Betrag
 Raumberechnungstyp Kein(e)
 Räumlicher Positionstyp Über Modell
 Ausgewähltes Simulationsobjekt
 Auf höherer Ebene sichtbar Ja

Messgröße "Interface13_any_slippage" (Unterdrückt)

| | |
|--------------------------------|---|
| Eigenschaft | Wert |
| Beschreibung | Diese Messgröße wurde von Creo Simulate für die Unendliche-Reibung-Kontaktschnittstelle Interface13 erzeugt |
| Menge | Schlupf |
| Komponente | Betrag |
| Rauberechnungstyp | Kein(e) |
| Räumlicher Positionstyp | Über Modell |
| Ausgewähltes Simulationsobjekt | |
| Auf höherer Ebene sichtbar | Ja |

Messgröße "Interface13_complete_slippage" (Unterdrückt)

| | |
|--------------------------------|---|
| Eigenschaft | Wert |
| Beschreibung | Diese Messgröße wurde von Creo Simulate für die Unendliche-Reibung-Kontaktschnittstelle Interface13 erzeugt |
| Menge | Schlupf insgesamt |
| Komponente | Betrag |
| Rauberechnungstyp | Kein(e) |
| Räumlicher Positionstyp | Über Modell |
| Ausgewähltes Simulationsobjekt | |
| Auf höherer Ebene sichtbar | Ja |

Messgröße "Interface13_average_slippage" (Unterdrückt)

| | |
|--------------------------------|---|
| Eigenschaft | Wert |
| Beschreibung | Diese Messgröße wurde von Creo Simulate für die Unendliche-Reibung-Kontaktschnittstelle Interface13 erzeugt |
| Menge | Mittlerer Schlupf |
| Komponente | Betrag |
| Rauberechnungstyp | Kein(e) |
| Räumlicher Positionstyp | Über Modell |
| Ausgewähltes Simulationsobjekt | |
| Auf höherer Ebene sichtbar | Ja |

[Messgröße "Interface13_area"](#)

| | |
|--------------------------------|--|
| Eigenschaft | Wert |
| Beschreibung | Diese Messgröße wurde von Creo Simulate für die Kontaktschnittstelle Interface13 erzeugt |
| Menge | Kontaktfläche |
| Komponente | Betrag |
| Rauberechnungstyp | Kein(e) |
| Räumlicher Positionstyp | Über Modell |
| Ausgewähltes Simulationsobjekt | |
| Auf höherer Ebene sichtbar | Ja |

[Messgröße "Interface13_force"](#)

| | |
|--------------------------------|--|
| Eigenschaft | Wert |
| Beschreibung | Diese Messgröße wurde von Creo Simulate für die Kontaktschnittstelle Interface13 erzeugt |
| Menge | Kontaktkraft |
| Komponente | Betrag |
| Rauberechnungstyp | Kein(e) |
| Räumlicher Positionstyp | Über Modell |
| Ausgewähltes Simulationsobjekt | |
| Referenzen | Fläche (STERNUM.PRT) |
| Auf höherer Ebene sichtbar | Ja |

Netzsteuerungen



[Netzsteuerung "AutoGEMControl1"](#)

| | |
|------------------------|--|
| Eigenschaft | Wert |
| Platziert auf Folie(n) | SIM_AGEM_CONTR : OPERATION - Verdeckt |
| Typ | Maximale Elementgröße |
| Referenzen | Volumen (STERNUM.PRT) Volumen (STERNUM_MIR.PRT) |
| Wert | 2 [mm] |

Simulationsmodell : STERNUM.PRT

Gewichtete Verbindungen



Gewichtete Verbindung "WL1 AP1 R"

Referenzen der unabhängigen Seite
 Koordinatensystem der unabhängigen Seite
 Translatorische Freiheitsgrade
 Referenzen der abhängigen Seite
 Koordinatensystem der abhängigen Seite
 Eigenschaft
 Platziert auf Folie(n)
 Referenzen der unabhängigen Seite
 Koordinatensystem der unabhängigen Seite
 Translatorische Freiheitsgrade
 Referenzen der abhängigen Seite
 Koordinatensystem der abhängigen Seite

[Fläche \(STERNUM.PRT\)](#)
[Fläche \(STERNUM.PRT\)](#)
[Koordinatensystem "CS_WL1 AP1" \(STERNUM.PRT\)](#)
 x y z
[Punkt "P_WL1 AP1" \(STERNUM.PRT\)](#)
 WCS (STERNUM.PRT)
 SIM_WL : OPERATION - Verdeckt
[Fläche \(STERNUM.PRT\)](#)
[Koordinatensystem "CS_WL1 ML" \(STERNUM.PRT\)](#)
 x y z
[Punkt "P_WL1 ML" \(STERNUM.PRT\)](#)
 WCS (STERNUM.PRT)

Gewichtete Verbindung "WL1 AP2 R"

Eigenschaft
 Platziert auf Folie(n)
 Referenzen der unabhängigen Seite
 Koordinatensystem der unabhängigen Seite
 Translatorische Freiheitsgrade
 Referenzen der abhängigen Seite
 Koordinatensystem der abhängigen Seite

Wert
 SIM_WL : OPERATION - Verdeckt
[Fläche \(STERNUM.PRT\)](#)
[Fläche \(STERNUM.PRT\)](#)
[Koordinatensystem "CS_WL1 AP2" \(STERNUM.PRT\)](#)
 x y z
[Punkt "P_WL1 AP2" \(STERNUM.PRT\)](#)
 WCS (STERNUM.PRT)

Gewichtete Verbindung "WL2 AP1 R"

Eigenschaft
 Platziert auf Folie(n)
 Referenzen der unabhängigen Seite
 Koordinatensystem der unabhängigen Seite
 Translatorische Freiheitsgrade
 Referenzen der abhängigen Seite
 Koordinatensystem der abhängigen Seite

Wert
 SIM_WL : OPERATION - Verdeckt
[Fläche \(STERNUM.PRT\)](#)
[Fläche \(STERNUM.PRT\)](#)
[Koordinatensystem "CS_WL2 AP1" \(STERNUM.PRT\)](#)
 x y z
[Punkt "P_WL2 AP1" \(STERNUM.PRT\)](#)
 WCS (STERNUM.PRT)

Gewichtete Verbindung "WL2 ML R"

Eigenschaft
 Platziert auf Folie(n)
 Referenzen der unabhängigen Seite
 Koordinatensystem der unabhängigen Seite
 Translatorische Freiheitsgrade
 Referenzen der abhängigen Seite
 Koordinatensystem der abhängigen Seite

Wert
 SIM_WL : OPERATION - Verdeckt
[Fläche \(STERNUM.PRT\)](#)
[Koordinatensystem "CS_WL2 ML" \(STERNUM.PRT\)](#)
 x y z
[Punkt "P_WL2 ML" \(STERNUM.PRT\)](#)
 WCS (STERNUM.PRT)

Gewichtete Verbindung "WL2 AP2 R"

Eigenschaft
 Platziert auf Folie(n)
 Referenzen der unabhängigen Seite
 Koordinatensystem der unabhängigen Seite
 Translatorische Freiheitsgrade
 Referenzen der abhängigen Seite
 Koordinatensystem der abhängigen Seite

Wert
 SIM_WL : OPERATION - Verdeckt
[Fläche \(STERNUM.PRT\)](#)
[Koordinatensystem "CS_WL2 AP2" \(STERNUM.PRT\)](#)
 x y z
[Punkt "P_WL2 AP2" \(STERNUM.PRT\)](#)
 WCS (STERNUM.PRT)

Gewichtete Verbindung "WL3 AP1 R"

Eigenschaft
 Platziert auf Folie(n)
 Referenzen der unabhängigen Seite
 Koordinatensystem der unabhängigen Seite
 Translatorische Freiheitsgrade
 Referenzen der abhängigen Seite
 Koordinatensystem der abhängigen Seite

Wert
 SIM_WL : OPERATION - Verdeckt
[Fläche \(STERNUM.PRT\)](#)
[Fläche \(STERNUM.PRT\)](#)
[Koordinatensystem "CS_WL3 AP1" \(STERNUM.PRT\)](#)
 x y z
[Punkt "P_WL3 AP1" \(STERNUM.PRT\)](#)
 WCS (STERNUM.PRT)

Gewichtete Verbindung "WL3 ML R"

Eigenschaft
 Platziert auf Folie(n)
 Referenzen der unabhängigen Seite

Wert
 SIM_WL : OPERATION - Verdeckt
[Fläche \(STERNUM.PRT\)](#)

Koordinatensystem der unabhängigen Seite
 Translatorische Freiheitsgrade
 Referenzen der abhängigen Seite
 Koordinatensystem der abhängigen Seite

[Koordinatensystem "CS_WL3_ML" \(STERNUM.PRT\)](#)
 x y z
[Punkt "P_WL3_ML" \(STERNUM.PRT\)](#)
 WCS (STERNUM.PRT)

[Gewichtete Verbindung "WL3_AP2_R"](#)

Eigenschaft
 Platziert auf Folie(n)
 Referenzen der unabhängigen Seite
 Koordinatensystem der unabhängigen Seite
 Translatorische Freiheitsgrade
 Referenzen der abhängigen Seite
 Koordinatensystem der abhängigen Seite

Wert
 SIM_WL : OPERATION - Verdeckt
[Fläche \(STERNUM.PRT\)](#)
[Fläche \(STERNUM.PRT\)](#)
[Koordinatensystem "CS_WL3_AP2" \(STERNUM.PRT\)](#)
 x y z
[Punkt "P_WL3_AP2" \(STERNUM.PRT\)](#)
 WCS (STERNUM.PRT)

[Gewichtete Verbindung "WL4_AP1_R"](#)

Eigenschaft
 Platziert auf Folie(n)
 Referenzen der unabhängigen Seite
 Koordinatensystem der unabhängigen Seite
 Translatorische Freiheitsgrade
 Referenzen der abhängigen Seite
 Koordinatensystem der abhängigen Seite

Wert
 SIM_WL : OPERATION - Verdeckt
[Fläche \(STERNUM.PRT\)](#)
[Fläche \(STERNUM.PRT\)](#)
[Koordinatensystem "CS_WL4_AP1" \(STERNUM.PRT\)](#)
 x y z
[Punkt "P_WL4_AP1" \(STERNUM.PRT\)](#)
 WCS (STERNUM.PRT)

[Gewichtete Verbindung "WL4_ML_R"](#)

Eigenschaft
 Platziert auf Folie(n)
 Referenzen der unabhängigen Seite
 Koordinatensystem der unabhängigen Seite
 Translatorische Freiheitsgrade
 Referenzen der abhängigen Seite
 Koordinatensystem der abhängigen Seite

Wert
 SIM_WL : OPERATION - Verdeckt
[Fläche \(STERNUM.PRT\)](#)
[Koordinatensystem "CS_WL4_ML" \(STERNUM.PRT\)](#)
 x y z
[Punkt "P_WL4_ML" \(STERNUM.PRT\)](#)
 WCS (STERNUM.PRT)

[Gewichtete Verbindung "WL4_AP2_R"](#)

Eigenschaft
 Platziert auf Folie(n)
 Referenzen der unabhängigen Seite
 Koordinatensystem der unabhängigen Seite
 Translatorische Freiheitsgrade
 Referenzen der abhängigen Seite
 Koordinatensystem der abhängigen Seite

Wert
 SIM_WL : OPERATION - Verdeckt
[Fläche \(STERNUM.PRT\)](#)
[Koordinatensystem "CS_WL4_AP2" \(STERNUM.PRT\)](#)
 x y z
[Punkt "P_WL4_AP2" \(STERNUM.PRT\)](#)
 WCS (STERNUM.PRT)

[Gewichtete Verbindung "WL5_AP1_R"](#)

Eigenschaft
 Platziert auf Folie(n)
 Referenzen der unabhängigen Seite
 Koordinatensystem der unabhängigen Seite
 Translatorische Freiheitsgrade
 Referenzen der abhängigen Seite
 Koordinatensystem der abhängigen Seite

Wert
 SIM_WL : OPERATION - Verdeckt
[Fläche \(STERNUM.PRT\)](#)
[Fläche \(STERNUM.PRT\)](#)
[Koordinatensystem "CS_WL5_AP1" \(STERNUM.PRT\)](#)
 x y z
[Punkt "P_WL5_AP1" \(STERNUM.PRT\)](#)
 WCS (STERNUM.PRT)

[Gewichtete Verbindung "WL5_ML_R"](#)

Eigenschaft
 Platziert auf Folie(n)
 Referenzen der unabhängigen Seite
 Koordinatensystem der unabhängigen Seite
 Translatorische Freiheitsgrade
 Referenzen der abhängigen Seite
 Koordinatensystem der abhängigen Seite

Wert
 SIM_WL : OPERATION - Verdeckt
[Fläche \(STERNUM.PRT\)](#)
[Koordinatensystem "CS_WL5_ML" \(STERNUM.PRT\)](#)
 x y z
[Punkt "P_WL5_ML" \(STERNUM.PRT\)](#)
 WCS (STERNUM.PRT)

[Gewichtete Verbindung "WL5_AP2_R"](#)

Eigenschaft
 Platziert auf Folie(n)

Wert
 SIM_WL : OPERATION - Verdeckt

Referenzen der unabhängigen Seite

[Fläche \(STERNUM.PRT\)](#)
[Fläche \(STERNUM.PRT\)](#)

Koordinatensystem der unabhängigen Seite

[Koordinatensystem "CS_WL5_AP2" \(STERNUM.PRT\)](#)

Translatorische Freiheitsgrade

x y z

Referenzen der abhängigen Seite

[Punkt "P_WL5_AP2" \(STERNUM.PRT\)](#)

Koordinatensystem der abhängigen Seite

WCS (STERNUM.PRT)

[Gewichtete Verbindung "WL6 AP1 R"](#)

Eigenschaft

Wert

Platziert auf Folie(n)

SIM_WL : OPERATION - Verdeckt

Referenzen der unabhängigen Seite

[Fläche \(STERNUM.PRT\)](#)
[Fläche \(STERNUM.PRT\)](#)

Koordinatensystem der unabhängigen Seite

[Koordinatensystem "CS_WL6_AP1" \(STERNUM.PRT\)](#)

Translatorische Freiheitsgrade

x y z

Referenzen der abhängigen Seite

[Punkt "P_WL6_AP1" \(STERNUM.PRT\)](#)

Koordinatensystem der abhängigen Seite

WCS (STERNUM.PRT)

[Gewichtete Verbindung "WL6 ML R"](#)

Eigenschaft

Wert

Platziert auf Folie(n)

SIM_WL : OPERATION - Verdeckt

Referenzen der unabhängigen Seite

[Fläche \(STERNUM.PRT\)](#)

Koordinatensystem der unabhängigen Seite

[Koordinatensystem "CS_WL6_ML" \(STERNUM.PRT\)](#)

Translatorische Freiheitsgrade

x y z

Referenzen der abhängigen Seite

[Punkt "P_WL6_ML" \(STERNUM.PRT\)](#)

Koordinatensystem der abhängigen Seite

WCS (STERNUM.PRT)

[Gewichtete Verbindung "WL6 AP2 R"](#)

Eigenschaft

Wert

Platziert auf Folie(n)

SIM_WL : OPERATION - Verdeckt

Referenzen der unabhängigen Seite

[Fläche \(STERNUM.PRT\)](#)
[Fläche \(STERNUM.PRT\)](#)

Koordinatensystem der unabhängigen Seite

[Koordinatensystem "CS_WL6_AP2" \(STERNUM.PRT\)](#)

Translatorische Freiheitsgrade

x y z

Referenzen der abhängigen Seite

[Punkt "P_WL6_AP2" \(STERNUM.PRT\)](#)

Koordinatensystem der abhängigen Seite

WCS (STERNUM.PRT)

Simulationsmodell : STERNUM_MIR.PRT

Gewichtete Verbindungen



[Gewichtete Verbindung "WL1 AP2 L"](#)

Eigenschaft

Wert

Platziert auf Folie(n)

SIM_WL : OPERATION - Verdeckt

Referenzen der unabhängigen Seite

[Fläche \(STERNUM_MIR.PRT\)](#)
[Fläche \(STERNUM_MIR.PRT\)](#)

Koordinatensystem der unabhängigen Seite

[Koordinatensystem "CS_WL1_AP2" \(STERNUM_MIR.PRT\)](#)

Translatorische Freiheitsgrade

x y z

Referenzen der abhängigen Seite

[Punkt "P_WL1_AP2" \(STERNUM_MIR.PRT\)](#)

Koordinatensystem der abhängigen Seite

WCS (STERNUM_MIR.PRT)

[Gewichtete Verbindung "WL1 ML L"](#)

Eigenschaft

Wert

Platziert auf Folie(n)

SIM_WL : OPERATION - Verdeckt

Referenzen der unabhängigen Seite

[Fläche \(STERNUM_MIR.PRT\)](#)

Koordinatensystem der unabhängigen Seite

[Koordinatensystem "CS_WL1_ML" \(STERNUM_MIR.PRT\)](#)

Translatorische Freiheitsgrade

x y z

Referenzen der abhängigen Seite

[Punkt "P_WL1_ML" \(STERNUM_MIR.PRT\)](#)

Koordinatensystem der abhängigen Seite

WCS (STERNUM_MIR.PRT)

[Gewichtete Verbindung "WL1 AP1 L"](#)

Eigenschaft

Wert

Platziert auf Folie(n)

SIM_WL : OPERATION - Verdeckt

Referenzen der unabhängigen Seite

[Fläche \(STERNUM_MIR.PRT\)](#)
[Fläche \(STERNUM_MIR.PRT\)](#)

Koordinatensystem der unabhängigen Seite

[Koordinatensystem "CS_WL1_AP1" \(STERNUM_MIR.PRT\)](#)

Translatorische Freiheitsgrade

x y z

Referenzen der abhängigen Seite
 Koordinatensystem der abhängigen Seite

[Punkt "P_WL1_AP1" \(STERNUM_MIR.PRT\)](#)
 WCS (STERNUM_MIR.PRT)

[Gewichtete Verbindung "WL2 AP2 L"](#)

Eigenschaft
 Platziert auf Folie(n)
 Referenzen der unabhängigen Seite
 Koordinatensystem der unabhängigen Seite
 Translatorische Freiheitsgrade
 Referenzen der abhängigen Seite
 Koordinatensystem der abhängigen Seite

Wert
 SIM_WL : OPERATION - Verdeckt
[Fläche \(STERNUM_MIR.PRT\)](#)
[Fläche \(STERNUM_MIR.PRT\)](#)
[Koordinatensystem "CS_WL2_AP2" \(STERNUM_MIR.PRT\)](#)
 x y z
[Punkt "P_WL2_AP2" \(STERNUM_MIR.PRT\)](#)
 WCS (STERNUM_MIR.PRT)

[Gewichtete Verbindung "WL2 ML L"](#)

Eigenschaft
 Platziert auf Folie(n)
 Referenzen der unabhängigen Seite
 Koordinatensystem der unabhängigen Seite
 Translatorische Freiheitsgrade
 Referenzen der abhängigen Seite
 Koordinatensystem der abhängigen Seite

Wert
 SIM_WL : OPERATION - Verdeckt
[Fläche \(STERNUM_MIR.PRT\)](#)
[Koordinatensystem "CS_WL2_ML" \(STERNUM_MIR.PRT\)](#)
 x y z
[Punkt "P_WL2_ML" \(STERNUM_MIR.PRT\)](#)
 WCS (STERNUM_MIR.PRT)

[Gewichtete Verbindung "WL2 AP1 L"](#)

Eigenschaft
 Platziert auf Folie(n)
 Referenzen der unabhängigen Seite
 Koordinatensystem der unabhängigen Seite
 Translatorische Freiheitsgrade
 Referenzen der abhängigen Seite
 Koordinatensystem der abhängigen Seite

Wert
 SIM_WL : OPERATION - Verdeckt
[Fläche \(STERNUM_MIR.PRT\)](#)
[Fläche \(STERNUM_MIR.PRT\)](#)
[Koordinatensystem "CS_WL2_AP1" \(STERNUM_MIR.PRT\)](#)
 x y z
[Punkt "P_WL2_AP1" \(STERNUM_MIR.PRT\)](#)
 WCS (STERNUM_MIR.PRT)

[Gewichtete Verbindung "WL3 AP2 L"](#)

Eigenschaft
 Platziert auf Folie(n)
 Referenzen der unabhängigen Seite
 Koordinatensystem der unabhängigen Seite
 Translatorische Freiheitsgrade
 Referenzen der abhängigen Seite
 Koordinatensystem der abhängigen Seite

Wert
 SIM_WL : OPERATION - Verdeckt
[Fläche \(STERNUM_MIR.PRT\)](#)
[Fläche \(STERNUM_MIR.PRT\)](#)
[Koordinatensystem "CS_WL3_AP2" \(STERNUM_MIR.PRT\)](#)
 x y z
[Punkt "P_WL3_AP2" \(STERNUM_MIR.PRT\)](#)
 WCS (STERNUM_MIR.PRT)

[Gewichtete Verbindung "WL3 ML L"](#)

Eigenschaft
 Platziert auf Folie(n)
 Referenzen der unabhängigen Seite
 Koordinatensystem der unabhängigen Seite
 Translatorische Freiheitsgrade
 Referenzen der abhängigen Seite
 Koordinatensystem der abhängigen Seite

Wert
 SIM_WL : OPERATION - Verdeckt
[Fläche \(STERNUM_MIR.PRT\)](#)
[Koordinatensystem "CS_WL3_ML" \(STERNUM_MIR.PRT\)](#)
 x y z
[Punkt "P_WL3_ML" \(STERNUM_MIR.PRT\)](#)
 WCS (STERNUM_MIR.PRT)

[Gewichtete Verbindung "WL3 AP1 L"](#)

Eigenschaft
 Platziert auf Folie(n)
 Referenzen der unabhängigen Seite
 Koordinatensystem der unabhängigen Seite
 Translatorische Freiheitsgrade
 Referenzen der abhängigen Seite
 Koordinatensystem der abhängigen Seite

Wert
 SIM_WL : OPERATION - Verdeckt
[Fläche \(STERNUM_MIR.PRT\)](#)
[Fläche \(STERNUM_MIR.PRT\)](#)
[Koordinatensystem "CS_WL3_AP1" \(STERNUM_MIR.PRT\)](#)
 x y z
[Punkt "P_WL3_AP1" \(STERNUM_MIR.PRT\)](#)
 WCS (STERNUM_MIR.PRT)

[Gewichtete Verbindung "WL4 AP2 L"](#)

Eigenschaft
 Platziert auf Folie(n)
 Referenzen der unabhängigen Seite

Wert
 SIM_WL : OPERATION - Verdeckt
[Fläche \(STERNUM_MIR.PRT\)](#)
[Fläche \(STERNUM_MIR.PRT\)](#)

Koordinatensystem der unabhängigen Seite
 Translatorische Freiheitsgrade
 Referenzen der abhängigen Seite
 Koordinatensystem der abhängigen Seite

[Koordinatensystem "CS_WL4_AP2" \(STERNUM_MIR.PRT\)](#)
 x y z
[Punkt "P_WL4_AP2" \(STERNUM_MIR.PRT\)](#)
 WCS (STERNUM_MIR.PRT)

[Gewichtete Verbindung "WL4_ML_L"](#)

Eigenschaft
 Platziert auf Folie(n)
 Referenzen der unabhängigen Seite
 Koordinatensystem der unabhängigen Seite
 Translatorische Freiheitsgrade
 Referenzen der abhängigen Seite
 Koordinatensystem der abhängigen Seite

Wert
 SIM_WL : OPERATION - Verdeckt
[Fläche \(STERNUM_MIR.PRT\)](#)
[Koordinatensystem "CS_WL4_ML" \(STERNUM_MIR.PRT\)](#)
 x y z
[Punkt "P_WL4_ML" \(STERNUM_MIR.PRT\)](#)
 WCS (STERNUM_MIR.PRT)

[Gewichtete Verbindung "WL4_AP1_L"](#)

Eigenschaft
 Platziert auf Folie(n)
 Referenzen der unabhängigen Seite
 Koordinatensystem der unabhängigen Seite
 Translatorische Freiheitsgrade
 Referenzen der abhängigen Seite
 Koordinatensystem der abhängigen Seite

Wert
 SIM_WL : OPERATION - Verdeckt
[Fläche \(STERNUM_MIR.PRT\)](#)
[Fläche \(STERNUM_MIR.PRT\)](#)
[Koordinatensystem "CS_WL4_AP1" \(STERNUM_MIR.PRT\)](#)
 x y z
[Punkt "P_WL4_AP1" \(STERNUM_MIR.PRT\)](#)
 WCS (STERNUM_MIR.PRT)

[Gewichtete Verbindung "WL5_AP2_L"](#)

Eigenschaft
 Platziert auf Folie(n)
 Referenzen der unabhängigen Seite
 Koordinatensystem der unabhängigen Seite
 Translatorische Freiheitsgrade
 Referenzen der abhängigen Seite
 Koordinatensystem der abhängigen Seite

Wert
 SIM_WL : OPERATION - Verdeckt
[Fläche \(STERNUM_MIR.PRT\)](#)
[Fläche \(STERNUM_MIR.PRT\)](#)
[Koordinatensystem "CS_WL5_AP2" \(STERNUM_MIR.PRT\)](#)
 x y z
[Punkt "P_WL5_AP2" \(STERNUM_MIR.PRT\)](#)
 WCS (STERNUM_MIR.PRT)

[Gewichtete Verbindung "WL5_ML_L"](#)

Eigenschaft
 Platziert auf Folie(n)
 Referenzen der unabhängigen Seite
 Koordinatensystem der unabhängigen Seite
 Translatorische Freiheitsgrade
 Referenzen der abhängigen Seite
 Koordinatensystem der abhängigen Seite

Wert
 SIM_WL : OPERATION - Verdeckt
[Fläche \(STERNUM_MIR.PRT\)](#)
[Koordinatensystem "CS_WL5_ML" \(STERNUM_MIR.PRT\)](#)
 x y z
[Punkt "P_WL5_ML" \(STERNUM_MIR.PRT\)](#)
 WCS (STERNUM_MIR.PRT)

[Gewichtete Verbindung "WL5_AP1_L"](#)

Eigenschaft
 Platziert auf Folie(n)
 Referenzen der unabhängigen Seite
 Koordinatensystem der unabhängigen Seite
 Translatorische Freiheitsgrade
 Referenzen der abhängigen Seite
 Koordinatensystem der abhängigen Seite

Wert
 SIM_WL : OPERATION - Verdeckt
[Fläche \(STERNUM_MIR.PRT\)](#)
[Fläche \(STERNUM_MIR.PRT\)](#)
[Koordinatensystem "CS_WL5_AP1" \(STERNUM_MIR.PRT\)](#)
 x y z
[Punkt "P_WL5_AP1" \(STERNUM_MIR.PRT\)](#)
 WCS (STERNUM_MIR.PRT)

[Gewichtete Verbindung "WL6_AP2_L"](#)

Eigenschaft
 Platziert auf Folie(n)
 Referenzen der unabhängigen Seite
 Koordinatensystem der unabhängigen Seite
 Translatorische Freiheitsgrade
 Referenzen der abhängigen Seite
 Koordinatensystem der abhängigen Seite

Wert
 SIM_WL : OPERATION - Verdeckt
[Fläche \(STERNUM_MIR.PRT\)](#)
[Fläche \(STERNUM_MIR.PRT\)](#)
[Koordinatensystem "CS_WL6_AP2" \(STERNUM_MIR.PRT\)](#)
 x y z
[Punkt "P_WL6_AP2" \(STERNUM_MIR.PRT\)](#)
 WCS (STERNUM_MIR.PRT)

[Gewichtete Verbindung "WL6_ML_L"](#)

Eigenschaft
 Platziert auf Folie(n)

Wert
 SIM_WL : OPERATION - Verdeckt

Referenzen der unabhängigen Seite
 Koordinatensystem der unabhängigen Seite
 Translatorische Freiheitsgrade
 Referenzen der abhängigen Seite
 Koordinatensystem der abhängigen Seite

[Fläche \(STERNUM_MIR.PRT\)](#)
[Koordinatensystem "CS_WL6_ML" \(STERNUM_MIR.PRT\)](#)
 x y z
[Punkt "P_WL6_ML" \(STERNUM_MIR.PRT\)](#)
 WCS (STERNUM_MIR.PRT)

[Gewichtete Verbindung "WL6_AP1_L"](#)

Eigenschaft
 Platziert auf Folie(n)
 Referenzen der unabhängigen Seite
 Koordinatensystem der unabhängigen Seite
 Translatorische Freiheitsgrade
 Referenzen der abhängigen Seite
 Koordinatensystem der abhängigen Seite

Wert
 SIM_WL : OPERATION - Verdeckt
[Fläche \(STERNUM_MIR.PRT\)](#)
[Fläche \(STERNUM_MIR.PRT\)](#)
[Koordinatensystem "CS_WL6_AP1" \(STERNUM_MIR.PRT\)](#)
 x y z
[Punkt "P_WL6_AP1" \(STERNUM_MIR.PRT\)](#)
 WCS (STERNUM_MIR.PRT)

Simulationsmodell : RIB1_CART_SPG.PRT

In diesem Modell gibt es keine Simulationsobjekte.



Simulationsmodell : RIB2_CART_SPG.PRT

In diesem Modell gibt es keine Simulationsobjekte.



Simulationsmodell : RIB3_CART_SPG.PRT

In diesem Modell gibt es keine Simulationsobjekte.



Simulationsmodell : RIB4_CART_SPG.PRT

In diesem Modell gibt es keine Simulationsobjekte.



Simulationsmodell : RIB5_CART_SPG.PRT

In diesem Modell gibt es keine Simulationsobjekte.



Simulationsmodell : RIB6_CART_SPG.PRT

In diesem Modell gibt es keine Simulationsobjekte.



Simulationsmodell : RIB7_CART_SPG.PRT

In diesem Modell gibt es keine Simulationsobjekte.



Simulationsmodell : RIB8_CART_SPG.PRT

In diesem Modell gibt es keine Simulationsobjekte.



Simulationsmodell : RIB9_CART_SPG.PRT

In diesem Modell gibt es keine Simulationsobjekte.



Simulationsmodell : RIB10_CART_SPG.PRT

In diesem Modell gibt es keine Simulationsobjekte.

